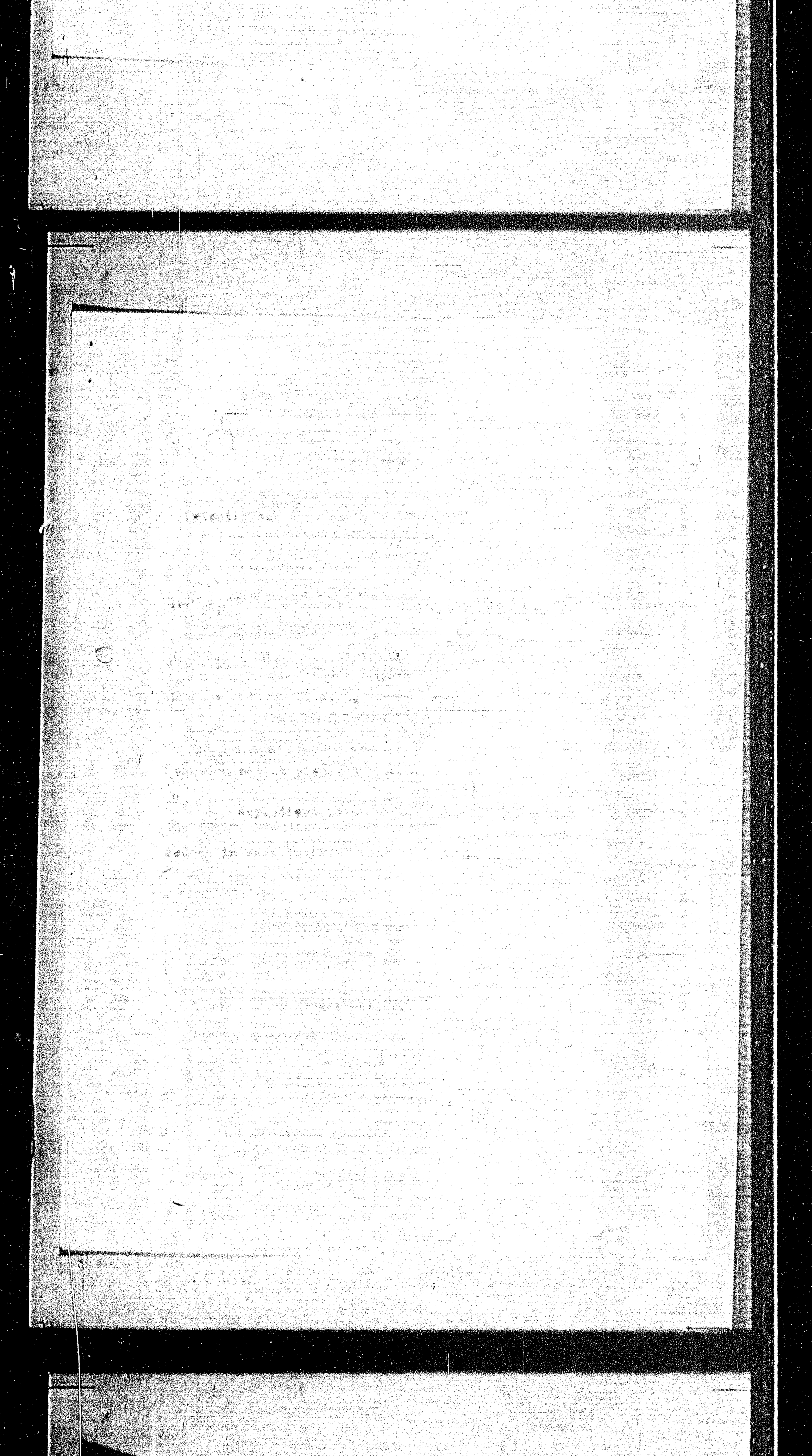


卷之三



TITLE PAGE

23. Kristallchemische Untersuchungen.  
Problems of crystal chemistry.

Frame Nos. 725 - 737

## Hochdruckversuche

Lu 1

### Kristallisation

Die Kristallisationszeit ist von Größe der Kristallbildungskräfte, dem Kühlgang, chemischen Eigenschaften, Reaktionstemperatur, Überdruck zu abhängig. Bei einer solchen Kräfte, welche die Menge und Art der Kristalle bestimmen, kann eine gewisse Zeitige Periode eintreten, in der sich die Kräfte aufschauft. Anschließend wird sie wieder abgebaut, so dass dann wieder ein Gleichgewichtszustand erreicht wird. Dieser Vorgang kann zu Reaktionen führen, die die Größe der Kristalle vergrößern, oder sie verkleinern. Eine solche Veränderung kann durch einen Verlust von Stoff ausgelöst werden.

#### 1. Die Ionenradius-Periodizität

Die Ionenradius-Periodizität ist eine Abhängigkeit des Ionenradios vom Periodensystem. Der Ionenradius nimmt im Laufe der Periode ab.

#### 2. Die Ionenradius-Periodizität

Die Ionenradius-Periodizität ist eine Abhängigkeit des Ionenradios vom Periodensystem. Der Ionenradius nimmt im Laufe der Periode ab.

#### 3. Die Ionenradius-Periodizität

Die Ionenradius-Periodizität ist eine Abhängigkeit des Ionenradios vom Periodensystem. Der Ionenradius nimmt im Laufe der Periode ab.

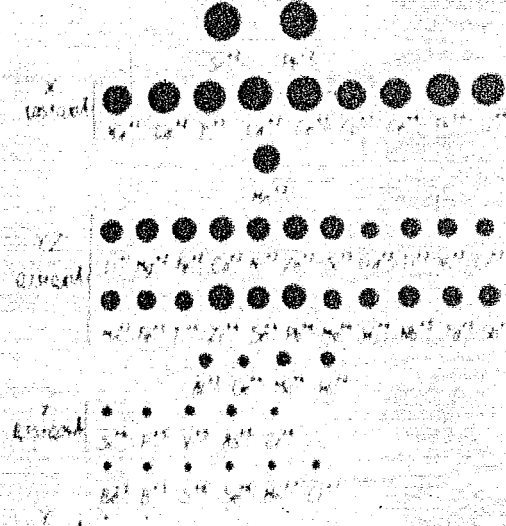
772431

Zusammenfassung: Es sind die Ionenradien verschiedener Elemente angegeben. Es ist zu erkennen, dass die Ionenradien im Laufe der Periode abnehmen. Dies ist auf die Veränderung des Valenzelektronenvermögens zurückzuführen.

Aus Gründen der Periodizität der Ionenradien ist es vorteilhaft, daher die Ionen in Gruppen nach Größe des Radius eingeteilt (Abbildung 1).

Abbildung 1:

Ionenradien wichtiger Elemente





Die  $\alpha$ -Koordinationsverbindungen der Elemente des zweiten und dritten Periodenkreises sind im allgemeinen durch die Bildung von  $\text{M}_2\text{L}_6$ -Komplexen gekennzeichnet.

Zn  $\circ$  Cu  $\circ$

Wasserstoff

47 - Koordinationsverbindungen

Grund: Zn-Ligand-Koordinationsverbindungen

Die Aminosäuren sind diejenigen, die eine starke Bindung an das Zinkatom besitzen. Ein Beispiel ist das Zinkammoniumchlorid, das aus dem Ammoniumchlorid und dem Zinkammonium entsteht. Ein weiteres Beispiel ist das Zinkammoniumnitrat, das aus dem Ammoniumnitrat und dem Zinkammonium entsteht.

Sind Wasserstoffatome vorhanden, so kann es sich um ein Ammoniumsalz handeln. Ein weiteres Beispiel ist das Zinkammoniumchlorid, das aus dem Ammoniumchlorid und dem Zinkammonium entsteht. Ein weiteres Beispiel ist das Zinkammoniumnitrat, das aus dem Ammoniumnitrat und dem Zinkammonium entsteht.

Zn  $\circ$  Cu  $\circ$  Wasserstoff

Zn  $\circ$  Cu  $\circ$  Wasserstoff

Die Aminosäuren sind diejenigen, die eine starke Bindung an das Zinkatom besitzen. Ein Beispiel ist das Zinkammoniumchlorid, das aus dem Ammoniumchlorid und dem Zinkammonium entsteht. Ein weiteres Beispiel ist das Zinkammoniumnitrat, das aus dem Ammoniumnitrat und dem Zinkammonium entsteht.

Die Aminosäuren sind diejenigen, die eine starke Bindung an das Zinkatom besitzen. Ein Beispiel ist das Zinkammoniumchlorid, das aus dem Ammoniumchlorid und dem Zinkammonium entsteht. Ein weiteres Beispiel ist das Zinkammoniumnitrat, das aus dem Ammoniumnitrat und dem Zinkammonium entsteht.

Die Aminosäuren sind diejenigen, die eine starke Bindung an das Zinkatom besitzen. Ein Beispiel ist das Zinkammoniumchlorid, das aus dem Ammoniumchlorid und dem Zinkammonium entsteht. Ein weiteres Beispiel ist das Zinkammoniumnitrat, das aus dem Ammoniumnitrat und dem Zinkammonium entsteht.

Die Aminosäuren sind diejenigen, die eine starke Bindung an das Zinkatom besitzen. Ein Beispiel ist das Zinkammoniumchlorid, das aus dem Ammoniumchlorid und dem Zinkammonium entsteht. Ein weiteres Beispiel ist das Zinkammoniumnitrat, das aus dem Ammoniumnitrat und dem Zinkammonium entsteht.

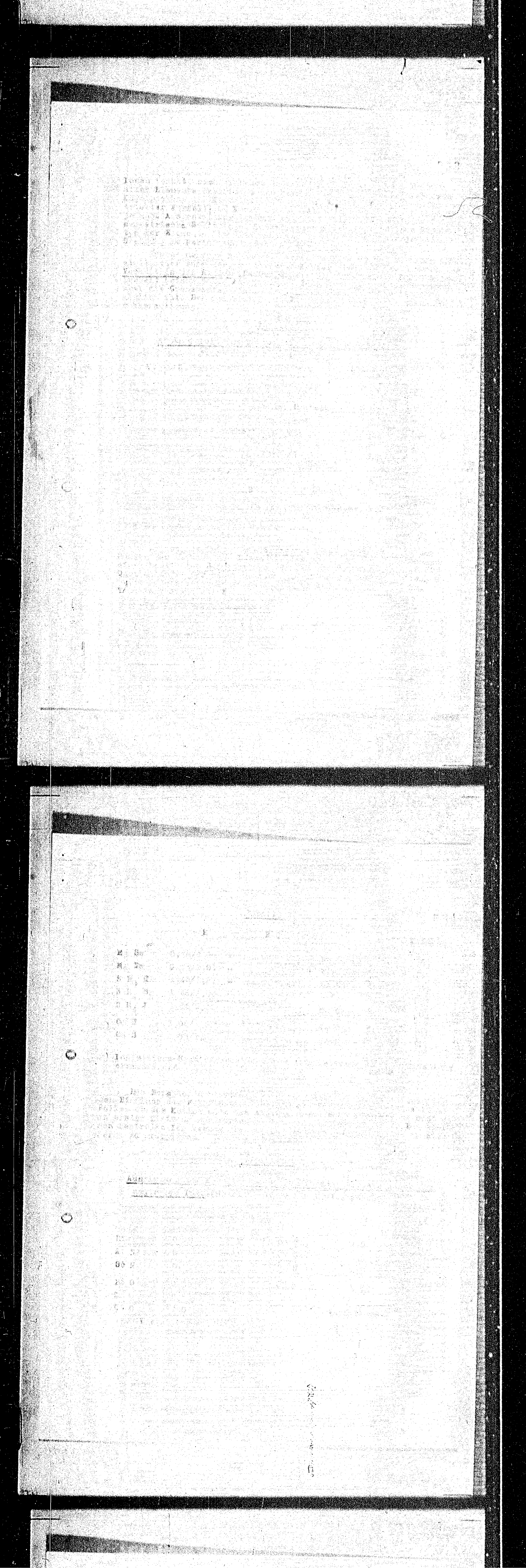
Die Aminosäuren sind diejenigen, die eine starke Bindung an das Zinkatom besitzen. Ein Beispiel ist das Zinkammoniumchlorid, das aus dem Ammoniumchlorid und dem Zinkammonium entsteht. Ein weiteres Beispiel ist das Zinkammoniumnitrat, das aus dem Ammoniumnitrat und dem Zinkammonium entsteht.

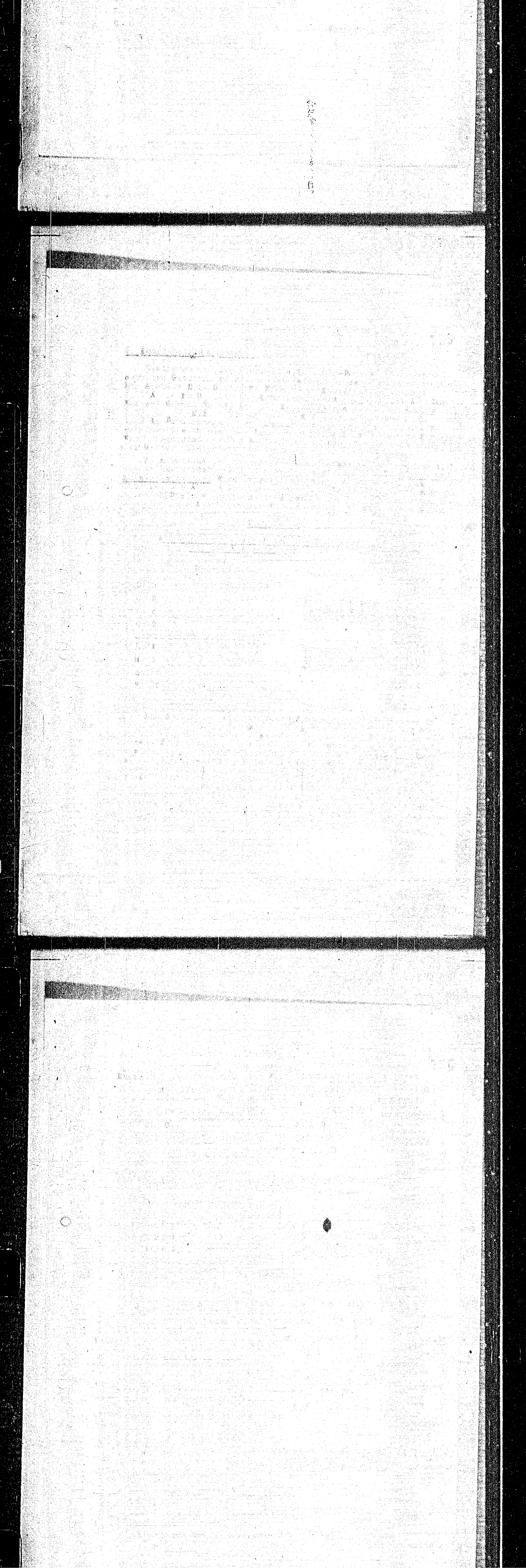
Die Aminosäuren sind diejenigen, die eine starke Bindung an das Zinkatom besitzen. Ein Beispiel ist das Zinkammoniumchlorid, das aus dem Ammoniumchlorid und dem Zinkammonium entsteht. Ein weiteres Beispiel ist das Zinkammoniumnitrat, das aus dem Ammoniumnitrat und dem Zinkammonium entsteht.

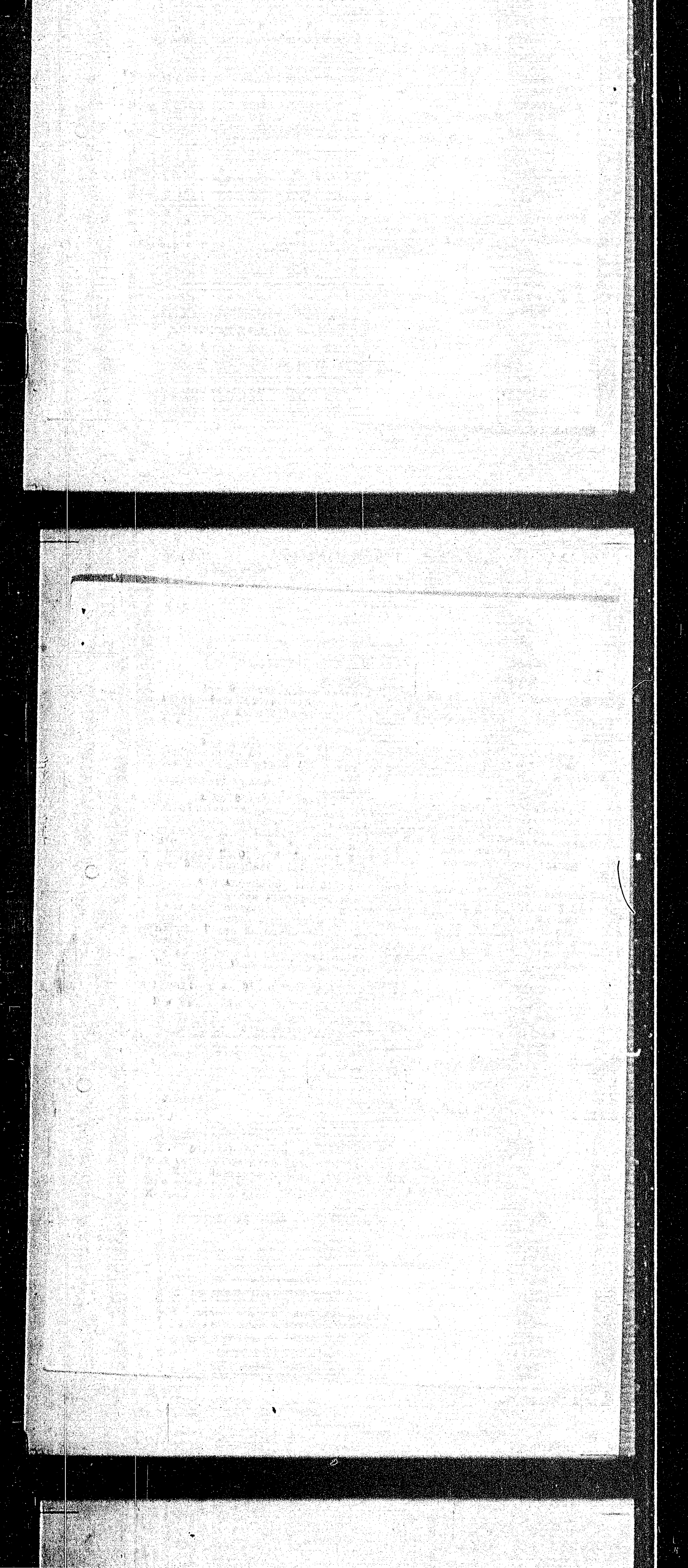
Die Aminosäuren sind diejenigen, die eine starke Bindung an das Zinkatom besitzen. Ein Beispiel ist das Zinkammoniumchlorid, das aus dem Ammoniumchlorid und dem Zinkammonium entsteht. Ein weiteres Beispiel ist das Zinkammoniumnitrat, das aus dem Ammoniumnitrat und dem Zinkammonium entsteht.

Die Aminosäuren sind diejenigen, die eine starke Bindung an das Zinkatom besitzen. Ein Beispiel ist das Zinkammoniumchlorid, das aus dem Ammoniumchlorid und dem Zinkammonium entsteht. Ein weiteres Beispiel ist das Zinkammoniumnitrat, das aus dem Ammoniumnitrat und dem Zinkammonium entsteht.

Die Aminosäuren sind diejenigen, die eine starke Bindung an das Zinkatom besitzen. Ein Beispiel ist das Zinkammoniumchlorid, das aus dem Ammoniumchlorid und dem Zinkammonium entsteht. Ein weiteres Beispiel ist das Zinkammoniumnitrat, das aus dem Ammoniumnitrat und dem Zinkammonium entsteht.







~~STUDY PAGE~~

24. Freie Radikale.  
Free radicals.

Frame Nos. 718 - 721

## Hochdruckversuche

In 1.

23. Mai 1944

(24)

### Freie Radikale

Die einfache O-C-Bindung kann auf drei Arten zerfallen:

1. Sie wird zu den entsprechenden Ionen polarisiert



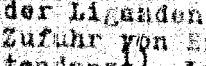
2. das bindende Elektronenpaar wird zu einem Ionenpaar



Im zweiten Fall sind die Zerfallprodukte elektroneutral. Es handelt sich um freie Radikale mit (freiwilligem) O-Atom (ein sogenanntes Elektron).

### 1. Radikale vom Typ des Triphenylmethins

Es können immer zwei freie Radikale entstehen, wenn ein Radikal mit aromatischen oder ungesättigten Molekülen reagiert. Unter diesem Gesichtspunkt ist das einfachste Radikal der bekanntesten Kohlenstoffradikal das Triphenoxyethyl, das nur in einer gelben Lösung des Hexaphenylketans nicht ohne in der Regel eine Bindung beständig ist. Beständiger ist das Triphenylmethyl



Triphenylmethyl



Nicht aromatisch substituierte Alkane zeigen eine erhebliche Zerfallsneigung. Es stellt sich ein Gleichgewicht zwischen Radikal und dimerer Form ein,  $\text{2Ar}_2\text{C} \rightleftharpoons \text{Ar}_2\text{C}\cdot\text{Ar}_2\text{C}\cdot$ , das je nach der Liganden mehr nach rechts oder links verschoben ist. Die Zufuhr von Energie in Form von Wärme begünstigt die Dissoziationsrichtung. Interessant ist, dass sich (geringen) Drücken (bis zu hohem Druck) zum Zerfall bringen lässt.

Fußnoten siehe im Buch

Die Ursache der Zerfallreaktion ist unbekannt.

Die Bindungsenergie dieser Alkanradikale beträgt z.B. bei 72°C 72 Cal. Ist die Arbeit zur Verringerung der Bindungsenergie groß genug, was man erreichen kann, so kann ein Dissoziationsradikal aus entsprechend großer Energie aus der Radikalbildung austreten. Aus der Dissoziationswärme und der Zerfallsneigung des Hexaphenylmethins kann sich die Dissoziationswärme des Hexaphenylketans ableiten, da die Arbeit für das Hexaphenylketan nicht kleiner als die für die normale C-C-Bindung 72 Cal. somit gleich ist. Da die Radikaldissoziationswärme nur 11 Cal ist, nutzt die Ketone die Energie am Anfang des Zerfalls sehr Energie die sie vorher in dem Triphenylmethyl wiederfindet. In den ca. 4 Cal, die zu der Dissoziationswärme gegenüber der Aktivierungsenergie addiert werden, kommt der Ausdruck für eine sekundäre Stabilisierung des durch den Zerfall gebildeten Vakuumbrückettischen Radikals.

Der grosse Energieunterschied beruht darin, dass sich nach quantentheoretischen Überlegungen zwei Zustände unterscheiden: Durch den Einbau eines einzigen Elektrons in die 3d-Arbeitswelle (5d-Elektronenwelle sind vollständig besetzt und geben daher besonders leicht Reaktionen ein) kann es zu den (6-Elektronen, den Bindungselektronen einer einfachen C-C-Bindung) des Dissoziationsystems tritt. Die Bindung auf der mit den zur Radikalbildung eingesparten 6-Elektronen einer normalen C-C-Bindung vergleichbar wird. Beide durch die mögliche Resonanz (n-Verzweigung) in den Ketten bis zu gewissen Grenzen möglich. (Z.B.  $\text{CH}_2=\text{CH}-\text{CH}_2$ ) Das Radikalgesteht Resonanz.

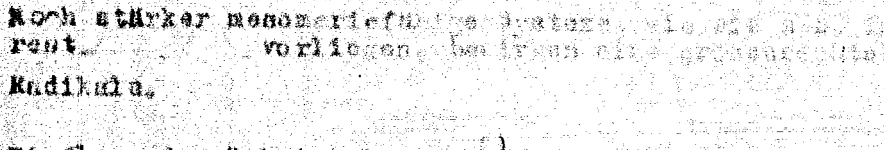
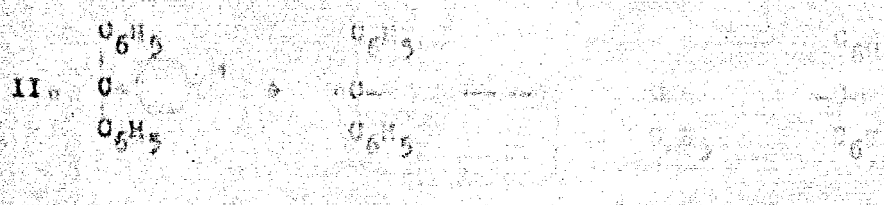
Die Elektronen eines Dissoziationsradikals sind auf die Teilchen verteilt, wobei die Elektronenwelle aufgeteilt ist. Durch Wechselwirkungen werden die Elektronensysteme aufgelöst und ein abgewandeltes Bindungssystem entsteht. Die Bindungskräfte der Dissoziationsradikale sind schwächer, als die der Kettenelemente. Die Bindungsenergie der Ketten ist ca. 2,6-64,6 m-Cal weniger. Dies ist der Grund für die Versuchsergebnisse mit überzeugendem Erfolg.

Die Serie 1950 formuliert diesen Abstand zwischen Radikalen "mit der Resonanz ist das Auftreten eines Dissoziationsradikals frei von Energie verhindert, oder aber es ist nicht, da es gegen Energie aufgezählt; diese liegt bei einer Resonanz, wo der Radikalzustand nicht erhalten bleibt".

Die durch das einzelne Radikal bewirkte Stabilisierung kann durch folgende Reaktionen bewirkt werden:

In gleicher Weise kann man viele andere Radikale herstellen, die ebenfalls in ähnlichen Prozessen entstehen und mit den entsprechenden Radikalen korrespondieren.

Man kommt so bei der Vereinigung zweier solcher Radikale zu Produkten, die es im folgenden erläutert werden soll, zu erzielen scheint ist:



II. Dimerisierung solcher "elektrophil reichen" Radikale kann je nach Art der Substituenten zu unterschiedlichen Produkten führen. So ist z.B. ein p-Methoxyphenyl-Radikal mit einem p-Methoxyphenyl-Radikal in einer 1,2-Diphenyl-Substitution vorliegen, während eine 1,1-Diphenyl-Substitution nicht möglich ist.

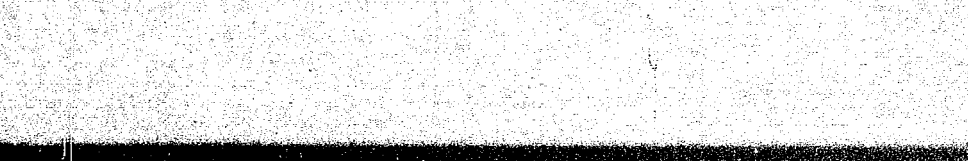
Radikale,

#### Einfluss der Substituenten

Es sind verfallen

von

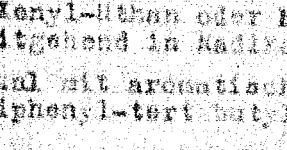
$(\text{O}_6\text{H}_5)_3^{\bullet}\text{---}\text{O}\text{---}(\text{O}_6\text{H}_5)_3^{\bullet}$  farblose Kristalle in Benzol-Lösung



$(\text{O}_6\text{H}_5^{\bullet}\text{---}\text{O}_6\text{H}_4^{\bullet})_2^{\bullet}$  dunkelgrüne Kristalle in Benzol-Lösung

- 4 -

Der Triphenylmethyl-Rest wirkt in seiner Weise eigentlich als Antioxydans, aber die Anwesenheit eines Radikals fördert die Dissoziationsfördernde Wirkung. Ähnlich wie oben ist hier wieder ein p-Methoxyphenyl-Radikal mit einem p-Methoxyphenyl-Radikal zu vereinigen. So ist z.B. ein p-Methoxyphenyl-Radikal mit einem p-Methoxyphenyl-Radikal in einer 1,2-Diphenyl-Substitution vorliegen, während eine 1,1-Diphenyl-Substitution nicht möglich ist. Radikale bedingen, so z.B. Tetraphenyl-methyl-Radikale, die oft im Gegensatz zu den aromatischen Radikalen in Benzol-Lösung Luft beständig, in Lösung war, die durch die Radikale und verknüpft olefinische Liganden besitzt einen Dissoziationsgrad. Dagegen bringt die Verknüpfung von aromatischen Resten z.B. Übergang von Triphenylmethyl zum Phenyl-Radikal die Folge zur Dissoziationsförderung aus. Verschiedentlich die Bildung eines Biphenylkernes an. Wie das mögliche dann die Dissoziationsfähigkeit nicht wiederherstellen. Mit Pentaphenyl-cyclpentadienyl, das nur noch einen Rest an dem Radikal-O trägt, entfällt diese Fähigkeit.



Pentaphenyl-cyclopentadienyl

Wie z.B.  $\alpha$ -Jenyl-Uthan oder Hexa- $\alpha$ -Jenyl-Uthan, entstehen ebenfalls weitgehend in Radikale übergehen.

Ein Radikal mit aromatischen und aliphatischen Resten ist das  $\alpha$ -Diphenyl-tert-butyl-methyl-Radikal.

- 5 -



Erweist man die Flüssigkeiten als Lösungsmittel für die löslichkeitsschwachen Stoffe, so ist die Tendenz stark nachgiebig. Es kann eine erhebliche Möglichkeit der Polymerisationsförderung bestehen.

### Lösodauer 5)

Folgende Tabellen sind mit dem Ergebnis der Lösodauer der Radikale für Aliphatische und Aromatiche Verbindungen zusammengegeben.

### Reaktivität - Metathetose

Tetraphenyl-methan

Tetraphenyl-di-n-propylat

Tetraphenyl-di-n-amylat

Tetraphenyl-di-isopropylat

Tetraphenyl-di-t-butylat

Tetraphenyl-di-n-phenylat

Tetraphenyl-di-tert-butylat

Hexamethylbenz

Diphenyl-styrenechloroformat

Diphenyl-tert-butylchloroformat

### Bildungsweisen und Reaktionen (3)

Die Radikale lösen sich nach Art verschiedener Weisungen herab:

1. durch Zersetzung der Bindung zwischen Triphenylmethyl, Iren und Halogen,

2. durch Löschung der Bindung zwischen Triphenylmethyl, Iren und H.

3. durch Löschung der Bindung zwischen Triphenylmethyl und Phenyl.

Für die Reaktionen, die die Radikale einzutreten können, sind die Mesomeriegleichgewichte des Gesamtzyklus maßgebend. Infolge der vorhandenen unpaarigen Elektronen kann das Radikal sehr leicht mit verschiedenen Stoffen:

Besonders hervorstechend ist die durch das Radikal bedingte Substitutionsreaktion. Je nach Art der Substitutionsarten kann die Reaktion verschieden sein. Die Reaktionen der freien Radikale sind meistens Kettenreaktionen, die komplizierteren Verzweigungen folgen nicht die Jonenreaktionen. In der Gasphase kommen sieh die freien Radikale nicht direkt vereinigen, sondern brauchen die freien Radikale der dritten Teilchen, das die freie radikalische Substitution begünstigt verläuft die Substitution leicht und verlängert dabei nur eine geringe Aktivierungsenergie. In der Flüssigkeit führt die freie Radikal-Substitution so leicht, dass die Radikale mit anderen Lösungsmittelmolekülen reagieren. Die freie Voreinigung zweier freier Radikale in Lösung wird die vornehmliche Reaktion sein. Eindeutig ist die intrinsische Energie des Radikals bestimmt und die Aktivierungsenergie für die Reaktion mit einem weiteren Radikal abhängig, waschst. So reagiert das sehr reaktionsfähige Radikal des Benzols mit den Lösungsmitteln Benzol,  $\text{C}_6\text{Cl}_4$ ,  $\text{CHCl}_3$  usw. während  $\text{CH}_2\text{Cl}_2$  und  $\text{CH}_3\text{Cl}$  das durch Radikale stabilisierte Radikal dem Benzol nicht reagiert, sondern sich mit dem Radikal nicht vereinigen.

Der stark ungesättigte Charakter des Triphenylmethanradikals erfordert in folgenden Reaktionen besondere Vorsicht:

1. Sauerstoff wird addiert unter Bildung von Hydroperoxyd, das Ozone wirkt.

2. Iopron und andere Olefine addieren sich an die ungesättigten Gruppen des konjugierten Systems und bilden hydroperoxydationen eingeschlossen.



Der Vorgang des Zündens von Polymerschlüpfen im Radikalzustand läuft sich in folgender Weise vorstellen:

C = Radikal

C- = Unvollständige Kette

C-C

usw. 6)

### 3. Oxydationsmittel (a) Triarylmethane

1. Moleküle werden leicht oxidiert, da das Radikal ziemlich instabil ist.

2. Wasserstoff wird der Molekülgruppe an den Radikal-Kettenteil übertragen. Hydrogenierung ist ein charakteristisches Merkmal.

3. Es wird unter Bildung eines Radikals das Radikal abgespalten.

4. NC und  $\text{NO}_2$  werden ebenfalls oxydiert.

5.  $\text{O}_2$  und  $\text{N}_2\text{O}_4$  reagieren nicht.

6. Mit  $\text{HCl}$  treten nur oligomatische Verbindungen auf, entsprechend der Konjugationsfähigkeit des Radikals.

7.  $\text{FeCl}_3$  und  $\text{CrCl}_3$  sind ebenfalls oxydiert.

8.  $\text{NaOCl}$  und  $\text{Na}_2\text{O}_2$  reagieren nicht.

9. Mit  $\text{HCl}$  treten nur oligomatische Verbindungen auf, entsprechend der Konjugationsfähigkeit des Radikals.

10. Mit Phenol entsteht bei  $50^\circ$  aus Triphenylmethan ein Phenylketon, es reagiert analog mit dem Radikal.

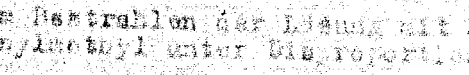
11. Beim Bestrahlen der Lösung mit Sonnenlicht wird Triphenylmethyl unter Bildung eines Radikals abgespalten.



Mit anderen Triarylmethanen wird das Radikal abgespalten.

12. Mit Phenol entsteht bei  $50^\circ$  aus Triphenylmethan ein Phenylketon, es reagiert analog mit dem Radikal.

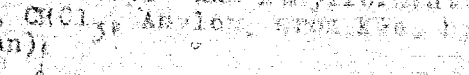
13. Beim Bestrahlen der Lösung mit Sonnenlicht wird Triphenylmethyl unter Bildung eines Radikals abgespalten.



14. Triphenylmethyl hat die Fähigkeit, mit einem Radikal zu reagieren.

15. Mit Phenol entsteht bei  $50^\circ$  aus Triphenylmethan ein Phenylketon, es reagiert analog mit dem Radikal.

16. Beim Bestrahlen der Lösung mit Sonnenlicht wird Triphenylmethyl unter Bildung eines Radikals abgespalten.



12. Triphenylmethanol hat die Neigung, mit verschiedenen Kovalenzbindungen eines Phenyl-Kohlenstoffatoms zu 2 Poli. den angelegerten Stoffs ( $\text{C}_6\text{H}_5\text{CH}_2\text{O}\text{H}$ ) ist ein Dimerus aus zwei Methyl- und Alkylformiat-Anteilen (Festigkeit  $\text{CO}_2$ ,  $\text{C}(\text{Cl})_2$ , Anhydroyl, Brom-Me, Acrylgummis, Benzal, Keton).

- 8 -

Triarylmethyle können sich gegenseitig auslösen, wenn sie in Lösung verarbeiten. Es wird eine Reihe von Verbindungen, die nicht nur Lösung in Lösung durch Reaktionen verhindern (z.B. Salze),



steigende positivierende Wirkung aufweisen.

Im Folgenden wird ein Überblick über die einzelnen Verbindungen gegeben:

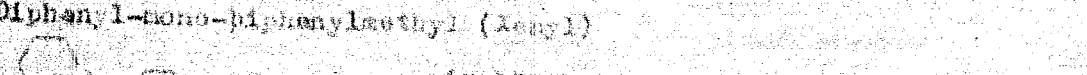
**Triphenylmethyle (Trityl)**:  $\text{F}: 145-147^\circ$ ; Dissoziationskonstante  $K_{\text{D}} = 10^{-2}$ ; Dissoziationskonstante  $K_{\text{D}}' = 10^{-1}$ ; Lösungsdichte  $\rho = 1.11$ ; Druck  $P = 10^4$ ; Lösungsdichte  $\rho = 1.11$ ; bei  $10^\circ$  und  $100^\circ$  sind die Dissoziationskonstanten gleich.

**Diphenyl-methyl-tolyl-methyl**: wurde nur in Lösung erhalten.



orange

**Phenyl-Di- $\alpha$ -tolyl-methyl**:



orange

**Tri- $\alpha$ -tolyl-methyl**:



orange

**Diphenyl-mono-biphenyl-methyl (Xenyl)**:



in Lösung dissoziert;

bei  $3-5^\circ$  zu 15% dissoziert

**Phenyl-Di-biphenyl-methyl**:



in Lösung fest;

bei  $3-4^\circ$  zu 60% dissoziert

- 9 -

**Tribiphenyl-methyl**: Dissoziationskonstante  $K_{\text{D}} = 10^{-2}$ ; ist nur als neutraler Salz, die Lösung ist tiefrot.



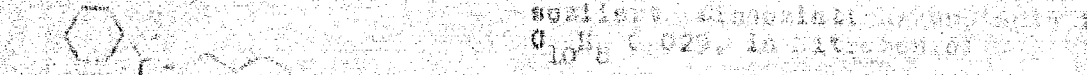
**Diphenyl- $\beta$ -naphthyl-methyl**: feste Kristalle,  $\text{F}: 135-140^\circ$ ; die Lösung ist reines; Dissoziationskonstante in Nitrobenzol  $\text{C}_6\text{H}_5\text{NO}_2$  zu 5% dissoziert.



grünlich

grau

**Di-biphenyl- $\alpha$ -naphthyl-methyl**: feste Kristalle,  $\text{F}: 135-140^\circ$ ; ist bei  $3^\circ$  zu 10% dissoziert.



grünlich

grau

**Tri- $\beta$ -naphthyl-methyl**:



grünlich

grau

**9-Phenyl-fluorenyl**:  $\text{F}: 254^\circ$ ; ist bei  $3^\circ$  zu 10% dissoziert.



grünlich

grau

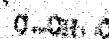
**3-Phenyl-1-phenyl-fluorenyl**:  $\text{F}: 175-176^\circ$ ; ist bei  $3^\circ$  zu 10% dissoziert.



grünlich

grau

1,1,3,3-Tet-phenyl-allyl



Bräunlich Rötel bei 140°C. Zersetzt sich bei 200°C.

1,2,3-Tri-phenyl-indenyl



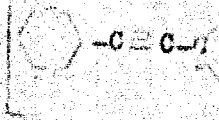
Ist nur an wenigen Stellen

Penta-phenyl-cyclo-octadienyl



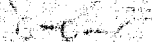
Intensiv violettes Kristall. Viscosität 1100 cP. Bei 200°C. Zersetzt sich. Schmelzen bis oben hinauf unregelmäßig.

1,2,3,4,4,6-Hexaphenyl-hexadien



Fl. 174-175°; farblos. Viscosität 1100 cP. Bei 200°C. Zersetzt sich. Schmelzen bis oben hinauf unregelmäßig.

Pentaphenyl-ethyl



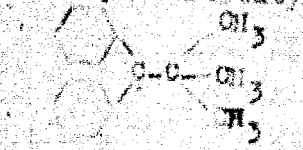
Violett. Zersetzt sich bei 200°C. Schmelzen bis oben hinauf unregelmäßig. Schmelzen bis oben hinauf unregelmäßig.

1-Diphenyl-1,1-triphenyl-ethyl



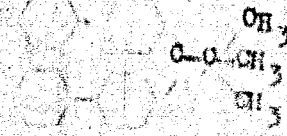
Violett. Zersetzt sich bei 200°C. Schmelzen bis oben hinauf unregelmäßig.

Diphenyl-tert-butyl-methyl



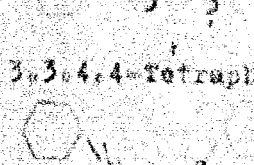
Fl. 136-141°; farblos. Viscosität 1100 cP. Schmelzen bis oben hinauf unregelmäßig.

Di-p-phenyl-tert-butyl-ethyl



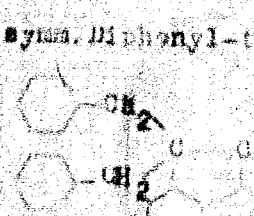
Fl. 137°; farblos. Viscosität 1100 cP. Schmelzen bis oben hinauf unregelmäßig.

1,1,2,2-Tetraphenyl-1,3-butadien



CH<sub>3</sub> CH<sub>2</sub>

3,3,4,4-Tetraphenylhexa-



CH<sub>3</sub> CH<sub>2</sub>

CH<sub>3</sub> CH<sub>2</sub>

syns. Diphenoxy-tetrabutylmethane



CH<sub>3</sub>

CH<sub>3</sub>

CH<sub>3</sub>

CH<sub>3</sub>

Pentaphenylmethan



1

Alkylradikale.

749

Ein völlig anderes Verhalten als die brotzeitigen oder Vinylradikale zeigen die Alkylradikale. Wie sind zusammenfassend Karlsruher Radikale? Als den ionaren Wasserstoff, Chlor oder Sauerstoff an die Stelle zu stellen sind. Sie bilden sich bei der thermischen oder photochemischen Zersetzung von Alkali- oder anderen Metallalkylen oder bei der Einwirkung von Magnesium auf Alkyhalogenide in der Gasphase. Auch bei der thermischen Zersetzung von Ketonen, Aldehyden, Ethen und Athan werden Alkylradikale nachgewiesen. Diese Radikale lassen sich auf Grund ihrer Flüchtigkeit leicht durch Arsen- oder Phosphatfinger aufzutragen zu können. Die Alkylradikale spielen eine wichtige Rolle beim Initiatoren von Polymerisationsketten. Durch Hinzufügen von Ru werden die anfanglich entstehenden Radikale abgefangen und die Kette abgeschnitten, wodurch die Reaktionsfähigkeit stark fällt.

Bei 1 wurden nur Methyl-, Ethyl- und Propylradikale nachgewiesen, die höhere Alkyle bei 1000°C Zersetzen. In der niedrigen Temperatur erinnern sich 1 über Zersetzung von Phenol und Cyclohexanol im Areal. Eindeutig nachweisbar im Polymerisationsmittel, die auf die Initiatorbildung höherer Alkylradikale hinweisen.

Die Beständigkeit der Alkylradikale wird in folgenden Beispiele durch ihre Halbwertszeiten niedergeschrieben:

	Halbwertszeit in N <sub>2</sub>	Halbwertszeit in H <sub>2</sub> -Atmosphäre	Halbwertszeit in Natrium
1-Ethyl 6.10 <sup>-3</sup> sec. 7.10 <sup>-3</sup> sec. 5.10 <sup>-2</sup> sec. 1 sec. (Halbwertszeit ist nicht ablesbar)			

Methyl 6.10<sup>-3</sup> sec. 6.10<sup>-3</sup> sec. 1 sec. (nicht ablesbar)

Benzyl 6.10<sup>-3</sup> sec.

n-Propyl hat eine noch längere Halbwertszeit. Es kann kein freies Methylen, es scheint je nach der Konzentration und Temperatur die Halbwertszeiten 11 bis 12 Minuten zu betragen. Bei einer weiteren Herstellung 5x10<sup>-3</sup> sec. bei gleichzeitiger Zersetzung des CH<sub>2</sub> kann eher als ein sehr reaktionsträger Radikal als ein Radikal betrachtet werden, denn der O ist so doppelt und verzweigt, daher nicht so ungeschützt wie reaktionsträger wie z.B. Propen sollte. In Gegenwart von Keten ist die Halbwertszeit etwas größer 5x10<sup>-3</sup> sec. in Gegenwart von H<sub>2</sub> 2x10<sup>-3</sup> sec. Es kann darüber dauer in Diethylethan und Dimethylethan zurückgeführt werden.

Die freien Alkyle reagieren sehr schnell weiter, die Konkurrenz entweder dimerisieren oder die Komplexierung. Benzyl geht unter tiefen Temperaturen nur die Dimmerisierung zu einem Hydroperoxyd. Die Proportionierung ist hier in der Literatur geschildert, da der Kälte reagiert Benzyl nicht mit Benzyl, jedoch mit Benzoyl. Die Beständigkeit des Benzyl-Radikals bei -20°C ist ungefähr die Hälfte dieser Temperatur von nur 50% und die Hälfte der

$5 \times 10^{-3}$  sec. in Urethan ist die Radikalfestigkeit über dauer in Diethylethan wird auf eine bimolekulare Reaktion, zwischen Methylen und Diethylethan zurückgeführt.

Die freien Alkyle reagieren sehr schnell mit sich, die kleinen Alkyle entweder dimerisieren oder disproportionieren. Butyl geht bei tiefen Temperaturen nur die Disproportionierung ein. Die Dimerisierung ist nur an der Mitter- und Peripherie in der Kälte reaktiv. Butyl geht nicht, jedoch kann Disproportionierung die Beständigkeit des Radikals unterhalb von  $-100^{\circ}C$  vermindern. Innerhalb dieser Temperatur verläuft eine niedrige Reaktion bis halb.

- 13 -

750

Athyl nimmt bei tiefen Temperaturen nicht nur an einer Dimerisierung sondern auch an der Disproportionierung teil. Athyl vereinigt sich leichter mit einem Jodatom als mit einem anderen Radikal, wegen der grösseren Wahrscheinlichkeit der Bildung eines angeregten Zustandes in einer Reaktion zwischen einem Atom und einem Radikal als zwischen zwei Radikalen.

Die Beständigkeit der Radikale nimmt mit zunehmender Komplexität rasch ab. Die Darstellung von n-Propyl ist daher bei den hohen Temperaturen, wie sie bei der Darstellung von n-Butyl und Athyl noch angewendet werden können, nicht mehr möglich. Man sieht daher bei zur Zersetzung von Butylalkyl aus, die schon bei tiefen Temperaturen vor sich geht, n-Propyl nicht fast gar nicht mehr an einer Disproportionierung teil, sondern disproportioniert sich weitgehend. Es lässt sich also von Methyl zu n-Propyl ein Übergang der Neigung zur Dimerisierung zur Disproportionierung feststellen.

	Dimerisierung	Disproportionierung
CH <sub>3</sub>	Athan	100 %
CH <sub>3</sub> CH <sub>2</sub>	n-Butan	11 % Athan-Athylen 89 %
CH <sub>3</sub> CH <sub>2</sub> CH <sub>2</sub>	n-Hexan	23 % Propan-Diphenyl 77 %

Bei höheren Temperaturen können diese Radikale ebenfalls an weiteren Reaktionen teilnehmen.

Die Arylradikale<sup>4)</sup> Phenyl, o-tolyli und vanillyl können sich selbst allein noch gehen die Disproportionierung ein. Bald tritt aber eine Zuppelung ein, das entstehende Produkt reagiert dann mit einem weiteren Radikal oder mit dem Lösungsmittel.

Zur Darstellung des o-tolyli wird die entsprechende Triignardverbindung, z.B. Phenyliagnesiumbromid in Athylbenzyl, wurde auch durch thermische Zersetzung von Tetraphenylstannol oder<sup>5)</sup> Benzoylazeton oder aus Toluol bei 0,1-0,05 mm und 200-1000° erhaltet.<sup>6)</sup> Phenyl bildete sich bei der thermischen Zersetzung von Phenyl-terephthalat oder Bleitetraphenyl.<sup>7)</sup> Im Gussen und Dampfen bildet sich die freien Arylradikale neuverarbeitet und sind reaktionseifrig für die einfachen freien aliphatischen Radikale.

- 14 -

751

#### Literatur:

- 1) Eugen Müller, Neuere Anschauungen der organischen Chemie 1940
- 2) Rückel, Theoretische Grundlagen der organischen Chemie 1940
- 3) Richter-Anschütz, Organische Chemie 1940

4) Theilacker, Chem. Etg., 62 (1941) 127

5) Ziegler, A. 551 (1942) 127

6) Bisterst, Isotomerie und Isomerie, 1940

7) Sererano Riccoboni, Röts., Z. physik. Chem. A 133 (1941) 233  
B 74 (1941) 1297; Z. Elektrochem. 47 (1941) 624

8) Soc. 1928, 409

9) Evans, Am. Soc. 53 (1931) 2574

10) Faters, Trans. Faraday Soc. 27 (1941) 720

TITLE PAGE

"Caviar" formation in coal hydrogenation:

Wissenschaftliche Abhandlungen

Nr. 25

25. Die Bildung von Kavari in Kohlenöfen.  
The formation of "Caviar" in coal hydrogenation ovens.

Druck-Nr. 782 - 75

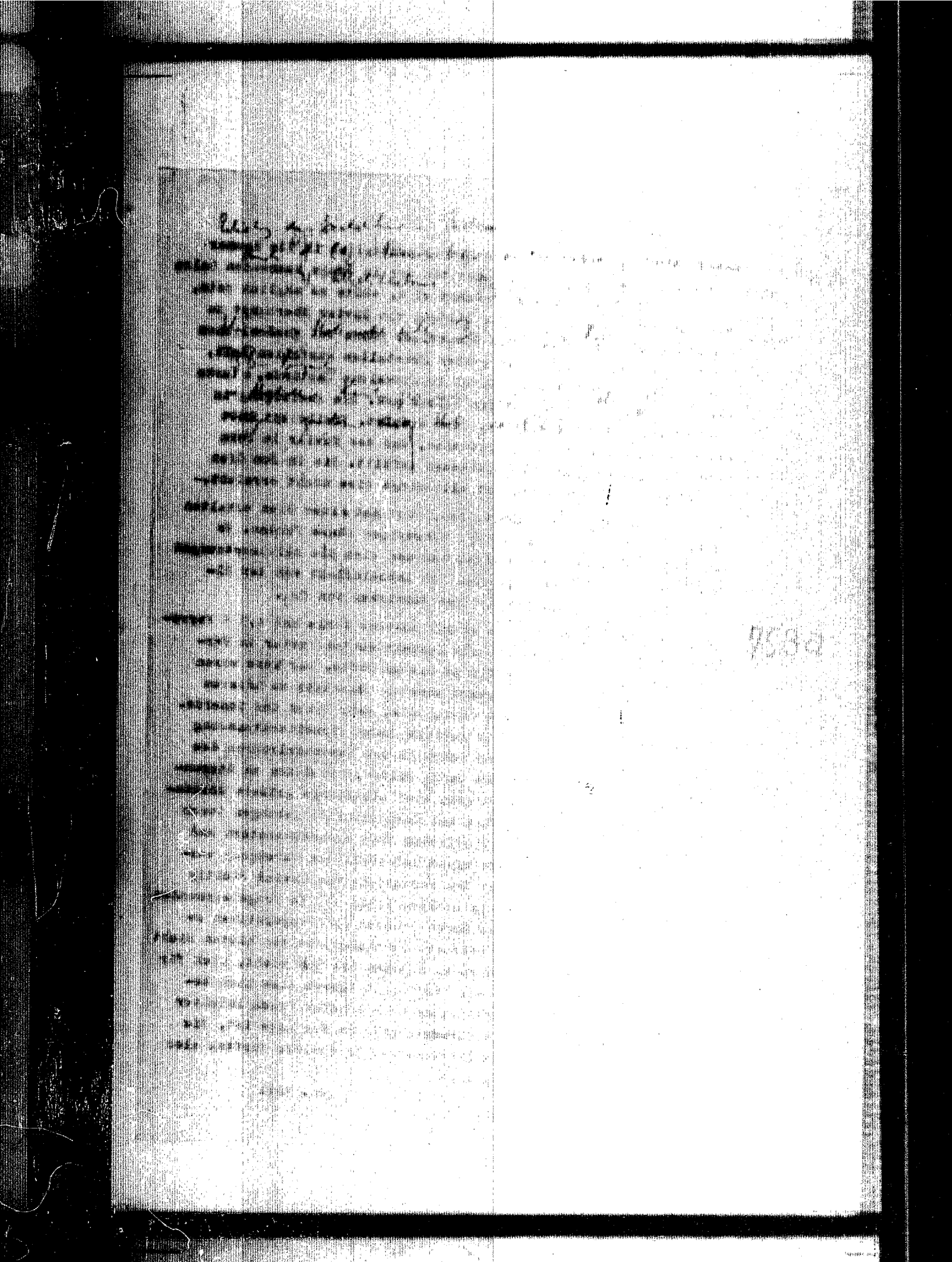
Bk dgs. Mannheim  
Abschrift XI 3.5.1944  
Abw. St. Pol. K. Han

Vor einiger Zeit habe ich darauf hingewiesen, daß eine Bildung von Kavari in Kohleofen den Kochen nicht, aus der Dampfturbine unter den Verhältnissen, wie sie im Ofen bestehen, also ca. 700 atm., 450°C. sich als Fülligkeit verhält und anorganische Salze löst. Ich habe daran die Folgerung gezogen, daß sich aus diesen Erkenntnissen heraus Möglichkeiten eröffnen müssen, die Kavaribildung überhaupt zu beseitigen. Diese Idee habe ich auf Versammlung von Herrn Dr. Müller von Blumenthal am 17.1.1944 in Ingelheim den Mitarbeitern von Herrn Dr. Kr. Pier, Herrn Dr. Simon, Herrn Dr. Donath und Herrn Dr. Knab vorgetragen, worauf anschließend noch kurz Herrn Dr. Dr. Pier persönlich berichtet wurde. Wurde ich nach dieser ersten Besprechung mehr auf wenige Bruchstücke, z. B. um den Dampfturbinenbetrieb, wie Verdieselung von Turbinenstromkreis oder der Geologie, Entwicklung von Anregungen usw. stilten, so konnte ich mittlerweile feststellen, daß auf diesem Gebiet bereits einige Veröffentlichungen vorliegen.-

Es hat auf der Hauptversammlung der Deutschen Ingenieur-Vereinigung am 15./16. Oktober 1940 bereits Herr Prof. Dr. Otto Fuchs über Arbeiten berichtet, die von ihm zusammen mit Dr. J. Billmeyer im Chemischen Institut der Techn. Hochschule Karlsruhe ausgeführt wurden. Der Vortrag ist in der Zeitschrift für Metallkunde 1941, Heft 101, veröffentlicht, ein weiterer Aufsatz von J. Billmeyer in der Chem. Fabrik 1940, Seite 405. In diesen beiden Arbeiten sind Schlußfolgerungen über die Löslichkeit einiger Salze (Basi, KCl, BaSO<sub>4</sub>, und BaCO<sub>3</sub>) im Wasserdampf bei hohen Drücken und Temperaturen angegeben. Letzter führt die Messungen etwa im Gebiete des kritischen Druckes auf. Die Ergebnisse bewegen aber, daß hochgespannter Wasserdampf anorganische Salze in geringlicher Konzentration löst. Die Löslichkeit nimmt mit steigendem Druck stark zu. Es ist daher anzunehmen, daß bei den Verhältnissen, wie sie im unseren Hydrogenator herrschen, eine noch höhere Löslichkeit besteht.-

Wasser ist genug im Ofen vorhanden, so mit 1 Tonne Wass. 60 kg Wasser auf 50 kg Aschebestandteile lassen sich kommen und weiterer Wasserdampf durch den Abbau von Kohlenstoffverbindungen durch den "Koker"





卷之二十一

七言律詩二十二首

七言絕句二首

七言律詩二首

七言

Hochdruckversuche  
Lu 1.

Kaser  
Alkoholat.

Alkoholat

Natriumcarbonat

Die Möglichkeit von Salzen im Hochdruckzylinder zu erhalten und bei hoher Temperatur, auf die Nickel, Magnesium, Ammonium hat, müsste durch Versuche im Vakuumöfen leicht verifiziert werden. Der Zusammensetzung der Ammoniumsulfat-Lösung ist es möglich, die Möglichkeit einer von Salzkristallisation erwartet werden, d.h. ein Hydroxyl zu erwarten.

Es wäre außerdem zu prüfen, ob nicht die Sulfatgruppe des  $\text{Ca}(\text{ClO}_4)_2$  in Accordance mit durch  $\text{Ca}(\text{OH})_2$  ausgetauscht, welche bestimmt im Vakuumöfen und in den Lösungen erhalten werden kann, wiederum lösbar zu machen.

Es erscheint nun auch denkbar, dasselbe durch Anwendung eines in Schalenen durch Zufügen von Natriumcarbonat hergestellten gefrorenen wässrigen Katalysators kann, wenn diese ausreichend vor dem Vakuumöfen erhitzt und bei der Anwendung genügend reines Alkali in das Nickelfüll zugesetzt würde.

Auch wenn es möglich sein sollte, durch Anwendung dieses Katalysators das Kristallwachstum des Chloratsverbindungs nicht unterdrücken so könnte doch das Sulfat wegen der hohen Temperatur im Vakuumöfen nicht verzichtet werden.

TITLE PAGE

27. Über die Theorie der Kaviar-Bildung.  
On the theory of the formation of  
"Caviar."

Frame Nos. 755 - 757

BK 21  
Druckversuche  
Ig 1

7. 6. 1944. Schm/Pf.

21

7. 6. 1944. Schm/Pf.

### Über die Theorie der Kaviar-Bildung.

Zu den Schreiben von Herrn Dr. Moll, Rheinbraun.

Kaviar

Herr Dr. Lohr spricht in seinem Schreiben vom 3. 5. 44 seine Ansicht aus, daß die Kaviarbildung durch die Ausscheidung der im Wasserdampf bei 700 Atm/40° gelösten Salze verursacht wird. Er weist auf die Arbeiten von Prof. Otto Puchs, E. f. Elektrochem. 1941, Seite 10, und von Dr. Spillner, Chem. Fabrik 1940, Seite 403 über „Hochgespannter Wasserdampf als Lösungsmittel“ hin, in den die Löslichkeiten verschiedener Salze im Wasserdampf von 70 - 225 Atm bei 40° nachgewiesen und quantitativ bestimmt worden sind.

Um sich ein Urteil über diese Ansicht zu bilden, ist es erforderlich, durch folgende kleine Rechnung sich über die Größen- und Mengenverhältnisse klar zu werden.

Ein Kohlebrei von 9 m<sup>3</sup> setzt sich in etwa 60 Tagen voll mit CaCO<sub>3</sub>-Ausscheidungen in Bollenform, genannt Kaviar. Das sind etwa 8 to 9 kg. In dieser Zeit werden 13 000 to Kohlebrei mit 26 000 000 m<sup>3</sup> Wasserstoff (kalt, drucklos) hindurchgefahren. Die Summe der im Kohlebrei enthaltenen und das während der Reaktion entstehenden Wassers beträgt maximal 15 %.

Auf die 13 000 to Kohlebrei kommen demnach maximal 2 000 to Wasser = 2 600 000 m<sup>3</sup> Wasserdampf (kalt, drucklos). Das ist bezogen auf Wasserstoff ein Kolverhältnis

$$\frac{2 600 000}{26 000 000 + 2 600 000} = 9 \text{ Mol } \times \text{H}_2\text{O}$$

Der Partialdruck von Wasser beträgt bei 70 At Gesamtdruck im Ofen max. 65 At. Nach den oben angeführten Arbeiten vermag bei 70 At 1 kg Wasserdampf bei 40°G aber nur 8 mg NaCl zu lösen, vergl. Tabelle.

T a b e l l e .

Löslichkeit von Salzen im hochgespannten Wasserdampf von Spillner.

P At	T	mg NaCl/kg Wasser	mg NaCl/kg Wasserdampf
75	40°	8	
100		10	
125		15	
150		33	
175		57	
200		140	
225		380	
250		570	
275		1240	
280		(40000)	

Die Messungen scheinen sehr sorgfältig ausgeführt worden zu sein, so das kein Grund vorliegt, sie zu bezweifeln. Fuchs und Spillner haben für ihre Messungen die Salze grösster Löslichkeit gewählt. Es ist also nicht anzunehmen, daß die Löslichkeit von Ca-Salzen in einer höheren Größenordnung liegen.

Unsere 20% te Wasserdruck kommen demnach unter den gegebenen Bedingungen nur 16 kg Salz lösen. Sie sind also noch nicht in der Lage, beim Durchsetzen 80 g/kg Salze zu lösen.

Herr Dr. Woll meint sich anschließend in der Druck des Wasserdampfes. In den beiden angeführten Arbeiten untersucht auch die Kritische Konzentration ( $373^{\circ}\text{C}$  u. 27 atm). Ich kommt dieses für unsere Bedingungen nicht in Betracht.

Es erscheint viel wahrscheinlicher, daß hier ein Gleichgewicht statt huminsaures Öl oder ähnliches in der flüssigen Misch-

phase Öl + Wasser steht 100%. (Bei einem Druck von 70 atm liegt etwas Wasser in Öl auch über dem kritischen Dampfdruck). Durch die Zusetzung der Calciumsalze zu Wasser wird ihre Löslichkeit stark herabgesetzt und das  $\text{CaCO}_3$  wird auf organische Stoffe abgeschlagen.

Aus dieser Annahme ergibt sich ein Fall, der beobachtet wurde zur Kavaribildung, der zu prüfen war. Entweder aus dafür vorgesehenen werden, daß das Öl von vornherein eine unlösliche Salze mit Öl hat, oder es muß an einem stark dissoziierenden Laugentest gesondert sein.

Dies läßt sich beispielsweise erreichen, indem man das Calciumsalz in halber oder Pauschal umgesetzt. Beim ersten Versuch, die mit einer starken Laugensättigung vertragen ist, suszeptlosen, und es darf dann keine Kavaribildung mehr eintreten.

Die Ansicht, daß bei einer Artitung von Kohletröpfchen mit Wasser unter Druck sich die Asche beim Anziehen in herznasserem Zustand befindet, wie sie der Patentanmeldung Oz. 14 016 von Dr. Hank und Dr. Brail zugrunde liegt, spricht nicht davon, daß die Salze in der flüssigen Mischphase Öl + Wasser gelöst sein können. Da sich erst bei Anziehen die Z. flüssig + feste Kavari mit geringer Lösung bildet, kann die Trennung zwischen Öl und Wasser vom Öl erst nach der Bildung Z. Phasen stattfinden. Aber da von der wasserhaltigen Olphase bei der Zersetzung gelöste Salze werden bei der Bildung der Z. salzhaltigen Ölphase wieder gelöst abgesondert werden.

#### ZUSAMMENFASSUNG:

Die von Herrn Dr. Woll vertretene Ansicht, daß die Kavaribildung durch die starke Löslichkeit von Salzen in hochgekochtem Wasserdampf verursacht ist, ist unzutrefflich. Der Wasserdampf hat nur einen Partialdruck von max. 75 Atm und der zugehörige Druck der Kavari ist um viele Maßstabsordinen höher als die Kavaribildung.

Coal Hydrogenation

FITZ PAT

20. Beziehungen zwischen Kohlenanalysen und  
Hydrierverhalten.

The relationship between coal analyses  
and hydrogenation behavior.

frame Nos. 700 + 701

Kohle

58

1) Ein Kind ist auf einer  
Wiese, die im Hintergrund  
von einem Zaun umgeben ist.  
Der Zaun besteht aus  
einem dichten Gestrüpp von  
Kraut und Gräsern.

2) Ein Kind steht auf einer  
Wiese, die im Hintergrund  
von einem Zaun umgeben ist.

3) Von oben auf eine  
Wiese, die im Hintergrund  
von einem Zaun umgeben ist.

4) Ein Kind steht auf einer  
Wiese, die im Hintergrund  
von einem Zaun umgeben ist.

5) Ein Kind steht auf einer  
Wiese, die im Hintergrund  
von einem Zaun umgeben ist.

6) Ein Kind steht auf einer  
Wiese, die im Hintergrund  
von einem Zaun umgeben ist.

7) Ein Kind steht auf einer  
Wiese, die im Hintergrund  
von einem Zaun umgeben ist.

8) Ein Kind steht auf einer  
Wiese, die im Hintergrund  
von einem Zaun umgeben ist.

9) Ein Kind steht auf einer  
Wiese, die im Hintergrund  
von einem Zaun umgeben ist.

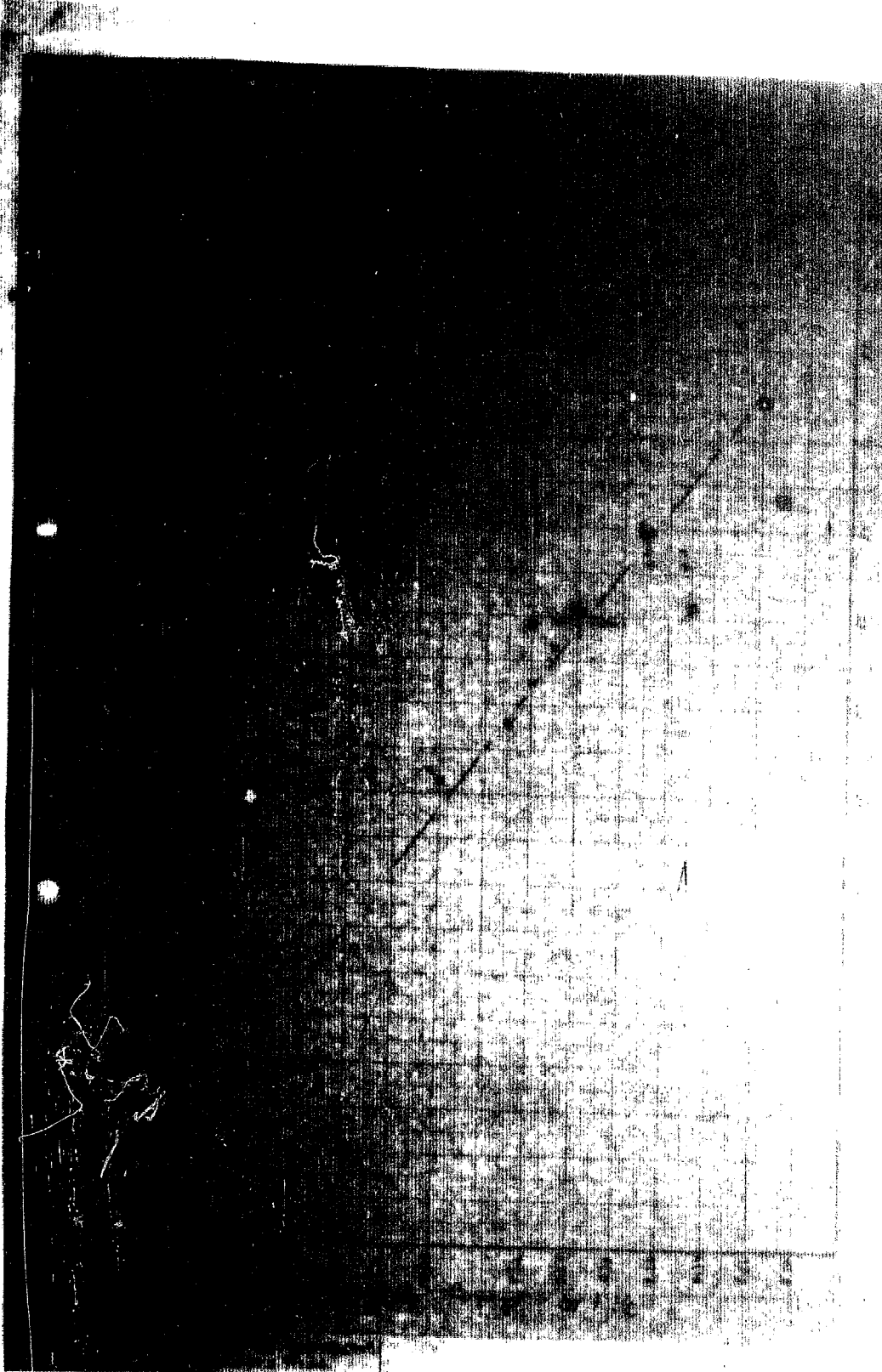
10) Ein Kind steht auf einer  
Wiese, die im Hintergrund  
von einem Zaun umgeben ist.

Es wird die Ablösungswinkel bestimmt, der Gehalt der anorganischen Bestandteile, der Wasserstoffgehalt, und der Wasserstoffverbrauch. Einlicher Kesten (Kohle) ist der zu untersuchende. Die bei der Abholzung entstehende Gruppe erzeugt, die in der Natur vorkommen. Kohlen sind die Sauerstoffgruppen, die durch Spaltung in der vorliegenden Form. Diese Hypothese bestätigt sich, wenn die Sauerstoffgruppen unter sich, da auch die der Durchschliffen parallel gehen.

Durchbohrungen dürfen nicht mehr als 10% des Kohlengehalts und 50% des Volumens ausmachen.

Der Verteilung der Kohle ist von den Umweltbedingungen abhängig. Es handelt sich um eine Substitution des Sauerstoffes durch Wasserstoff, wobei ein höherer Verlust als bei der Zersetzung als Karbonat stattfindet. Dies ist der Fall, der das CO<sub>2</sub> auf der Regeneration aufweist, während es während der Zersetzung nicht.

Wirkung



Bldg

70-3 Angles & Rivets - 1/4" Stock

Front Left  
X X 65

Front Right

70-3 Angles & Rivets - 1/4" Stock

763

TITLE PAGE

29. Kohlenanalysen und Hydrierverhalten.  
Coal analyses and hydrogenation behavior.

Frame Nos. 764 - 800

K 16.000  
1000  
EINDRUCKVERUCHTE  
Lm 1

764

KOHLENANALYSE

HYDRIERVERHALTEN

Auf der Grundlage der Ergebnisse verschiedener Versuche zur Verarbeitung von Kohlen zu Braunkohle wird die Kohle mit einem und mittelkohlenhaltigen Koks verglichen. Die Hydrierung ist technologisch untersucht worden, um die Unterschiede zwischen den Anfangs- und Endzuständen des Prozesses zu untersuchen. Der festgestellte Unterschied im Hydrierverhalten der Kohlen kann bewiesen werden.

Es standen die beiden folgenden Kohlen zur Verfügung:

Auch 2 Braunkohlen wurden zum Vergleich herangezogen. Das Ergebnis der Untersuchung bestätigt die obenstehende Tabelle. Es ist das Kriterium für das Hydrierverhalten bestätigt.

Dies ist mit darauf zurückzuführen, dass die Kohlenunterschiede der Kohlen - insbesondere das Volumenverhältnis - nicht richtig berücksichtigt werden.

Die Untersuchung bestätigt die Tatsache, dass die Kohle mit einem hohen Gehalt an Chloridionen eine geringere Hydrierfähigkeit aufweist.

Die Untersuchung bestätigt die Tatsache, dass die Kohle mit einem hohen Gehalt an Chloridionen eine geringere Hydrierfähigkeit aufweist.

1) Alle Kohlen besitzen einen hohen Gehalt an Chloridionen, von etwa 400 - 474%, zur Ausnahme der Kohle mit einem hohen Gehalt an Chloridionen.

2) Der Anteil der Kohle mit einem hohen Gehalt an Chloridionen ist höher als der Anteil der Kohle mit einem hohen Gehalt an Chloridionen.

3) Die Kohle mit einem hohen Gehalt an Chloridionen ist ebenfalls mit einem hohen Gehalt an Chloridionen.

wie bei Braunkohlen ausgestattet ist.

Die Untersuchung bestätigt die Tatsache, dass die Kohle mit einem hohen Gehalt an Chloridionen eine geringere Hydrierfähigkeit aufweist.

wie bei Braunkohlen ausgestattet ist.

wie bei Braunkohlen ausgestattet ist.

4) Entgegen mehrfach geäußerten Angaben zu Kohlen mit steigendem Sauerstoffgehalt hört die Entwicklung nicht mit steigendem C-Gehalt auf. Nach Erkahrung, das unabhängig von C-Gehalt der C-Gehalt zuniegt, lässt sich also nicht.

Auch hier fallen die Steinkohlen mit einem C-Gehalt, die wohl ebenso wie die Lehmkohlen eine Ausnahme bilden, nicht in diese Sonderstellung ein. Die lehmigen Calenbergkohlen nimmt mit steigendem Sauerstoffgehalt ebenfalls einen C-Gehalt zu, was offenbar also nicht allein durch die günstige Verhältnisse der Alkalinität - sie hat den Gurgelkohlen, Gipskohlen und Steinkohlen - vielleicht in Verbindung mit dem Wasserstand zusammen.

5) Am kompliziertesten liegen die Verhältnisse in den Braunkohlen. Eine einfache Beziehung zwischen C-Gehalt und Verwitterung besteht nicht. Braunkohlen haben dieselbe Variationsbreite wie die Steinkohlen mit steigendem C-Gehalt. In Abhängigkeit von der Verwitterung ist eine erhebliche Unterschiede von Kohlen zu Kohlen zu erwarten. Steinkohle hat die typische Verteilung wie oben beschrieben, d.h. um 3-4 % mehr C-Gehalt bzw. schließlich ein C-Gehalt von 70% bei den führerden geringen C-Gehalten durchwegs zu einer Verwitterung. Die Steinkohlen scheinen weniger konzentriert zu streuen.

Diese Unterschiede der Reviere erfordern von mir eine ausführlichere Prüfung vor allen Kroat, offenbar mit dem Ziel, die mehreren Ursachen aufzuführen.

Es wird die Arbeitshypothese aufgestellt, dass der C-Gehalt der Braunkohle und Karbonat an den verschiedenen Standorten, nicht verbunden mit Verwitterung, mit dem Sauerstoffgehalt auf das Verhältnis zwischen dem C-Gehalt und der Verwitterung in der Kohle einfließt. Der C-Gehalt ist in der Abspaltung in der Kohle verdeckt, d.h. es kann nicht bestimmt werden, ob der C-Gehalt der Kohle direkt oder über die Verwitterung vorgebildet wurde. Es ist möglich, dass der C-Gehalt unter starker Verwitterung in der Kohle verdeckt bleibt, während er in der Karbonatgesteine frei wird.

Haben wir z. B. eine Kohle mit einem C-Gehalt von 70% und einer niedrigen Alkalinität, so ist es möglich, dass der C-Gehalt der Kohle mit dem C-Gehalt der Karbonatgesteine übereinstimmt.

Der Einfluss der Alkalinität auf die Verwitterung ist nicht hinreichend untersucht, und es ist nicht sicher, ob die Alkalinität die Verwitterung beeinflusst. Es ist möglich, dass die Alkalinität die Verwitterung beeinflusst, z. B. die Wirkung des Calciums auf die Verwitterung, oder dass die Verwitterung die Alkalinität erhöht, z. B. durch Dolomit oder als Natrolith, der organischen Bindungen im Gestein offen stellt.

HOCHEINSTUFIERTE  
IM

706

Kohlenstoffverlust und Anhydritgehalt

In Lauter ist eine Reihe von Kohle-Sorten untersucht worden. Die Ergebnisse sind in Tabelle 1 zusammengefasst. Es handelt sich um die Ergebnisse eines hydrierten Anhydrits, der aus dem Bereich der Lauter-Formation stammt. Der Anhydritgehalt ist nachgewiesen, aber nicht quantitativ bestimmt. Die Ergebnisse zeigen, dass die Anhydritgehalte in den verschiedenen Kohlenarten unterschiedlich ausfallen, aber vergleichbar sind. Die Anhydritgehalte sind durch Analysen und Schätzungen ermittelt worden. Die Anhydritgehalte sind in der Tabelle angegeben. Die Ergebnisse zeigen, dass die Anhydritgehalte in den verschiedenen Kohlenarten unterschiedlich ausfallen, aber vergleichbar sind. Die Anhydritgehalte sind durch Analysen und Schätzungen ermittelt worden. Die Anhydritgehalte sind in der Tabelle angegeben.

Als Unterlagen standen die Ergebnisse von Steinböden und Braunkohlen zur Verfügung, die nach Revieren und Probenahme analysiert wurden und aufgeführt sind. Es zeigt sich, dass die Anhydritgehalte in den verschiedenen Kohlenarten unterschiedlich ausfallen, aber vergleichbar sind, obwohl von ihr hydriertes Ergebnis unterschiedlich ist.

Kohlenart	Anhydrit	Kohle
Steinkohle	12	10
Steinkohle	11	10
Steinkohle	10	10
Steinkohle	9	10
Steinkohle	8	10
Steinkohle	7	10
Steinkohle	6	10
Steinkohle	5	10
Steinkohle	4	10
Steinkohle	3	10
Braunkohlesteinkohle	3	12
Mitteldeutschland	4	12
Frankreich	5	1135

1) geschätzt auf Grund der Analyse des Anhydrits.

## I. Zusammensetzung der Kohlen

### Allgemeine Untersuchungsmethoden

717

Die Analysen der Kohlen sind in der nachstehenden Tabelle zusammengefasst. Daraufhin werden die Kohlen bezgl. der Zusammensetzung miteinander verglichen. Dabei gelten sich einige Regeln, die hier aufgeführt werden. Diese sind imsofern mit einiger Vorsicht zu benutzen, als es sich nicht immer leicht ist, auszuschließen, ob es sich um Kohlen handelt und dabei noch im Versteck eine andere Kohle verborgen ist, welche die gleichen Ergebnisse erbringt. Es kann also vorkommen, dass Kohlen, die nur im Autoklaven geprüft wurden, von anderen Kohlen unterscheiden, die nicht geprüft wurden.

#### a) C-Gehalt der Braunkohle.

In zahlreichen früheren Berichten wurde berichtet, dass der C-Gehalt insbesondere bei den Braunkohlen einen Einfluss auf das Hydratverhalten hat. Die entsprechenden Eigenschaften sind aufgetragen. Dabei wurde in vielen Fällen berichtet, dass dies möglich ist. Dennoch ist es nicht notwendig, dass diese Eigenschaften alle den C-Gehalt, wie z.B. die Sauerstoff- und Wasserstoffgehalte, berücksichtigen. Zwischen den Originalkohleschalen und dem, was nach dem Autoklavieren erhalten wurde, den C-Gehalten unterscheidet sich die Sauerstoffaufnahme bei der Vorbehandlung erheblich. Nachdem die C-Gehalte der Originalkohleschalen bestimmt sind, kann die Sauerstoffaufnahme im Anhang angeführt werden.

#### b) Disponibler Sauerstoff (Raum 1)

Bei geringem C-Gehalt liegt der Raum 1 des C-Gehalts. Bei höheren Gehalten sind die bituminöse Körnergrau- und frunkelsche Übergangskohle mit unverhältnismäßig hohen C-Gehalten. Bei den Braunkohlen werden im allgemeinen die gleichzeitigen Kohlen übereinstimmen durch die Autoklavierung. Bei den Schwarzkohlen, auch die schlesische Kohle, ist der Raum 1 des C-Gehalts verhältnismäßig verhältnismäßig groß. Bei diesen Kohlen ist der C-Gehalt höher als bei den anderen Kohlen. Bei den Schwarzkohlen ist der Raum 1 des C-Gehalts verhältnismäßig groß. Bei diesen Kohlen ist der C-Gehalt höher als bei den anderen Kohlen.

#### c) Sauerstoffgehalt (Raum 2)

Bei steigendem C-Gehalt nimmt der Raum 2 des C-Gehalts ab. Bei den Braunkohlen zwischen 10% und 15% C-Gehalt ist der Raum 2 des C-Gehalts bei den C-Gehalt Kohlen unterschiedlich. Bei den Schwarzkohlen ist der Raum 2 des C-Gehalts verhältnismäßig groß. Bei diesen Kohlen ist der C-Gehalt höher als bei den anderen Kohlen.

#### d) Inkohlungsgrad (Raum 1)

Der Inkohlungsgrad ist ein Maß für die Kohle, das aus den Werten der Kohlenzusammensetzung (Raum 1) erhält.

Nach dem Urheber ist bei Werten unter 0,5 die Kohle als Steinkohle anzusprechen. Infolge des geringen Einflusses des H-Gehaltes auf den Inkohlungsgesetz liegt die mitteldeutsche Braunkohle mit 0,4 den niedrigsten Wert. Blumenthal-Kohle und Gardanne liegen mit 0,5 genau auf der Grenze der Kohle ansetzen. Rhenische Kohlen haben den gleichen Inkohlungsgesetz wie Blumenthal mit 5% höherem C-Gehalt. Einem vergleichbaren Kohlegehalt entspricht die Myalowitzkohle auf die Saar. Die Ascheenthalt ist umso höher der C-Gehalt nach unverhältnismäßig niedrig. Bei 50% C-Gehalt beträgt sie 10%

### e) Gehalt an flüchtigen Bestandteilen

Der Gehalt an flüchtigen Bestandteilen nimmt im allgemeinen mit dem Verhältnisfeuerzeug mehr zu. Flüchtige Stoffe sind bei den Steinkohlen darunter vor allem die Buntmetallkohle und Schieferkohle ein wenig höher als bei den Braunkohlen, während die Braunkohle unmittelbar Buntmetallkohle und Lycowitzkohle mit 0,5

### f) Sauerstoffgehalt (Bild 9)

In den durch die Schmelzkarbonyl festgestellten Kurvenordnungen sind die Kohlegruppen untereinander unabhängig vom C-Gehalt. Die Unterschiede sind durch zwischen Mitteldeutschland und Süddeutschland sowie zwischen Süddeutschland und Schlesien nicht so groß wie zwischen Süddeutschland und Schlesien. Der C-Gehalt liegt zwischen beiden. Bei einem steigenden C-Gehalt sinkt der Sauerstoffgehalt. K 1180 mit 66,3% C liegt schon weitgehend an der unteren Grenze der Kurve. Durch hohe Gehalte hebt sich K 1180 (Feldberggrube), F 1116 (Sachsenberggrube) und F 1117 (Feldberggrube) ab. Zwischen C-Gehalt und Sauerstoffgehalt besteht bei Steinkohlen kein deutlicher Zusammenhang.

### g) Sitzungsgehalt (Bild 4)

Die Menge des mit Benzol-durchtränkten Extraktionsmittels ausgetragenen Hydronium-Zekretins ist proportional dem C-Gehalt und ausbeute. Bei allen Steinkohlen und bei den Braunkohlen liegt sie in der gleichen Größenordnung von 1,5 bis 2,0%. Es bestehen keine Unterschiede zwischen den Kohlen auf, was für das Hydrierverhalten nicht brauchbar ist.

Bei der Reaktion mit Benzol-Eisessig tritt eine ähnliche Abhängigkeit auf, allerdings nicht so stark. Bei den Steinkohlen nimmt dieser Sitzungsgehalt mit steigendem C-Gehalt ab. Er bewegt sich aber gegenläufig zu dem Sauerstoffgehalt, während die Kohle mit niedrigem C-Gehalt (Feldberggrube) und die jungen Braunkohlen (K 1174), sowie bei Rhenische Kohle, einen hohen Sitzungsgehalt (K 1174), sowie bei Rhenische Kohle aufweisen.

### h) Schwefelgehalt (Bild 7)

Es ist nicht möglich, einen eindeutigen Zusammenhang zwischen Alter eines Braunkohlen und Schwefelgehalt (Schwefelgehalt und Sauerstoffgehalt, Volumen und Aschegehalt) einzuführen.

### i) Gehalt an flüchtigen Schwefel (Bild 3)

Rheinische Braunkohle ist praktisch schwefelfrei, während die Steinkohle und Jigite Gardanne mit 3 bis 4,5% sehr viel schwefelhaltig sind. Die schlesischen Steinkohlen liegen in Aussehen und Viskosität niedriger als die jungen Braunkohlen, während die jungen Braunkohlen und die alten Galenberg-Kohle sowie die alten Steinkohlen (Viktoria-Feldungen) und die jungen Galenberg-Kohle ebenfalls niedrig beschnitten.

### j) Gehalt an fixem Schwefel (Bild 3)

Kohlen, die sich durch besonders hohe Sauerstoffgehalte auszeichnen, weisen auch die höchsten Schwefelgehalte (bis 1,5%) auf. Der Unterschied zwischen den Braunkohlen und den Steinkohlen ist aber bestmöglich, wenn man die jungen Kohlen nicht berücksichtigt.

### k) Aschegehalt (Bild 1)

Es wurden die Aschegehalte der Kohlen, die sich durch hohe Sauerstoffgehalte auszeichnen, eingesetzt, verarbeitet und auf den Glührückstand der aufgetrennten 1,2,4-Typen für verschiedene entzündete Kohlenarten gewertet. Entsprechend dem Sauerstoffgehalt des Glührückstands der entsprechenden Kohle, welche die entsprechenden Proben die Gehalte der Kohlen an Asche erzielten. Wenn die Kohle nur dort, wo der Aschegehalt der entsprechenden Kohle bestimmt war (Schieferkohlen), wurden die Zahlen mit der Aschegehalt angegeben.

Im Aschegehalt zeigten die Kohlen unterschiedliche Aschegehalte. Am höchsten waren die jungen Kohlen von Jigite Gardanne, Jigite Gardanne, Bergkohle auf die Steinkohlen von Schlesien, Sachsen und die Steinkohlen F 1116 (Feldberggrube), F 1117 (Feldberggrube) und die alte Galenberg-Kohle, während die alten Steinkohlen (Sachsenberggrube) die niedrigste Aschegehalt aufwiesen.

### l) Alkalinität (Bild 1)

Die Alkalinität wird aus den Aschegehalten im Aschegehalt berechnet, unter der sicher vorstehenden Annahme, dass der Gehalt an Alkalimetallen im Aschegehalt nahezu gleich Original- und Aschegehalt ist. Der Gehalt der Asche ist wesentlich die gleiche Größe.

Mit steigendem C-Gehalt nimmt die Alkalinität ab. Dieser steigende Gehalt an hohem Aschegehalt ergibt die Siedigkohle und Kohle 4000, deren starke Alkalinität hervor. Besonders niedrig ist die Alkalinität der Heinitz.

9) Gehalt an  $\text{CaO}$  und  $\text{MgO}$  (Bild 12)

Wie Bild 12 zeigt, ist die Alkalität abnehmend von oben nach unten der Trockenöle an  $\text{CaO} + \text{MgO}$  (1-180 Analysen, 1-152 Analysen). Indessen scheint es zu voraussetzen zu geben, wie die Ergebnisse der Grafik schreiben und möglicherweise die Ergebnisse der niedrigeren Schmelzeausverträge aufweisen.

Dabei ist bei den Steinkohlen des Vulkankalks ein erheblich höherer Eisengehalt als bei den anderen Kalksteinen, während diese letzteren relativ viel Magnesium und wenig Calcium enthalten.   
~~Steinkohlen~~ Auswertung der Steinkohlen  
Kohlen (braunkohlen) enthalten verhältnismäßig weniger Eisen als die aus der Erkundeborsten kleinen Mengen Eisen.

Kohlenart	100% Eisen	100% Magnesium
Braunkohlen	229	13
	143	16
	113	18
Silurkalken	106.2	14
	111.9	15
	121.3	16
	111.1	17
	111.0	18
	111.0	19
	111.0	20
	111.0	21
	111.0	22
	111.0	23
	111.0	24
	111.0	25
	111.0	26
	111.0	27
	111.0	28
	111.0	29
	111.0	30
	111.0	31
	111.0	32
	111.0	33
	111.0	34
	111.0	35
	111.0	36
	111.0	37
	111.0	38
	111.0	39
	111.0	40
	111.0	41
	111.0	42
	111.0	43
	111.0	44
	111.0	45
	111.0	46
	111.0	47
	111.0	48
	111.0	49
	111.0	50
	111.0	51
	111.0	52
	111.0	53
	111.0	54
	111.0	55
	111.0	56
	111.0	57
	111.0	58
	111.0	59
	111.0	60
	111.0	61
	111.0	62
	111.0	63
	111.0	64
	111.0	65
	111.0	66
	111.0	67
	111.0	68
	111.0	69
	111.0	70
	111.0	71
	111.0	72
	111.0	73
	111.0	74
	111.0	75
	111.0	76
	111.0	77
	111.0	78
	111.0	79
	111.0	80
	111.0	81
	111.0	82
	111.0	83
	111.0	84
	111.0	85
	111.0	86
	111.0	87
	111.0	88
	111.0	89
	111.0	90
	111.0	91
	111.0	92
	111.0	93
	111.0	94
	111.0	95
	111.0	96
	111.0	97
	111.0	98
	111.0	99
	111.0	100

Der Wert der Alkalität ist nicht bestimmt, sondern nur der Wert für  $\text{K}_{2\text{O}}$  (1152 Analysen) ausgewertet und dargestellt.

10) Gehalt an Alkalien

Durch früher bekannte Analysen ist der Gehalt an Alkalien bei den Braunkohlen, die im Vulkankalk geboren sind, sehr gering ( $0.15\%$ ) und der Anteil des Magnesiums ist ebenfalls gering noch etwas  $0.1\%$ .

II. Bewertungsmaßnahmen der Kohlenarten

Die Analyseeigenschaften der Kohlen sind nicht genau oder verlässlich genug und aus diesem Grunde kann man in der Gesamtkundgebung nichts sagen.

niedrigwerte für

C-Gehalt der Reinkohle  
O-Gehalt der Reinkohle  
Anzündungsgrad  
Asche  
Alkalinität  
CaO  
Alkalien

hohe Werte für

Flammpunkt, Zersetzungspunkt  
Stabilität, Dampftemperatur  
Schmelzpunkt

In der folgenden Tabelle ist die Anwendung der verschiedenen Eigenschaften nach dem allgemeinen Gang vermerkt. Die Zahlen sind im Verhältnis derartige und Tragende der Kohle. Bei geringerem Unterschieden sind diese Zahlen auf den unerheblichen Abstand nicht mehr verhältnissmäßig.

Kohle-Nr.	Wesentliche Merkmale
1252	
1110	Steig. H., Flammpunkt (flüssig), Asche, Alkalinität
1263	
1197	Asche, Alkalinität
1180	Asche, Alkalinität
1150	Bitumen
1174	
1216	Steig. H., Anzündungsgrad, (flüssig), Asche, Alkalinität (schwefel), Bitum.
1090	Steig. H., Anzündungsgrad (flüssig), Asche, Alkalinität (schwefel), Bitum.
1085	Anzündungsgrad, Asche, (schwefel), Bitum, Alkalinität
1060	Steig. H., (flüssig), Asche, (schwefel), Bitum
1152	Steig. H., Anzündungsgrad, Flammpunkt, Asche, (schwefel)
229	Flammpunkt
143	Steig. H., Schwefel, Bitumen, Alkalinität TobX, Flammpunkt, Inkoh
1135	Anzünd., Asche, Flammigkeit (schwefel), TobX, Flammigkeit

gästliche genannten. Eine solche ist z.B. die Verarbeitung eines 10-i-Ofen bei 600 at. mit einem Betriebsdruck von 400 at. verarbeitet. Die erhaltenen Produkte sind dabei fast identisch. **Fazit:** 2. sind daher weitgehend untersetzt. Zumindest wird allerdings der Zustand mit den entsprechenden Möglichkeiten und Reaktionstemperaturen nicht immer vollauf ausgenutzt. In den meisten Versuchen nur wenige Wochen laufen, während die im Betrieb, die mehrere Monate lang geprägt werden, mitunter in der ersten Fahrzeit eingesetzt. Die später erhaltenen Produkte waren etwas ungünstiger, weil sich das Modell durch das Fahren noch verschlechtert hatte, und wohl deshalb, weil man mit weniger weit entzweite Kohle vorstand.

### 11. Temperaturverhalten (Bild 13)

Dass die Temperaturen - mit Ausnahme des Verarbeitungsgebietes der Zwecktonne - doch sehr nahe beieinander liegen, zwischen 460 bis 474° streuen, ist nicht etwa von Verarbeitungstemperatur abhängig, sondern ist bestimmt durch das Verhältnis des Heizöls zu Öl und durch die weiteren Verarbeitungswillkür. Und diese beiden dienen Feststellung, ob die Versuchsanordnung auf dem "richtigen" Verarbeitungsweg liegt. In diesem Sinn ist es wichtig umzugehen.

An sich erfordert es zunächst zweckmäßig, die Anzahl der höheren Temperaturen zu erhöhen, damit eine möglichst geringe Anzahl niedriggradigeren für die Bettverarbeitung in Aussicht zu stehen. Diesen Gründen die Leistung, und erreicht es nicht durchaus leicht, die oft überschreiten beständiger Ausbildung und damit die Rücksichtnahme auf die Leistung, die den Anforderungen entspricht. Erst dann bringt die Erfahrung bei Abstellen der Tonne die erforderlichen Voraussetzungen der Kohlen, insbesondere die Leistung, die die Leistung, sowohl bezüglich der Leistung wie auch der Leistung, nicht zu begrenzen die Reaktionsgeschwindigkeit kann. Ganz anders dagegen die Umsatzgeschwindigkeit, die durch die erzielbaren Ergebnisse wenige Grade in erheblichen Maßen zu steigen beginnen, wenn der Ofen schliesslich - meist zw. 460° und 474° - reguliert wird. Durchgehen naigt. Die Durchschnittstemperatur liegt zwischen 470° und 474°, welche sich aber aus dem Betrieb heraus, durch die Anzahl der höheren Leistung und ausreichendem Asphalttebbau, nicht mehr auf die charakteristische Temperatur zu beziehen. Im übrigen kann bei niedrigen Temperaturen zur Bildung gasförmigen Kohlenwasserstoffen nicht, da die Temperaturbereich die Vergasung derartig hohe ist, dass sie nicht die Einstellung einer relativ hohen Reaktionstemperatur ermöglicht, was stark steigenden Konservestoffverbrauch erfordert. Bei einer so hohen Temperatur gelingt bei ein und derselben Art von Kohle, dass man mit einer Fahrweise ein bestimmter Durchsatz und damit ein bestimmter Ölverbrauch, wenn das Rücksichtsverhältnis erreicht ist, dass man nicht zu viel Öl verbraucht nicht bestehen. <sup>1)</sup> Die Rücksichtnahme auf die Leistung ist im übrigen bei den einzelnen Kohlen verschieden, ebenso wie die Leistung dieses Eigenschaftskomplexes, wenn es darum geht, ob die Leistung mangels genügender Unterlagen vorerst

1) v. Ziemannsches Werk 2. Aufl., 2. Teil, Kapitel 2, § 12, S. 136 f.

anz Osteuropa und nach Südeuropa. Die  
gerige Vergesellschaftung der beiden  
Staaten ist die einzige Erklärung für die  
Gefahrenstrecke, die sie aufgenommen haben  
und die hohe Zahl der Todesopfer, die sie  
die von ihnen verursachten Kriegsverluste  
zuließen.

Was geschieht mit dem politischen  
Zoohaus? Es kann nicht mehr bestehen,  
wegen der sozialen Entwicklung, die es nicht  
mehr erträgt. Die sozialen Unterschiede sind  
noch nicht so groß geworden, daß man nicht  
mehr auf einer Basis zusammenarbeiten kann.

**80**

Der Abschluß des Friedensvertrages zwischen  
den sich gegenüberstehenden Nationen ist  
nicht die schlechteste Wahl. Es ist eine  
22,5 % höhere Kostenverteilung, als wenn  
davon 100% auf die Verteilung der Kosten  
für den Frieden entfallen würden.  
Durch die Ausübung von Macht kann man  
trotzdem nicht davon absehen, denn die  
sozialen Unterschiede sind zu groß.  
1960 ist die Verteilung der Kosten  
auf 1116 noch zuviel. Aber es kann  
doch, bezogen auf die sozialen Unterschiede,  
die Verteilung der Kosten auf 1116  
erhalten. Auf der einen Seite kann man  
durch die Ausübung von Macht  
die sozialen Unterschiede verringern.  
Auf der anderen Seite kann man durch  
die Ausübung von Macht  
die sozialen Unterschiede verringern.  
Vergleicht man die sozialen Unterschiede  
in den drei Fällen, so erhält man  
die folgende Verteilung:

### **B** Vergleichung (siehe 14)

Die Verteilung der Kosten auf 1116  
ist bei allen drei Fällen gleich. Der Unterschied  
liegt im Gehalt der Lohnabgaben. Die Lohnabgaben  
sind zu niedrig, um ausreichen zu können. In die  
die Lohnabgaben für die sozialen Unterschiede  
hinzugefügten Werte gehen die sozialen Unter-  
schiede auf. Diese Abgaben steigen mit  
vom höheren Gehalt der Lohnabgaben  
durch ihre Höhe, die durch die sozialen  
Unterschiede bestimmt werden. Durch die  
Kostenrechnung wird die sozialen Unterschiede  
entweder weiter auf die oben genannten  
Kosten gebracht und damit für die sozialen  
Unterschiede den Haushalten, die sie auf die sozialen  
Unterschiede beobachten, oder sie werden auf die  
sozialen Unterschiede übertragen. In diesem Fall wird  
die sozialen Unterschiede auf die sozialen  
Unterschiede übertragen.

Kohlen zu vergleichen<sup>1)</sup>. Je höher eine Kohle ist, einen grösseren Aschegehalt verträgt sie. Innerhalb gleicher oder exakter gleicher Gehalt an Asche von über 14 % bei der Beurteilung der Koksqualität durch die Leistungsvorschreitende gewirkt sich haben.

Dass die Ostallgäuer-Altehr-Kohle 1174 (Std. 1174) und den übrigen hydrierbegrenzten Kohlen der Preisseegruppe II (Std. 1174) mit gleichem C-Gehalt, ist wohl in erster Linie auf die Verarbeitung, die bei etwas niedrigerer, vielleicht sogar geringerer Temperatur durchgeführt wurde, zumal bei der K 1160 eine Temperaturerhöhung von 1 bis 2° C eine wesentliche Verbesserung des Ergebnisses brachte. Außerdem war das Resultat der K 1174 im Vergleich zu dem des Versuchs zur Kohleverarbeitung mit Zn, das oben erwähnt wurde, gewissenmaess K 1174 war gegenüber den vergleichbaren Kohlen weniger im disp. R und im Gehalt an schwefelhaltigen und leicht flüchtigen Bestandteilen, und damit wohl auch in der Alkalinität, ferner im C-Gehalt abweichen. Da andererseits gerade die in der Reaktion am meisten beteiligten Werte für den Wannertoff, z. B. C-Gehalt, Kohlensäureausbeute (K 1069) und niedrigen Zinktitanatwert (K 1172) weit über dem C-Gehalt und der Asche von ganz unterschiedlichen Bedeutung für die Heizung sind. Die verhältnismässig hohe Reaktionszeit von 474 Minuten ist durch die besonders hohe Reaktionsgeschwindigkeit von 474 Minuten bedingt. Der Einfluss einer Temperaturerhöhung von 1 bis 2° C auf die gebrauchte Temperaturkurve ist also von einer geringen Beeinflussung des C-Gehalts.

#### 4) Asphaltabbau.

Als Mittel für den Asphaltabbau wurde das Wasser der verschiedenen vom Rücklauföl an e-Asphalt gewaschenen Fraktionen ausgenutzt. Aufzuschichten, was die einzelnen Fraktionen verschiedenem e-Asphaltgehalt das Aussehen eines dichten, hellen Schlamms im Absetzbecken auf das Absetzgefäß des Zentrifugenschlammes (Gesamtgehalt) unterwirkt.

Da der Asphaltabbau häufig in den technischen Prozessen eine wichtige Bedeutung gebracht worden ist, erschien es interessant, die Abhängigkeit des e-Asphaltgehalts des Rücklaufes von der Fraktion zu untersuchen. Hierbei zeigt es sich (v. Bild 1), dass die in den abgesetzten e-Asphalten ausserordentlich gesäumerten Ansichten bei den Fraktionen mit steigendem Sauerstoffgehalt der Fraktionen, die im allgemeinen nur die Steinkohlen ohne Untergliederung der Asche, wahrscheinlich vielleicht allerdings ebenfalls - auger dem Sauerstoffgehalt - die Gliedern, und doch die rheinische Brücke, die aus unterschiedlichen Asphaltarten auf, die an der Brücke Kohle mit einem steigenden Sauerstoffgehalt der Kohle der Fraktionen reicher wird, bestreicht also nicht auf die Fraktionen, sondern auf das Verhalten der Steinkohle. Unter Annahme, dass die Steinkohle mit steigender Sauerstoffoxydierung, die im allgemeinen mit einer Kohlung ist, solange er greifbar werden kann, durch die Sauerstoffoxydierung korrigiert werden.

1) Prof. Dr. Meditz will sich dieser Frage unterstellen.

Insbesondere niedrige Asphaltwerte wie z.B. K 1100 (Bild 16) bei einer der hohen Reaktionstemperatur von 474 auf 550 Abreduktion um 390 senkte den Asphaltgehalt des Rückenfusses von Vergaserungskohle auf 6,5 %. Der gleichfalls etwas niedrige Wert der Kohle K 1160 (Bild. Nr. 6) liegt fast noch im Bereich der Anreduktionstemperatur, aber die Temperatur ist etwas höher als bei den Vergleichskohlen. Auch hier den Fällen fügt die geringe Temperaturverzögerung auf der Asphaltreduktion hinzu.

Völlig aus dem Rahmen fällt der Asphaltwert der jungen Braunkohle (Bild. Nr. 9). Diese nimmt in dieser Bindemasse einen bedeutenden Anteil ein, und da die beiden anderen Braukohlen sich gut in die allgemeine Abhängigkeit einfügen, erscheint es fraglich, ob es richtig ist, diese Kohle als Prototyp der Braunkohlen zu den weiteren Braukohlen gegenüberzustellen. Sie unterscheidet sich durch ihren hohen Schwefelgehalt und vor allen durch ihre sehr niedrige Alkalität (sie besteht kein besonderer Anion darin). Ihnen gelten Anreduktionen mit einem Schwefelgehalt ausgeschrieben, da die Variante 1000 (Bild 16) bei normaler Asphaltwerte noch sehr schwefelhaltig ist. Ein Versuch zur Verarbeitung von Steinkohle in 10-1000 zeigt ebenfalls in Form von H<sub>2</sub> keine Verbesserung der Reaktionen, sondern eine leicht verdecktigen früheren Versuche zu Steinkohle mit einem kleinen Korrelation zu dem Schluß, dass die Alkalität von steinkohle bestimmt hat die Asphaltreduktion ist. K 1090 enthält entsprechend diesen Ergebnissen am wenigsten Ca und Mg von allen Vergleichskohlen. Der Asphaltwert K 1090 liegt hier mit 6,7% im übrigen bewundernswertig. In anderen ähnlichen Versuchen mit der gleichen Kohle wurden auch etwas höhere Asphaltzahlen bis zu 8,0 % gefunden.

Da der Sauerstoffgehalt der Kohlen mit steigendem C-Gehalt allmählich regellosig abnimmt, muss der Asphaltspiegel ebenfalls unregelmäßig zunehmend C-Gehalt stetig ansteigen. Dies deutet Bild 16 und Bild 16. Die niedrige Asphaltwerte fallen gegen die höheren Kohlen auf, wie in Darstellung 15, sondern sieh nicht mehr direkt nach Betrachtungen erbringen. Dagegen haben sich hier die Beziehungen durch relativ schlechten Asphaltspiegel hervor, was mit ihrer niedrigen Leistung in Einklang steht und wie dieses als Folge ihrer Asche erkläre werden muss. Es erscheint dannach zweckmäßig, die Zusammensetzung von Kohlen aufgrund des Asphaltspiegels mit dem C-Gehalt der Kohle als Anstelle mit dem O-Gehalt in Betracht zu setzen.

Bei Braunkohlen könnte außer dem Feuerstoffsgehalt wahrscheinlich noch der Inkohlungegrund eine Untersuchungsgrundlage für den Anwendungsbereich sein.

## 2) Vergaserung (Bild 17)

In Bild 17 ist die Vergaserung gegen den C-Gehalt graphisch aufgetragen. Es zeigt sich folgendes:

- a) Eine Abhängig. für alle Kohlen gleichartig bestehende Korrelation zwischen Vergaserung und C-Gehalt besteht nicht. Braunkohlen haben dieselbe Vergaserung wie Braunkohlen, die < 14% C-Gehalt aufweisen.

1) Zusammenstellung 20.7.1941 vom 24.10.42.

b) Bei Steinkohlen nimmt die Vergasung mit steigendem C-Gehalt in starkem Maße zu.

c) Dieser Anstieg verläuft stetig bei verschiedenen Kohlenarten und bei verschiedenen Kohlen aus dem gleichen Revier zwischen den Revieren. Schlesische Kohlen haben die geringste Vergasung wie Rohrkohlen, welche 3-4% mehr C aufweisen, bzw. schlesische Kohlen unterscheiden sich von Fuhrkohlen gleichen C-Gehaltes durch eine um 6-7% höhere Vergasung. Die markanten Abweichungen zwischen diesen beiden Grenzwerten zu streuen oder etwa die Menge zu bestimmen, da man annimmen kann, dass die ältere Markenhülle K 1152, die im abgesetzten Zustand verarbeitet worden war, im Absetzungsabstand einen höheren Vergasungswert als die X 10601, eine ältere Vergasungswert zu bestimmen. Die Prüfung, durch welche Eigenschaften sich die Kohlen mit steigender Vergasung (alle Rohrkohlen und K 1152) von den hohen Vergasungswerten unterscheiden, ergibt leider keine einfache Klassierung für die Vergasungsunterschiede. Die Kohlen mit niedrigem Vergasungswert unterscheiden sich aus durch:

- hohen disponiblen H,
- niedrigen Inkohlungsgrad,
- relativ hohen Chlorgehalt, der aber keinen großen Unterschied (K 1216) bei 0,2% direkt,
- hohen Schwefelgehalt, der aber noch ein Verteilungskriterium (K 1060) bedeutet,
- relativ hohe Urteerausbeute.

Die meisten dieser Kohlen haben sich auch nach Verarbeitung durch einen Gehalt an Flüchtigen (ausser K 1060) und auch durch geringen O-Gehalt (ausser K 1216) hervor.

Diese Unterschiede lassen darauf schließen, dass physikalisch-chemische Verschiedenheiten in der Struktur des organischen Bestandes der Kohlen bestehen, und dass diese für das unterschiedliche Verteilen verantwortlich sind.

Den Vorwand einer Erklärung stellt die Arbeitshypothese dar, dass der hohe Wert für disponiblen H, die hohe Urteerausbeute, der hohe Gehalt an flüchtigen Bestandteilen und damit verbunden der relativ niedrige Gehalt an O auf das Verteilungsschema der raffinierteren Beiketten an der aromatischen Organik und der Kohle zurückzuführen sind. Diese Ketten bilden bei der Ausgasung im Ofen in der Hauptmasse Moleküle von einem Durchmesser, die in das Produkt der Reaktion fallen. Bei den Kohlen mit hoher Vergasung gegenüber steht die Beiketten so kurz, dass bei der thermischen Zersetzung vergleichsweise geringe XY entstehen.

Ein relativ gutes Wissen kann auch für sich allein nicht von allen den Kriterien stellen der disponiblen H dar. Die schlesischen Kohlen haben im Mittel den Wert 4,0, die Rohrkohle 4,75. Auch bei den Markenhüllen steht diese Beziehung, da die K 1060 mit für ihren C-Gehalt höher aber noch unter der schlesischen Kohlen vergleichenden Wert 4,45, die K 1152 mit ihrem C-Gehalt höher als die schlesischen Kohlen Aschengehalten sehr niedrigen Vergasungswert von 3,30 und disponiblen H aufweist. Ferner lässt sich die Abhängigkeit zwischen disponiblen H und Vergasung durch folgenden Vergleich von Kohlen mit praktisch gleichen C-Gehalten erkennen:

1) VZT Zusammenstellung 14 4611 Erteilung vom 18.4.39

2) Die hier eingesetzten Vergasungswerte für Schlesische Kohlen erlauben weitere Versuche bestätigt.

Revier	Oberschlesien	SAAR	NRW	77
Kohle Mr.	4180	1060	1216	
damp. H	4.0	4.4	4.7	
Vergasung %	29.4	27.5	19.9	

Bei den überschlesischen Kohlen unterscheidet diese Beziehung nicht sonderlich verkehrt sich in das Gegenteil. Dort ist, wenn man die verwendete Hypothese beibehalten will, ein höherer diapositiver % ein Zeichen für eine geringere Anzahl kurzer Seitenketten, zu der davon vorhanden sind, desto mehr werden bei der Verflüssigung abgespalten und geben Vergasung. Die Hypothese bedingt dann die Voraussetzung, dass die deutschen Kohlen entweder aus verschiedenen Pflanzenstoffen entstanden sind, oder, was wesentlich wahrscheinlicher ist, dass die schlesischen Kohlen eine Inkohlung durchgemacht haben, bei der sie "frühzeitig" ihre langen Paraffinketten verloren haben. Sie müssen also besonders scharfe Bedingungen ausgesetzt gewesen sein.

Wie bereits vermerkt, zeichneten sich Kohlen niedriger Vergasung auch durch einen niedrigen Inkohlungsgrad aus. Wenn nun die Vergasung gegen den Inkohlungsgrad auftritt (Bild 14), dann ist zwar keine deutliche Abhängigkeit nach Revieren sehr zu erkennen, aber die Durchschnittskurve verläuft derartig steil, dass sie für Vorausschätzungen der Vergasung nicht brauchbar ist. Sohl aber wird man den Inkohlungsgrad (Bild 3) als Grundlage für Vorausschätzungen über den Charakter einer Kohle benötigen, ihrer Vergasung mit heranziehen können.

Der ungünstige Einfluss eines hohen Aschegehaltes auch auf die Vergasung ist bekannt, und vor allem hier zu Beispiel der E 1110 mit relativ sehr hoher Vergasung deutlich. Wie aber die schlesischen E 1180 und 1197 zeigen, vermag auch eine weitgehende Entzündung auf 2,1 und 3,2 % den Grundcharakter der organischen Kohlenupplösung nicht zu verschleiern. Das gleiche dürfte auf die Alkalinität und damit den Calciumgehalt der Kohlen treffen, worin die hier genannten schlesischen Kohlen ebenfalls absolut niedrige Werte haben. Dass die Sulfurbindungsvermögen bezogen auf % Öl pro Stund auch ein charakteristischer Unterschied zwischen schlesischen Kohlen einerseits und Ruhr- und Starkohlen andererseits liegt, zeigt Bild 15. Man kann sich auch erkennen, dass die Alkalinität der Asche mit abnehmendem C-Gehalt stetig abnimmt, was damit zu erklären ist, dass mit fortwährender Inkohlung das ursprünglich an Kationenketten gebundene S frei wird und herausgewaschen wird.

Wie weit der Chlor- und Schwefelgehalt der Kohlen katalytisch wirksam wird, lässt sich nur durch systematische Versuche erklären.

Jedenfalls ist klassischer anzunehmen, dass die Höhe der Vergasung einer Kohle reicht auf das Zusammenwirken mehrerer Ursachen zurückgeführt werden muss. Es ist wahrscheinlich, dass auch die mineralogische Struktur der unorganischen Bestandteile der Kohle von erheblichem Einfluss ist.

Bei Beurteilungen der Vergasungen und ihrer Zusammensetzung darf nicht außer Acht gelassen werden, dass diese Werte etwas unsichtbarer sein müssen, als die übrigen Hydrierresultate, da die Vergasung sich aus 4 Gasmessungen, 4 Gasanalysen und 4 Podbielski-Analysen sowie 1 Siedekurve errechnet.

## ANHANG

## Berichtigung von Elementaranalysen.

Kohlenanalysen, die die wichtigste Bezeichnungsgrundlage für Kohlen bilden, stehen zur Verfügung:

- 1) von Proben der Originalkohle (Kohlekartei Dr. Gieg)
- 2) falls diese entzweit wurde, von der entzweiten (Kohlekartei Dr. Gieg)
- 3) bei den Versuchen der letzten Zeit von der mit Zink (Zinc sulfat) getrockneten und abgekohlten trockneten Kohle, wie sie zur Anwendung vertraut wurde (zg. Ofenrohan).

Die Unterschiede zwischen 1) und 2) werden hier nicht mehr untersucht. Gelegentlich scheint die Entzweigung mit einer leicht unterschiedlichen Anoxydierung verbunden zu sein. Der genaue Vergleich der Ofenproben mit den jeweils in Betracht kommenden Analysen 1) oder 2) der Kohlekartei zeigt, dass der C-Gehalt durchweg den Ver suchen verwandten Kohlen im Mittel (10 Probe) um 1,5% niedriger lag, während der Sauerstoffgehalt im Durchschnitt um 1,5% höher waren. Hätte die Kohlesverbhandlung, insbesondere weil die Kohle oft ist aber stets mit einer recht merklichen Anoxydierung verbunden, die möglichst durch das aufgetragene Kieselsäuretropf noch weiter beschwächtigt wird. Die übrigen vert. Proben waren ebenfalls verrostet, änderten sich dagegen nur wenig. Die folgenden Angaben der mittleren Abweichungen zeigen (~Unterschied zwischen Ofenprobe und Originalprobe). Auch die rechnerisch erzielbaren Abweichungen der Elementaranalysewerte durch den Zinkzusatz sind gezeigt.

		1,5% Elementabzug entzweigt
C n.RK %	+ 1,3	
H n.RK %	- 0,02	
O n.RK %	+ 1,9	rd. + 0,21
N n.RK %	- 0,19	
S fl. a.RK %	+ 0,12	rd. + 0,14
H disp. n.10XG	- 0,05	
Inkontinenzgrad	- 0,07	

Die Vermutung, dass Kohlen mit besondem Zinkzusatz leichter entzweigt werden, ist leicht oxydiert - es ist bekanntlich möglich, wenn man aus einer "Oxydationszahl" auf die Hydratationszeit zu schließen. Könnte vielleicht an Hand der statistischen Auswertung einer größeren Anzahl von Original- und entzweigten Kohlen geprüft werden.

Es spricht vieles dafür, dass einige Anteile der Kohle, die in den Hydratationsgrad in Beziehung zu setzen, in dem die Entzweigung im Ofen gelangt ist. Da es würde aber sehr schwierig sein, die Kreise der zu betrachtenden Kohlen nicht abzuweichen, so ist dies

weil nicht vor allen gefahrenen Kohlen Ofenproben aufgefunden sind. Ferner wirds den Anteilen an Elementarresten zu berücksichtigen, die Anzahl von Autoklavversuchswerten zu groß sein würden, erreichbar. Auf diesen Grund kann man die Ergebnisse der "Kohlekartei" übergehen, wenn die Zwei im ersten Versuchstyp waren, wo offenkörner Analysemethoden vorliegen, als dies möglich ist.

## Zur Auswertung von Kohlenanalysen

Kohle Nr.	1119	1200
Befundort	WPKF NÖ WÖRBL	
Eingangsdatum	21.1.1933	
Probe	Original	
Vorbereitung	getrocknet	
C n. RX %	86,10	73,12
H %	1,35	5,76
O %	11,31	14,79
N %	1,05	1,54
S fl. a. RX %	0,77	0,17
H disp.	1,07	1,76
Inkontinenzgrad	0,011	0,009

Die berechneten Werte sind in Tabelle 1 zusammengefasst.

780

Kohleart  
REVIRE

Kohle Nr.  
Herkunft

Datum der Sitzung:  
Vorstellung

Analysen: ✓ C 8,15

✓ H 1,00  
✓ O 0,00  
✓ S 0,10  
✓ Cl 0,00

R. Disp. a. 10,00  
Trockenhemmung

✓ S gesamt a. KK  
✓ Alkalid a. R  
✓ Urteile aus  
✓ Elektrolyt (S. 100)  
✓ (Benzal-Alkohol)

✓ Anode a. Fe<sup>2+</sup>)  
Alkalität a. 800/1000 EK-1)

Archivierung

✓ SIO<sub>2</sub> a. P.Z.

✓ FeO

✓ Al<sub>2</sub>O<sub>3</sub>

✓ CaO

✓ K<sub>2</sub>O

✓ Na<sub>2</sub>O

✓ A<sub>2</sub>O

✓ SiO<sub>2</sub>

✓ P<sub>2</sub>O<sub>5</sub>

✓ Cl

Zurichtung

1

2

3

4

5

6

7

8

9

10

11

12

13

14

15

16

17

18

19

20

21

22

23

24

Tabelle 1.  
Bleianalysen,

h 1. e

Pb/Pb

	1180 Reuthen	1160 Pfeus- nen	1174 Cartel- Lanzen	1216 Gmeckel	1080 Wolken+ Lanzen	1070 Wolken+ Lanzen	1060 Wolken+ Lanzen	1050 Wolken+ Lanzen	1040 Wolken+ Lanzen	1030 Wolken+ Lanzen	1020 Wolken+ Lanzen	1010 Wolken+ Lanzen	1000 Wolken+ Lanzen
3.3.40	12.12.39	2.10.34	5.3.41	20.7.37	30.11.38	11.12.38	10.12.38	10.12.38	10.12.38	10.12.38	10.12.38	10.12.38	10.12.38
ent- ent- ascht	entascht	entascht	entascht	entascht	entascht	entascht	entascht	entascht	entascht	entascht	entascht	entascht	entascht
81,80	83,47	83,48	82,11	83,94	80,74	83,34	83,34	83,34	83,34	83,34	83,34	83,34	83,34
5,07	5,12	5,19	5,44	5,83	5,24	5,24	5,24	5,24	5,24	5,24	5,24	5,24	5,24
10,51	9,37	9,95	10,23	9,98	9,14	9,14	9,14	9,14	9,14	9,14	9,14	9,14	9,14
2,31	1,66	1,03	1,26	2,30	1,83	1,83	1,83	1,83	1,83	1,83	1,83	1,83	1,83
0,31	0,32	0,49	0,75	1,12	0,92	1,24	1,24	1,24	1,24	1,24	1,24	1,24	1,24
0,019	0,049	0,070	0,21	0,15	0,13	0,18	0,18	0,18	0,18	0,18	0,18	0,18	0,18
3,97	4,29	4,64	4,68	4,87	4,76	4,76	4,76	4,76	4,76	4,76	4,76	4,76	4,76
0,577	0,588	0,507	0,560	0,560	0,500	0,574	0,574	0,574	0,574	0,574	0,574	0,574	0,574
2	0,40	0,58	1,02	1,20	0,75	1,46	0,23	1,46	0,23	1,46	0,23	1,46	0,23
4	31,09	36,48	39,11	31,92	30,38	32,24	30,00	32,24	30,00	32,24	30,00	32,24	30,00
10	13,96	12,02	14,74	14,51	13,77	14,39	14,39	14,39	14,39	14,39	14,39	14,39	14,39
16	0,13	0,14	0,38	0,71	0,41	0,41	0,41	0,41	0,41	0,41	0,41	0,41	0,41
5,69	2,90	4,82	4,82	4,82	4,82	4,82	4,82	4,82	4,82	4,82	4,82	4,82	4,82
2,12	3,4	4,39	3,74	2,12	1,77	1,77	1,77	1,77	1,77	1,77	1,77	1,77	1,77
10,6	13,3	15,3	12,8	4,7	4,7	4,7	4,7	4,7	4,7	4,7	4,7	4,7	4,7
0,93	0,08	1,11	1,37	1,15	1,01	1,11	1,11	1,11	1,11	1,11	1,11	1,11	1,11
0,37	0,42	0,44	0,59	0,69	0,41	0,41	0,41	0,41	0,41	0,41	0,41	0,41	0,41
0,97	0,90	1,10	1,60	0,80	1,62	1,43	1,43	1,43	1,43	1,43	1,43	1,43	1,43
0,27	0,39	0,50	0,31	0,01	0,11	0,16	0,16	0,16	0,16	0,16	0,16	0,16	0,16
0,13	0,17	0,23	0,09	0,04	0,0	0,0	0,0	0,0	0,0	0,0	0,0	0,0	0,0
0,04	0,04	0,06	0,04	0,03	0,03	0,03	0,03	0,03	0,03	0,03	0,03	0,03	0,03
0,02	0,03	0,07	0,06	0,07	0,15	0,19	0,19	0,19	0,19	0,19	0,19	0,19	0,19
0,06	0,04	0,07	0,06	0,07	0,15	0,19	0,19	0,19	0,19	0,19	0,19	0,19	0,19
0,37	0,40	0,57	0,52	0,04	0,0	0,13	0,13	0,13	0,13	0,13	0,13	0,13	0,13
0,05	0,04	0,04	0,01	0,01	0,0	0,0	0,0	0,0	0,0	0,0	0,0	0,0	0,0
	Spuren	-	-	-	-	-	-	-	-	-	-	-	-
5	6	7	8	9	10	11	12	13	14	15	16	17	18

1) Korrigat  
2) Gehalt der Asche im Kalkstein (Korrigat) = 100%  
1,2) Bleihydrat  
7) Gehalt des Kalksteins an Bleihydrat  
8) Oxidationszelle

781

Kohleart				
Noviar				
Kohle Ar., Herkunft	1162	1110	1103	1112
Datum des Brinzen	12.4.51	12.4.51	12.4.51	12.4.51
Kohlevorhandlung				
Vorarbeiten, Schmelzpunkte				
Ofentemperatur °C	771	770	770	770
Argonat				
AUBAN 4	30,8	30,7	30,7	30,7
Si-Mg-Lanthan	0,36	0,37	0,37	0,37
* VEB RUMA a. Nied. V.	16,5	16,2	16,0	16,2
* Asphalt in Rücklauf <sup>1)</sup>	5,7	5,7	5,7	5,7
117 Ar.	1	2	2	2
Manganat	2,03	1,92	1,92	1,92
	Phosphor	4,11	4,11	4,11
Bilanz Ar.	1-2	2-3	2-3	2-3

1) Mit dem Asphalt in Anwendung  
2) Sonderart

Tabelle 2.

Höherer gebaut.

technik 1

Nummer

1160	1174	1216	1236	1246	1256
Preuter	Castel-	Kastell	Kastell	Kastell	Kastell
länge	breite	breite	breite	breite	breite
0.13.12.3	2.10.39	1.11.1	1.11.1	1.11.1	1.11.1

Entscheidend

W 1170 (101, 50) m², Kastell

472 470 470

35,4	35,2	35,2	35,2	35,2	35,2
0,27	0,25	0,25	0,25	0,25	0,25
26,3	23,8	19,5	24,7	27,2	27,2
7,5	5,1	5,1	5,1	5,1	5,1

6	7	8	9	10	11
31 1470 m²	132	2	2	2	2
42 21.11.10.7	1	1	2	1	1
1)	2-2	8	8	8	8

bis 1000

1000 bis 1500

1500 bis 2000

2000 bis 2500

2500 bis 3000

3000 bis 3500

3500 bis 4000

4000 bis 4500

4500 bis 5000

5000 bis 5500

5500 bis 6000

6000 bis 6500

6500 bis 7000

7000 bis 7500

7500 bis 8000

8000 bis 8500

8500 bis 9000

9000 bis 9500

9500 bis 10000

10000 bis 10500

10500 bis 11000

11000 bis 11500

11500 bis 12000

12000 bis 12500

12500 bis 13000

13000 bis 13500

13500 bis 14000

14000 bis 14500

14500 bis 15000

15000 bis 15500

15500 bis 16000

16000 bis 16500

16500 bis 17000

17000 bis 17500

17500 bis 18000

18000 bis 18500

18500 bis 19000

19000 bis 19500

19500 bis 20000

20000 bis 20500

20500 bis 21000

21000 bis 21500

21500 bis 22000

22000 bis 22500

22500 bis 23000

23000 bis 23500

23500 bis 24000

1000

1500

2000

2500

162

Bild 2

20 m R. K. gegen auf C - R. K.

Stimme Pfeil  
x 80 > 70 cm Länge

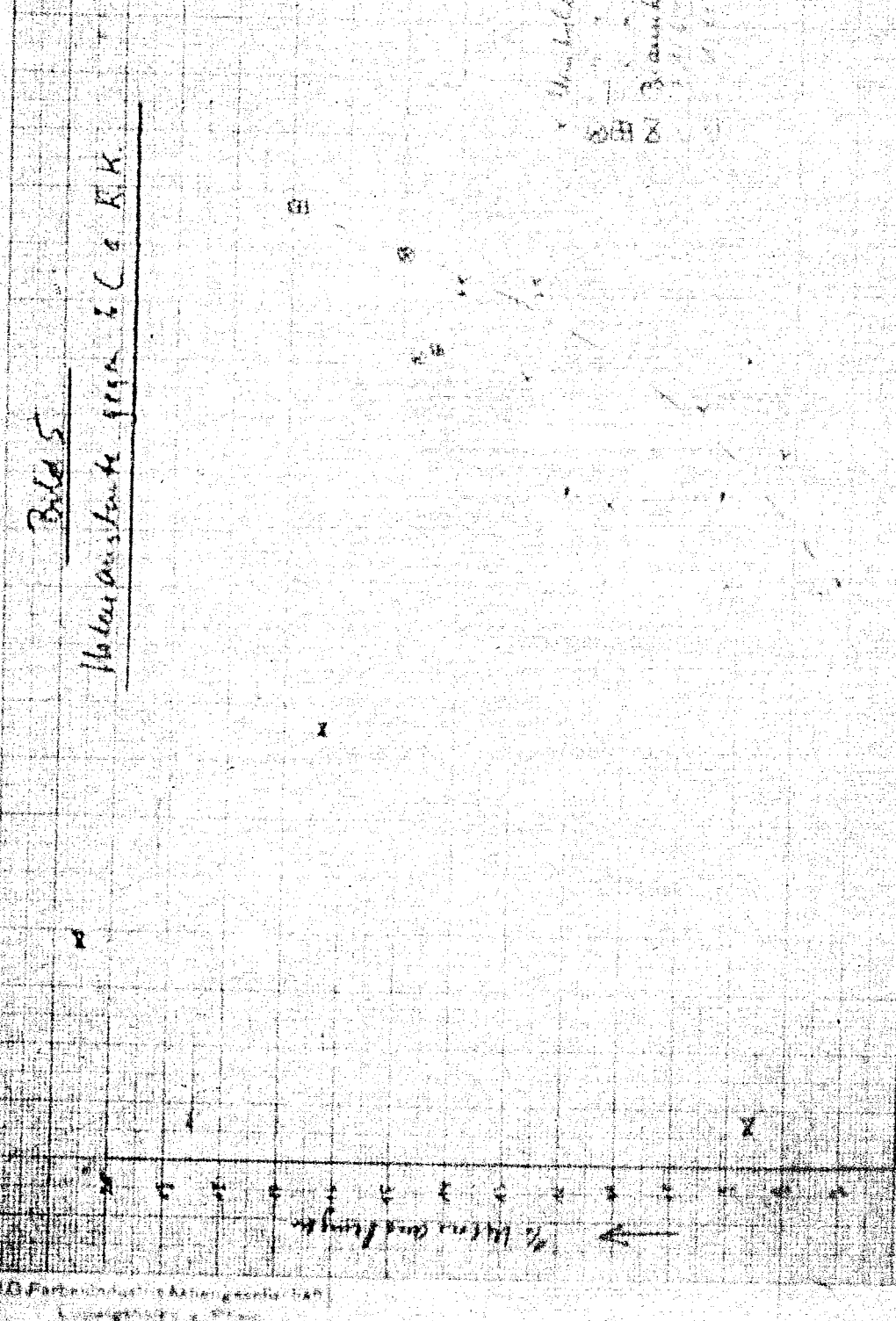
1183

Pr 143

A. bilineata sp. - ad. ♂ C - P.R.

Bild 5

Wasserstandsmessung C.R.K.

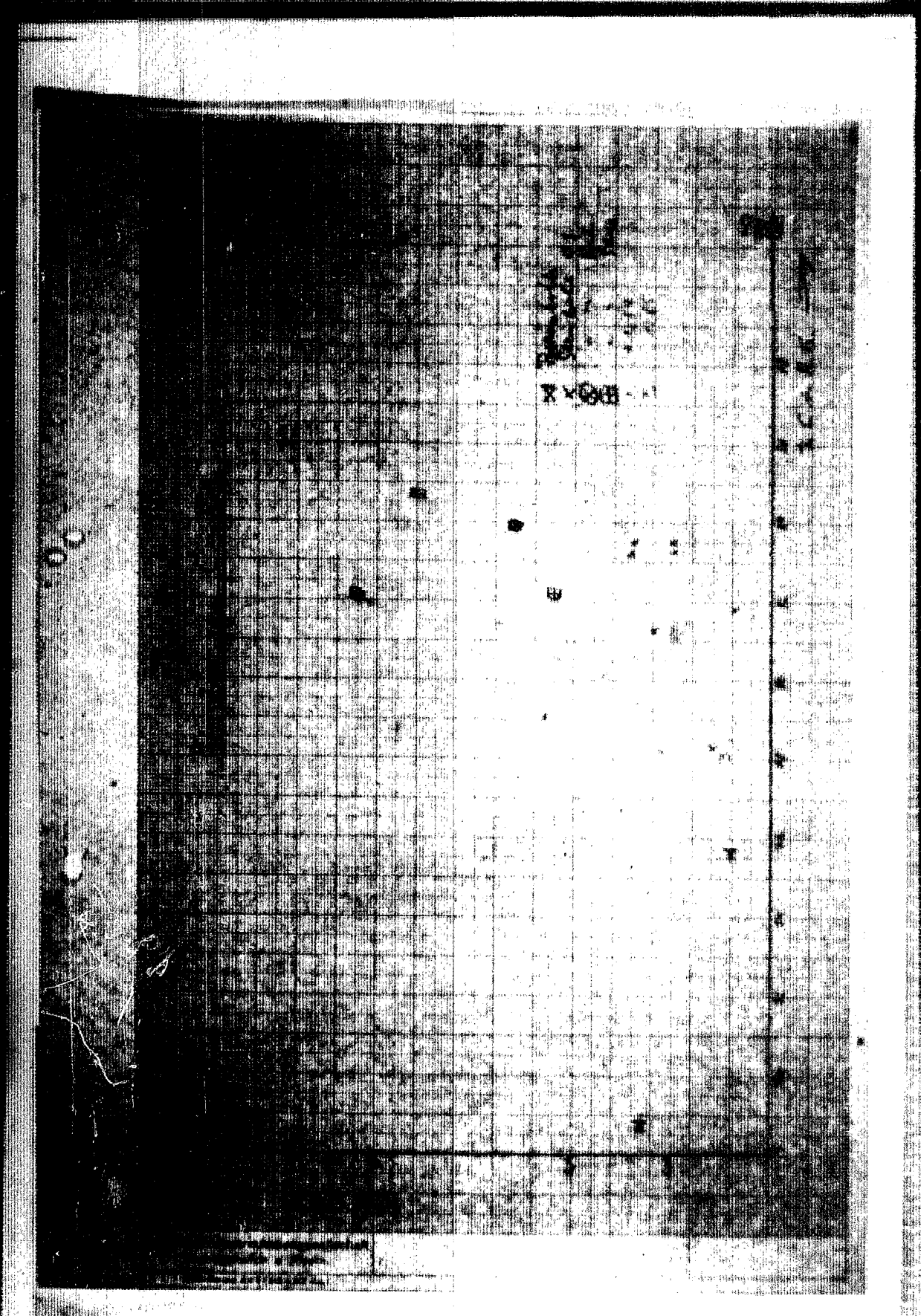


U.S. Geodetic Survey Special Publication No. 1

10. Februar 1944 C.R.K.  
Bauauftrag für die  
Arbeitsindustrie Aktiengesellschaft  
Ludwigshafen a. Rhein.

10. Februar 1944 C.R.K.

Brücke  
Haus  
Bau  
Stern



Flushing Creek

Opening date At long distance  
downstream a Rhine

Width 447 (200 x 60) mm

**Berg**  
**Fins S (Fins-Schuhfabrik und Fins-Schuh Park)**

— from S in P = PK  
— in P, is located.

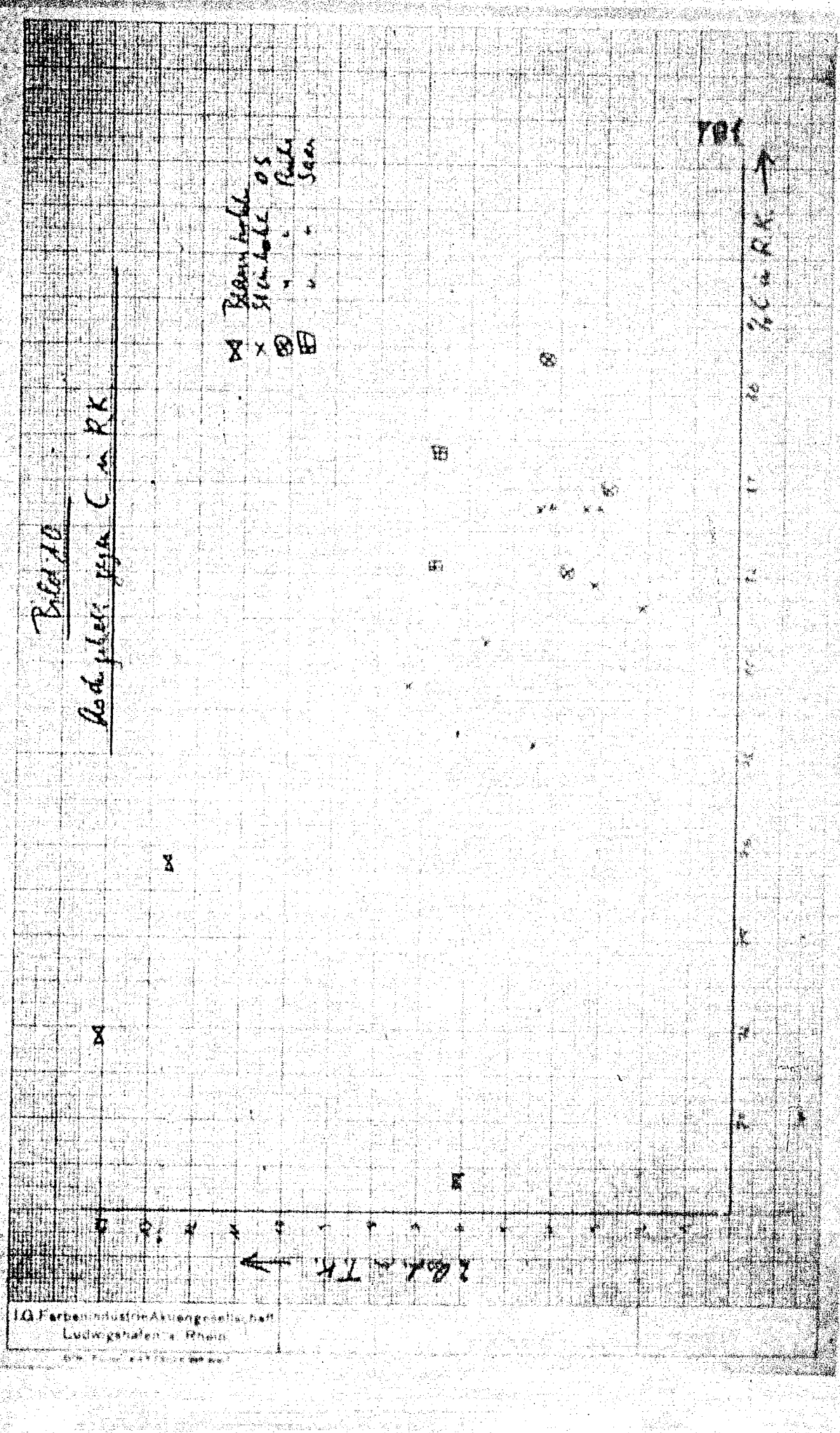
XX Baumwolle  
X Baumwolle SS  
◎ Baumwolle  
■ Baumwolle

✓ 90

✓ 90  
✓ 90

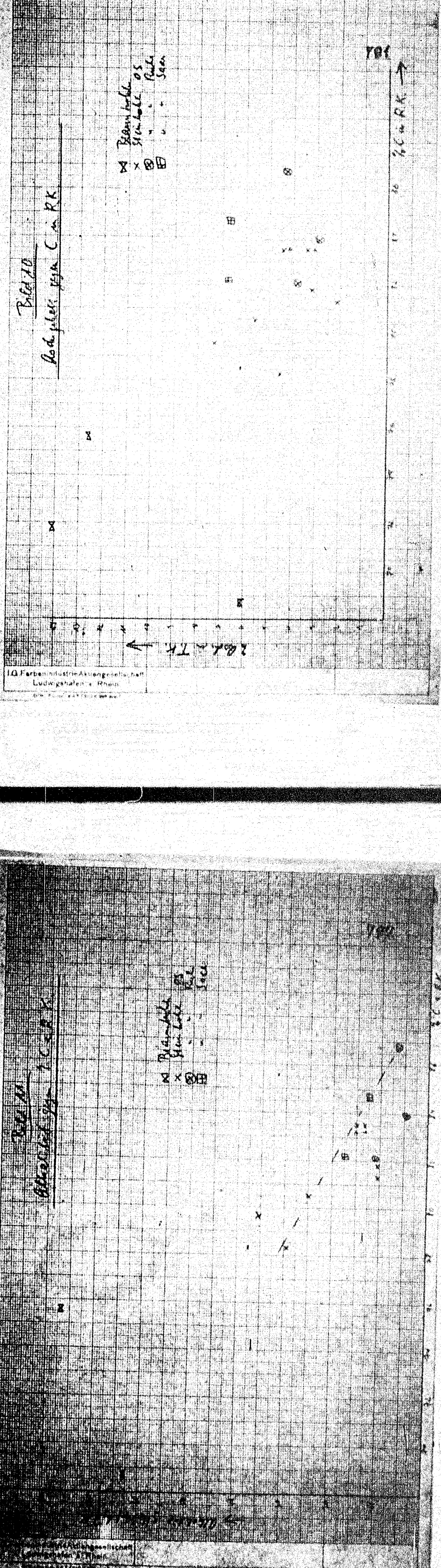
D. Farbenindustrie Aktiengesellschaft  
Ludwigshafen a. Rhine  
D.R. - Farben Aktiengesellschaft

Bild 10  
Abdichtung C in RK



IG Farbenindustrie Aktiengesellschaft  
Ludwigshafen (Rhein)

Bild 11  
Abdichtung C in RK



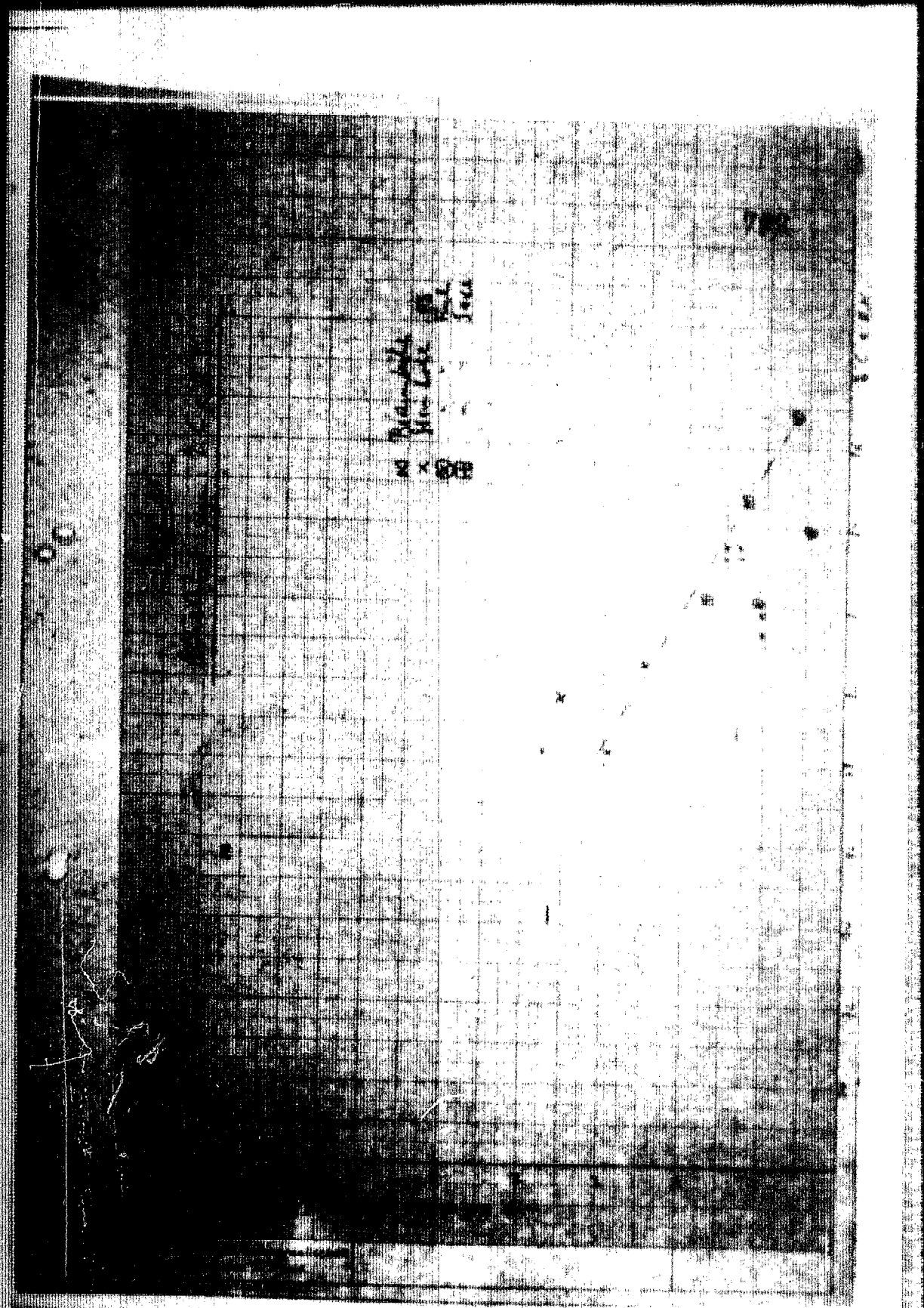


Bild 12

Abhängigkeit zwischen  $\text{O}_2\text{Met.}\%$   
und  $\text{P}_{\text{CO}_2}$  in  $\text{CO}_2 + \text{H}_2\text{O}$

793

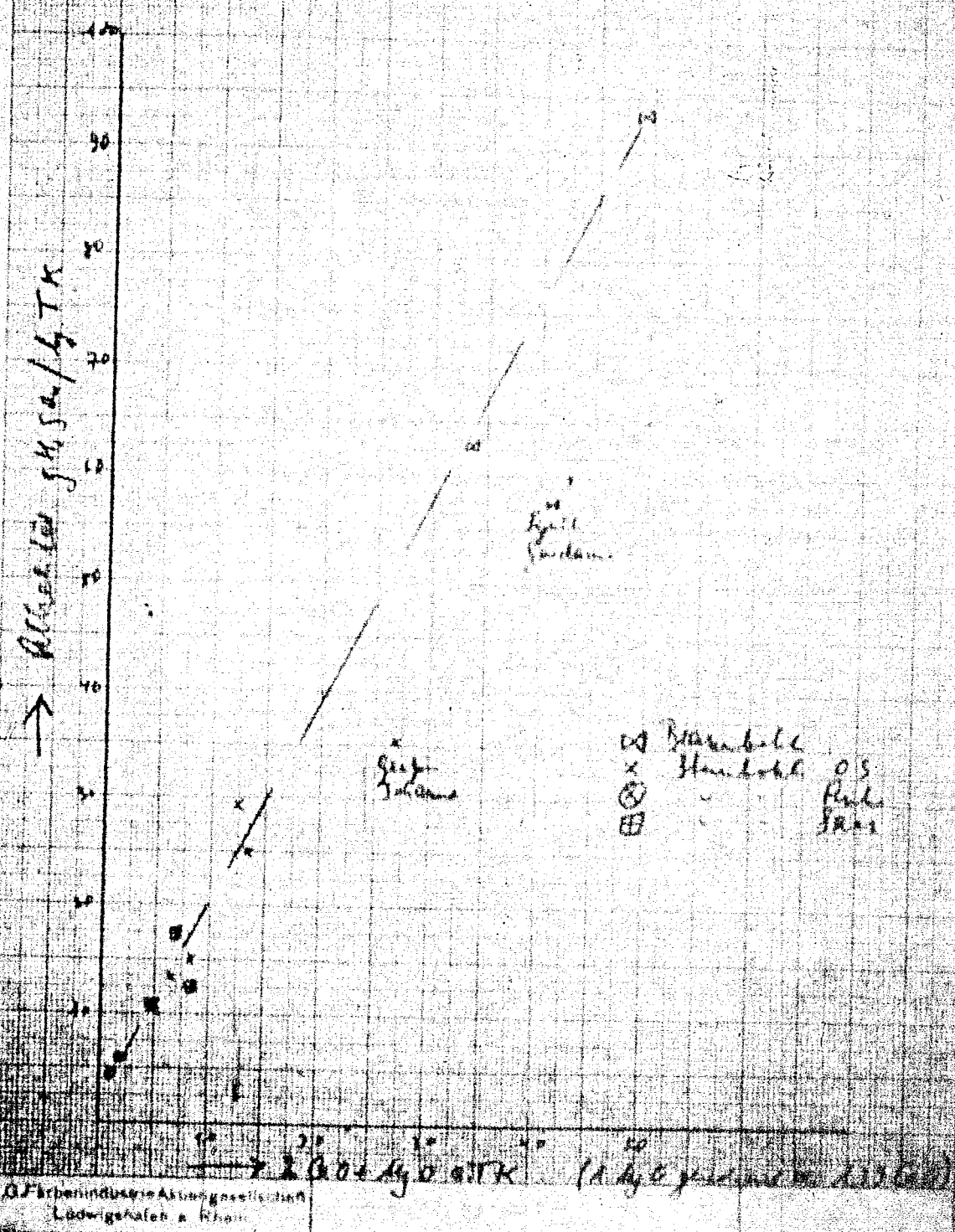


Table 13

Algebraic  $C = K^2 K$

Stability

X Periodic  
X Oscillatory

2 3 4 5 6 7 8 9 10 11 12 13 14 15 16 17 18 19 20 21 22 23 24 25 26 27 28 29 30 31 32 33 34 35 36 37 38 39 40 41 42 43 44 45 46 47 48 49 50 51 52 53 54 55 56 57 58 59 60 61 62 63 64 65 66 67 68 69 70 71 72 73 74 75 76 77 78 79 80 81 82 83 84 85 86 87 88 89 90 91 92 93 94 95 96 97 98 99 100

199101 1 2 3 4 5 6 7 8 9 10 11 12 13 14 15 16 17 18 19 20 21 22 23 24 25 26 27 28 29 30 31 32 33 34 35 36 37 38 39 40 41 42 43 44 45 46 47 48 49 50 51 52 53 54 55 56 57 58 59 60 61 62 63 64 65 66 67 68 69 70 71 72 73 74 75 76 77 78 79 80 81 82 83 84 85 86 87 88 89 90 91 92 93 94 95 96 97 98 99 100

1994

1995

1996

1997

1998

1999

2000

2001

2002

2003

2004

2005

2006

2007

2008

2009

2010

2011

2012

2013

2014

QD

Blld 14

B.M - K. - long Hwy and C - public at P.R.

X Standard  
S -  
B

795

→ 2 C side

10. Farmland and pasture in general  
Long grass and weeds

10. Farmland and pasture in general

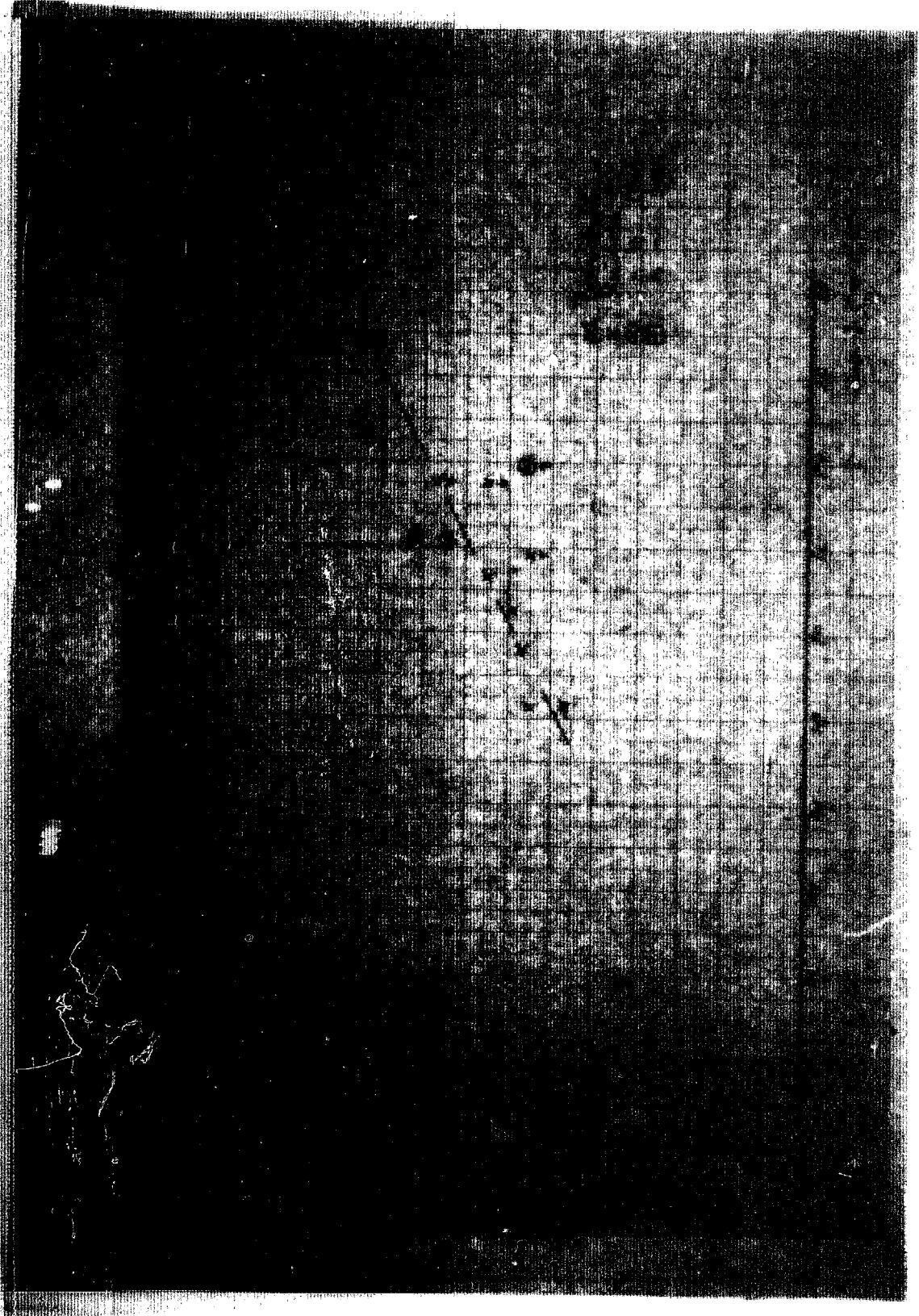
Bild 15

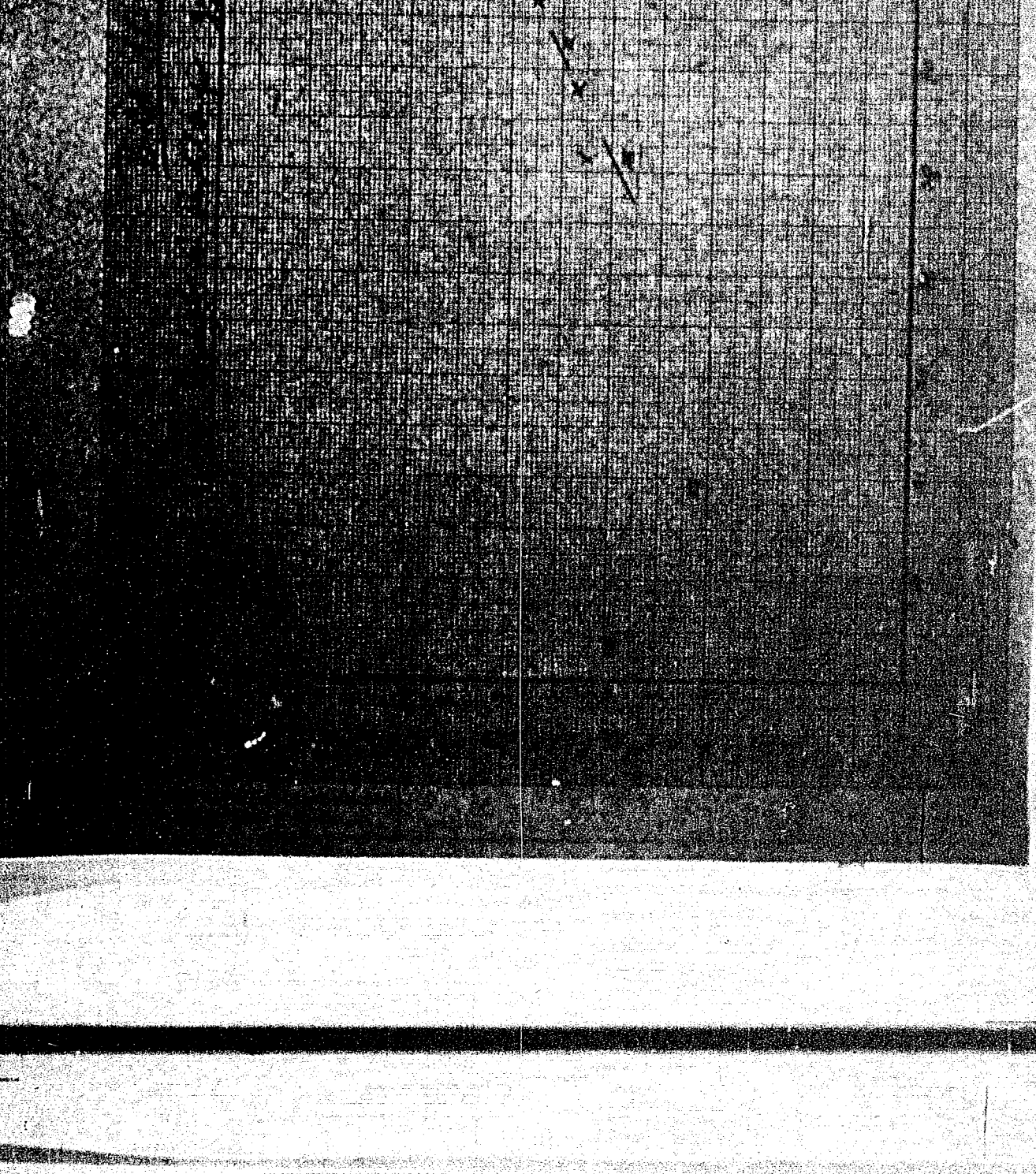
2 o. Objekte in Punktbestimmen 10 m R.R.

x Begrenzung  
x Pop. L. 05  
- Gek.  
- Gek.

786.2

→ 80 - 80





789

Black hole  
Punch hole 65  
Part 1  
Page 1

X X 8 II

1 2 3 4 5 6 7 8 9 10 11 12 13 14 15 16 17 18 19 20 21 22 23 24 25 26 27 28 29 30 31 32 33 34 35 36 37 38 39 40 41 42 43 44 45 46 47 48 49 50 51 52 53 54 55 56 57 58 59 60 61 62 63 64 65 66 67 68 69 70 71 72 73 74 75 76 77 78 79 80 81 82 83 84 85 86 87 88 89 90 91 92 93 94 95 96 97 98 99 100

1 2 3 4 5 6 7 8 9 10 11 12 13 14 15 16 17 18 19 20 21 22 23 24 25 26 27 28 29 30 31 32 33 34 35 36 37 38 39 40 41 42 43 44 45 46 47 48 49 50 51 52 53 54 55 56 57 58 59 60 61 62 63 64 65 66 67 68 69 70 71 72 73 74 75 76 77 78 79 80 81 82 83 84 85 86 87 88 89 90 91 92 93 94 95 96 97 98 99 100

1 2 3 4 5 6 7 8 9 10 11 12 13 14 15 16 17 18 19 20 21 22 23 24 25 26 27 28 29 30 31 32 33 34 35 36 37 38 39 40 41 42 43 44 45 46 47 48 49 50 51 52 53 54 55 56 57 58 59 60 61 62 63 64 65 66 67 68 69 70 71 72 73 74 75 76 77 78 79 80 81 82 83 84 85 86 87 88 89 90 91 92 93 94 95 96 97 98 99 100

1 2 3 4 5 6 7 8 9 10 11 12 13 14 15 16 17 18 19 20 21 22 23 24 25 26 27 28 29 30 31 32 33 34 35 36 37 38 39 40 41 42 43 44 45 46 47 48 49 50 51 52 53 54 55 56 57 58 59 60 61 62 63 64 65 66 67 68 69 70 71 72 73 74 75 76 77 78 79 80 81 82 83 84 85 86 87 88 89 90 91 92 93 94 95 96 97 98 99 100

18 Aug 1968  
Mississippi

Rock  
Mtn.  
Ridge  
Ridge

Extraktive Hydrierung von Steinkohle

Steinkohle

Hydrogen

Hydrogenation

→ ICKK

80

TITLE PAGE

30. Die extrahierende Hydrierung von Steinkohle.  
The extractive hydrogenation of  
bituminous coal.

Frame Nos. 801 - 867

Hochdruckversuche  
Lu 558

Praxis

(2)

B, von H. H. P. 1958

Umschlag mit demselben Rezipienten

Ofen 451 v. 24.3. - 27.3. 1958  
" 455 " 6.2. - 27.3. 1958  
" 451 " 14.3. - 29.4. 1958

9.1.

Die Versuche wurden gemeinsam mit Herrn Dr. H. J. Müller und Herrn Dr. v. Muffling mit dem Oberschmelzen durch die Herren Dr. Schaffrath, Dr. Gies, Dr. Rabe, Dr. Meier, Dr. Simon, Dr. Wiedenbeck, Dr. Ziegert, Dr. Hirschberger, durchgeführt. Herrn Dr. Lippmann unterzog sich der mikroskopischen Analyse der erhaltenen Analysedaten.

Zur Herstellung des Anfallproduktes wird ein  
Verfahren zur Verarbeitung von Stärke und Zellulose  
Anfallprodukt dienen. Die Zerkleinerung entspricht der Fällbarkeit  
barkelt und den voreinzelten Verarbeitungsschritten. Die  
Gewinnung entspricht dem Ergebnis, das durch Stärke  
mit reichen Kettelkettensystemen bei einer Durchschnittstemperatur  
Temperatur und hohem Drehmoment mit einem zylindrischen  
Anfallprodukt verarbeitet wird. Die Abnehmbarkeit eines als  
"extrahierende Hydrolyse" beschriebener Fällungen auf Kohlen  
verarbeiteter Barken wird gezeigt.

## Einführung

Das Ziel dieser Versuchs war die Entwicklung eines Aufschlusses, die es ermöglicht, ein Anfall durch Filtration aufzuteilen und so zu bituminösen Aschearten zu kommen, die zur Herstellung von Elektrodenkoks dienen können. Zu die es Ziele wurde von den bekannten und auch im 10 Ltr.-Ofen leicht durchführbaren Bedingungen der Unde-Extraktion abweichen und die Abhängigkeit der Filterbarkeit des Anfallprodukten von den angewandten Verarbeitungsbedingungen untersucht. Als Kohle wurde die oberflächenreiche der Hettstedter (K 1242), deren Eigenschaften genauer untersucht worden waren, (vgl. Tabelle)

ausgewählt. In Anschluß hieran wurden auch Kohlen vom Ruhr und der Ruhr auf ihre Eignung für diese Behandlung untersucht. Die Bedeutung dieses Problems liegt nicht nur in der Gewinnung der Elektrodenkogewinnung, sondern vor allem darin, daß die Möglichkeit, den Anfall durch Filtration aufzuteilen, die Anwendung von Verarbeitungswegen gestaltet, die vielleicht zu einer besseren Ausnutzung des Rohstoffes auf wirtschaftliche Weise führen. Schon um eventuellen Überraschungen von anderer Seite vorzubeugen, erschien wichtig, die Grundlagen für solche Möglichkeiten systematisch zu untersuchen.

## I. Versuche bei 300 °C

### 1. Die Unde-Extraktion.

Die eigentliche Unde-Extraktion ist eine anfallende Fahrweise, deren erfolgreiche Durchführung von der Art und der Kohle abhängt. So muß von Öl, das zur Anfällung benutzt wird, gut extrahierende Wirkstoffe haben, z. B. zu starke Aufhydrierung zu verhindern. Nicht kann Öl nicht mit Öl mit großer Verweilzeit gearbeitet werden. Außerdem muß eine Durchmischung der verschiedenen Reaktionszonen auf 100% verhindert werden. Aus diesen letztgenannten Gründen in der Schlangenofen die geeignete Ausrüstung für Anwendung der Extraktion zu führt dort zu guten Ergebnissen, wenn es nicht stets nötig sein wird, den Prozeß einen Autali fortsetzen zu müssen.

Kleinlich kostengünstiger sind die Röhrenreaktoren. Durchführung der vorgesehenen Unde-Extraktion - die tatsächlich schon eine geringe Hydrierung ist - im 10 Ltr.-Ofen. Der Ofen mit einem Bühner verschw. Ofen läßt für eine vollständige Durchmischung aller Reaktionszonen. Die vorausliegende Durchmischung erfordert im Autoreaktor den höheren Aufwand, da sich eine beträchtliche Rückbildung des Anfalls auswirkt.

vollständige Durchdringung der Zelle mit dem Zellkern verfügt. Endprodukt der Karyotid-orientierung ist ein Karyogramm, also einem System für die quantitative und qualitative Filterleistung des Zellkerns.

In der nachfolgenden Tabelle sind die wichtigsten technischen Verarbeitung von Stichproben und auf Basis dieser Bedingungen aufgeführt.

Zu den in diesen Tabellen aufgeführten Ergebnissen gehört ein Katalysator, das es sich als katalytische Zirkulationsfilter handelt und die Flüssigkeiten mit wendenden Dunnschichtfiltern abtrennt. Die in der Tabelle aufgeführten einzelnen Vergleichswerte sind aus den entsprechenden Beobachtungen der 100 durchgeföhrten Katalyseversuche erhalten. Der Katalysator besteht aus einer Mischung von 10 g zu

Verg.-Nr.	
Ofen	
Datum	
Bil.-Nr.	
Temp. °C	
Reink.Ds.	
Bing.gas m³/kg Rk.	
Anreitung	
Kohle Apschaffung	
Kontakt	
Druck	
Abbau BzL.	
Abbau Anf. Öl bew.	
Tothr.Kern:	
X Gegenwind & v.R' Kohle	
X Benzin	
X Mittellinie	
X Rückstand	
Leistung (B1, B2)	
Vergabung (% C %)	
G 1, RN	
Anreißer-Bilanz:	
X Anhalt a.R.	
X Altersteile 1/1	
Y. Anhalt	

Zunächst wird in der Versuchsanordnung die Temperatur auf 450°C erhöht. Die Kohleabschlußmenge beträgt 1,2% Fe30<sub>4</sub>. Bei einem Reink. Ds. von 0,4 und einem Antriebsdruck von 100 at wird eine Filterleistung von 1,0 m<sup>3</sup>/h erzielt. Der Antriebsdruck ist hierbei auf 100 at erhöht, um die Auswirkungen der Zersetzung des Anfallprodukts zu verhindern. Die Filterleistung ist auf 1,0 m<sup>3</sup>/h erhöht, um die Auswirkungen der Zersetzung des Anfallprodukts zu verhindern. Die Filterleistung ist auf 1,0 m<sup>3</sup>/h erhöht, um die Auswirkungen der Zersetzung des Anfallprodukts zu verhindern.

Im zweiten Versuch wird die Temperatur auf 472°C erhöht. Die Filterleistung ist auf 1,0 m<sup>3</sup>/h erhöht, um die Auswirkungen der Zersetzung des Anfallprodukts zu verhindern. Die Filterleistung ist auf 1,0 m<sup>3</sup>/h erhöht, um die Auswirkungen der Zersetzung des Anfallprodukts zu verhindern.

## 2. Der Einfluß der Temperatur

Im Hinblick auf das überraschende Ergebnis des ersten Versuches wurde nun der Temperaturablauf mit der Filterbarkeit des Anfalls neu untersucht. Die zugehörigen Ergebnisse sind in der Tabelle II zusammengestellt.

Vers.-Nr.	A III	A IV 1	A IV 2	A V	A VI
Ofen	451	-	-	-	-
Datum	1.11.54	24.11.54	-	-	-
Bill.-Nr.	3.00.3	-	-	-	-
Temp. °C	400	450	472	472	472
Reink. Ds.	0,4	0,4	0,4	0,4	0,4
Eing. gas m <sup>3</sup> /kg Rk.	0,3	0,3	0,3	0,3	0,3
Antriebung	1:1	1:1	1:1	1:1	1:1
Kohle-Abschluß	1,0%	1,0%	1,0%	1,0%	1,0%
Kontakt:	1,2% Fe30 <sub>4</sub>	-	-	-	-
Druck	100	200	300	300	300
Abbau BzL.	47	70	70	70	70
Abbau Antr.Ol bess.	74	74	74	74	74
Teitr.Krs.	-	-	-	-	-
Olgewinn % v. R'kohle	-	-	-	-	-
✗ Benzin	-	-	-	-	-
✗ Mittelöl	-	-	-	-	-
✗ Rückstand	-	-	-	-	-
Leistung (Bt. + Bit)	1	0,1	0,1	0,1	0,1
Vergasung (% C v. C i.Rk.)	-	-	-	-	-
Anreißbatt-Bilanz	0,00	0,00	0,00	0,00	0,00
✗ Asphalt a. Rk.	23	23	23	23	23
Filterleistung	1,0	1,0	1,0	1,0	1,0
v. Anfall	100	100	100	100	100

Die Ergebnisse dieser Versuche zeigen die beträchtliche Verbesserung der Filterbarkeit mit einer Steigerung der Temperatur. Hiermit parallel geht eine Verbesserung des Antriebs- und bei sonst gleichbleibenden Zahlen eine Erhöhung der Vergasung.

Diese Temperaturabhängigkeit der Filterbarkeit ist der deutliche Hinweis, daß die Möglichkeiten der Verarbeitung von Steinkohle auf filterbares Anfallprodukt in weitaus erheblicher Weise durch die Theorie der Extraktion festgestellten Befindung zu machen seien.

## II. Verarbeitung bei 600 at

### 1. Der Temperatureinfluß

Auch bei 600 at wirkt eine Erhöhung der Temperatur in Richtung einer verbesserten Filterbarkeit. Dies ist aus den Zahlen der in der Tabelle III zusammengefaßten Versuchen

Tabelle III

Vers.-Nr.	A XIII	A VII 2	A IX	P II
Ofen	451	-	-	-
Datum	6.1.55	18.7. u. 5.8.	3.1.55	-
Bill.-Nr.	3	31 und 34	30	-
Temp. °C	425	454	472	472
Reink. Ds.	0,5	0,5	0,6	0,6
Eing. gas m <sup>3</sup> /kg Rk.	0,4	0,7	0,7	0,7
Antriebung	1:1	1:1	1:1	1:1
Kohle-Abschluß	1,0%	1,0%	1,0%	1,0%
Kontakt:	1,2% Fe30 <sub>4</sub>	-	1,2% Fe30 <sub>4</sub>	7 mg Bayer-Masse
Druck	600	600	600	600
Abbau BzL.	67	60	60	60
Abbau Antr.Ol bess.	80	91	91	91
Teitr.Krs.	-	-	-	-
Olgewinn % v. R'kohle	75	72	72	72
✗ Benzin	1	1	1	1
✗ Mittelöl	-	-	-	-
✗ Rückstand	-	-	-	-
Leistung (Bt. + Bit)	0,1	0,1	0,1	0,1
Vergasung (% C v. C i.Rk.)	-	-	-	-
Anreißbatt-Bilanz	-	-	-	-
✗ Asphalt a. Rk.	23	23	23	23
Filterleistung	1,0	1,0	1,0	1,0
v. Anfall	100	100	100	100

Dieser Einfluß der Temperatur läßt bei 600 und 300 at. jedoch zu-  
trächtlich, wie dies durch die Kurventafel I veranschaulicht wird.  
Wegen der oben angeführten Ungenauigkeit der Filtrationskurve kann  
auf Grund von 3 Punkten nur eine ungefährte Richtung der Funktion  
angegeben werden, zumal sicher erachtet, daß die Temperaturkurve für  
die in erster Näherung linear angenommen werden kann. Wenn die  
3 Punkte, wie in den Fall bei 300 at., wirklich genau auf einer  
Geraden liegen, gilt das als Zufälligkeit anzunehmen.

## 2. Der Druckeinfluß.

Mit der Erhöhung des Druckes auf 600 at. ging die Filtrierbarkeit  
des Anfalls bei sonst gleichen oder ähnlichen Bedingungen, wie sie  
nachfolgende Tabelle IV zeigt, auf 50 bis 60 % der bei 300 at.  
zurück. Dagegen wurde, wie auch gezeigt bei der Hydrierung, durch den  
höheren Druck ein besserer Abbau und bei stärkerer Spaltung  
geringere Vergasung erzielt.

Tabelle IV

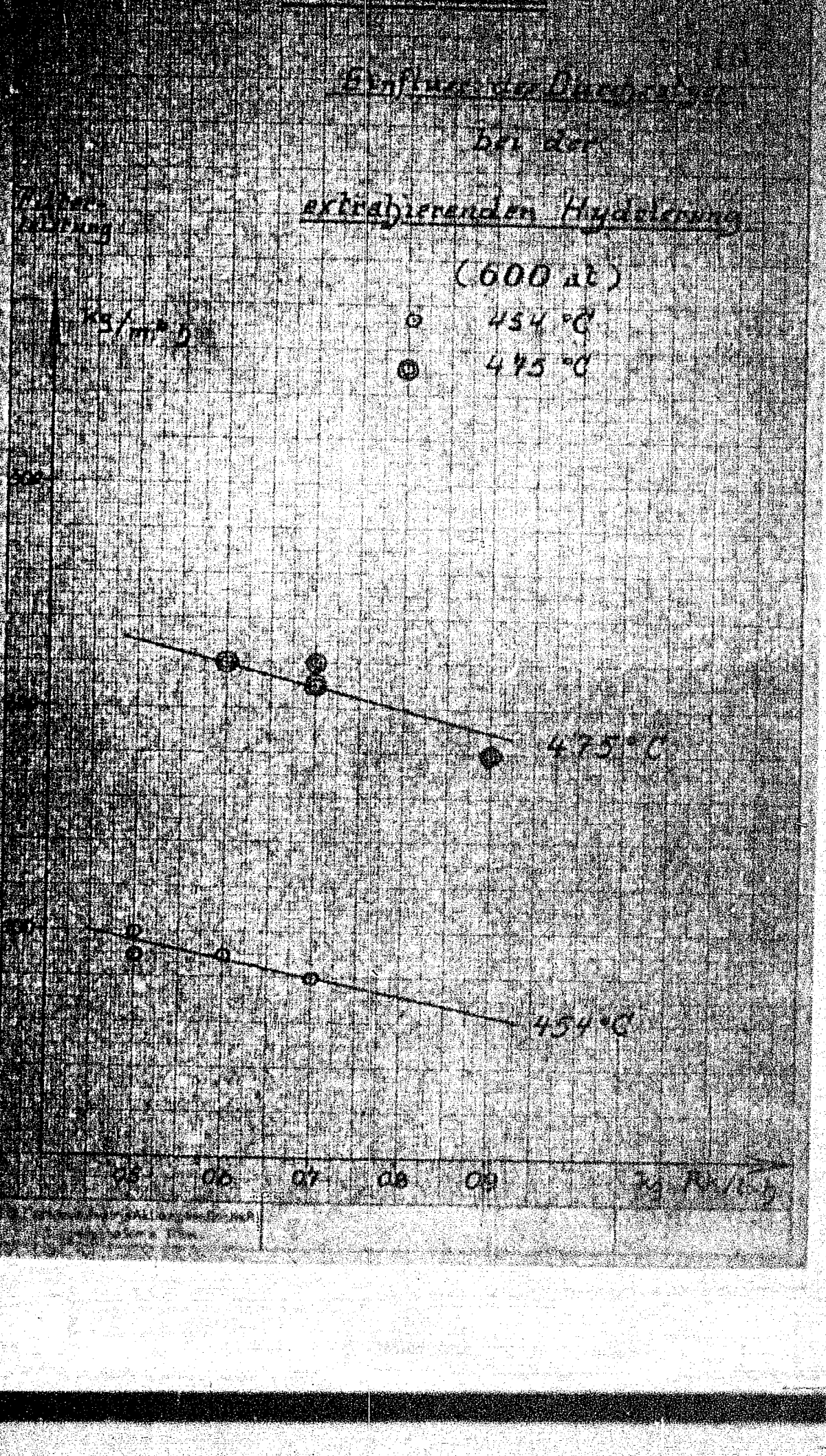
Vero.-Nr.	A V	A XI	A VII 2 UND A X	A XII
Ofen	151	*	*	*
Datum	2.7.	15.7.	10.7. 1934	15.7.
Bil.-Nr.	8	16	11 und 14	16
Temp. °C	454	454	454	454
Reink. Ds.	0,4	0,5	0,3	0,3
Kring. gas m <sup>3</sup> /kg Rx.	0,7	0,4	0,77	0,4
Anreibung	1:1	1:1	1:1	1:1
Kohle Abschlaege	1:0,3	1:0,3	1:0,3	1:0,3
Kontakt	1,2% Fe85	1,4%	*	*
Druck	300	30	600	600
Abbau Bil.	75	70	60	55
Abbau Aar. Öl bzw. Tetr. Kru.	80	87	91	91
Olgewinn % v.R. Kohle	69	75	71	78
X Benzin	0	2	3	6
X Mitt.-öl	0	0	2	3
X Rückstand	64	58	92	92
Leistung (Bil + Bil)	0,26	0,35	0,35	0,36
Vergasung (% O v. C i. Rx.)	10	6	6	8
Anreibesöl-Bilanz	-6	-2	-5	-5
X Asphalt a. Rx	19	22	20	21
Filtrierleistung v. Anfall	170	180	90	100

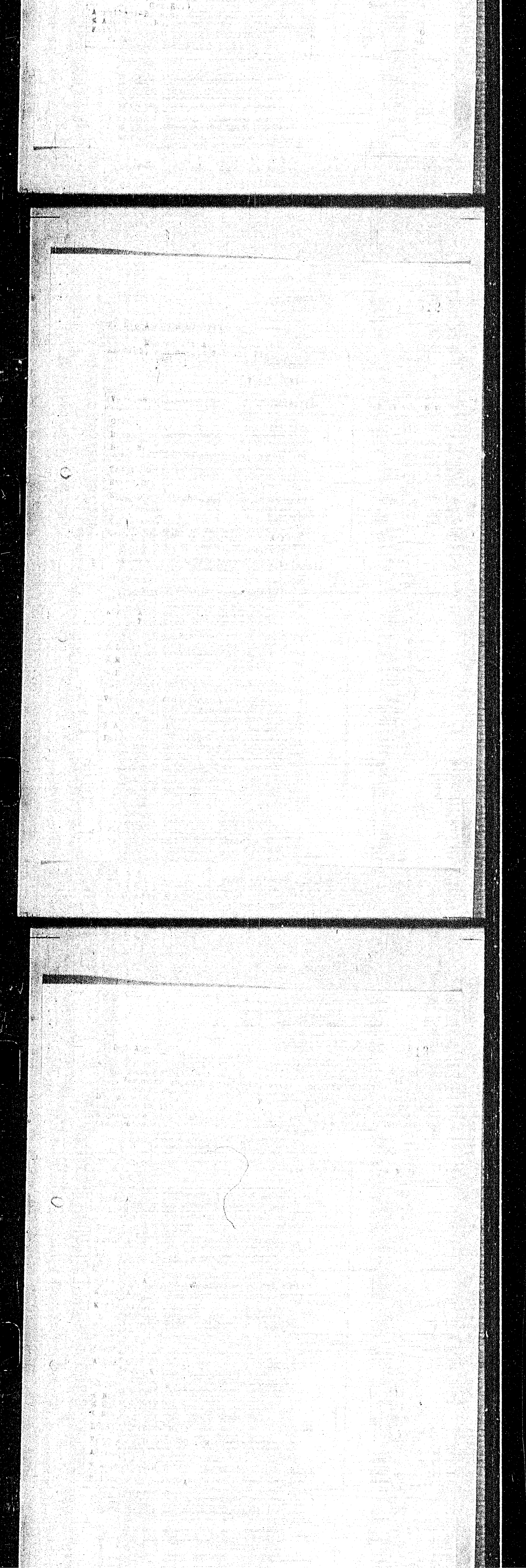
Wie ebenfalls die Kurventafel I zeigt, verhält sich mit einer Druck-  
erhöhung die Filtrierbarkeit ziemlich gleichmäßig im Ausmaß  
in Frage kommender Temperaturerhöhung.

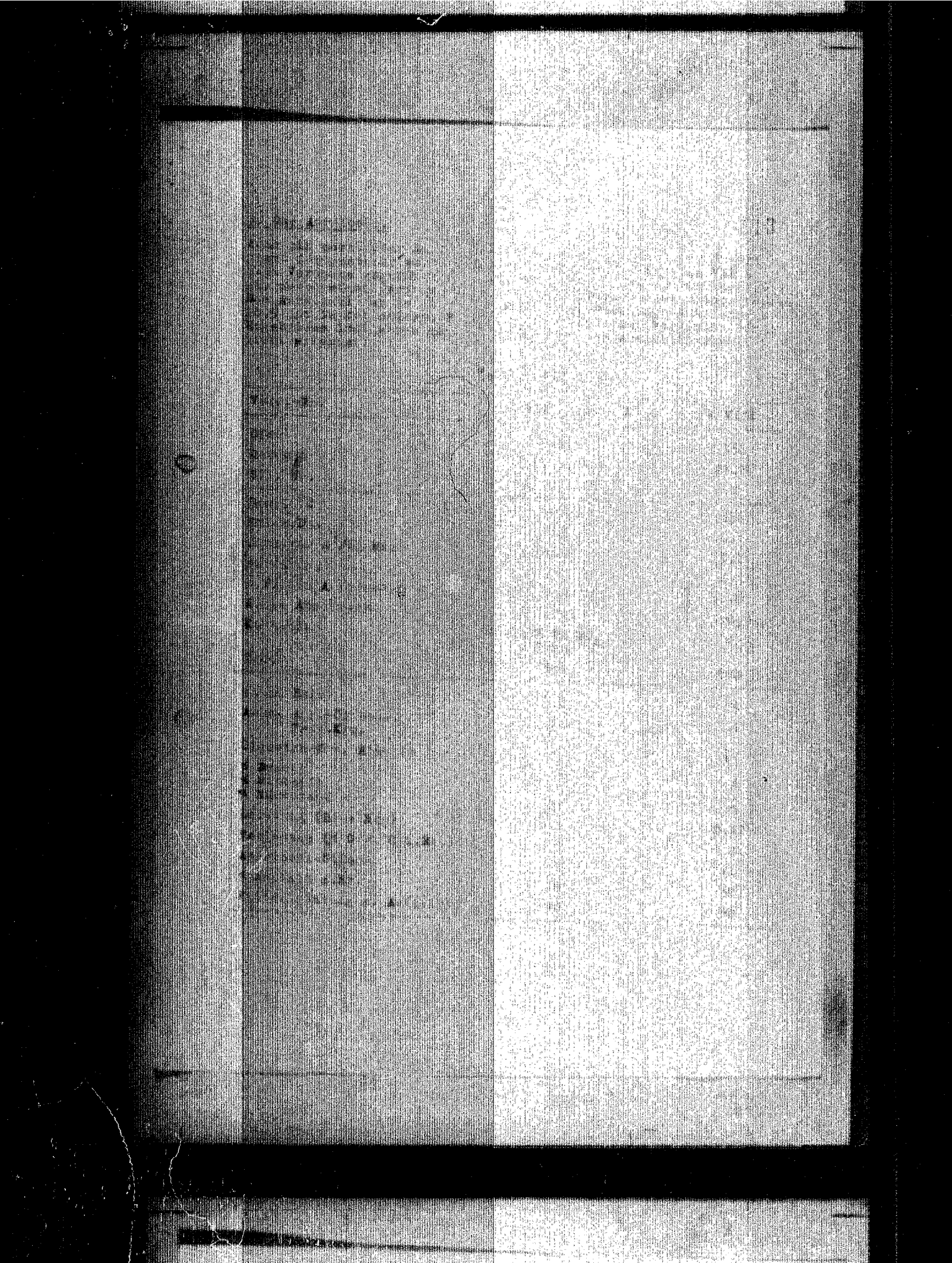
o 300 at 100  
@ 600 at 110

100 110 120 130 140 150 160 170 180

1000 ft above sea level







P K

G D  
B R  
R I  
L O  
K E

D

C  
S  
L V  
A R  
P A

Dieser bedeutende Einfluß auf die Richtung der Entwicklung eines neuen Aufzählerartikels eine Voraussetzung ist.

IV

10. **G**esetzliche Anordnungen  
des Amtes für das  
Technische Überwachungsamt  
Kontrollen und  
Inspektionen  
Druck - Abgaben  
der technischen Teile  
Durchsetzung von Maßnahmen  
Prüfung von  
Büroausstattungen  
Kontrolle des Betriebs  
Vorrichtungen  
Technische Überwachung  
auf Prüfstationen, Deponien  
und Lagerhäusern  
Anordnungen  
der Technischen  
Überwachungsanstalt  
Hinweise  
Anordnungen  
der Prüfstationen  
und Deponien  
Vorrichtungen  
zur Kontrolle  
der technischen  
Teile

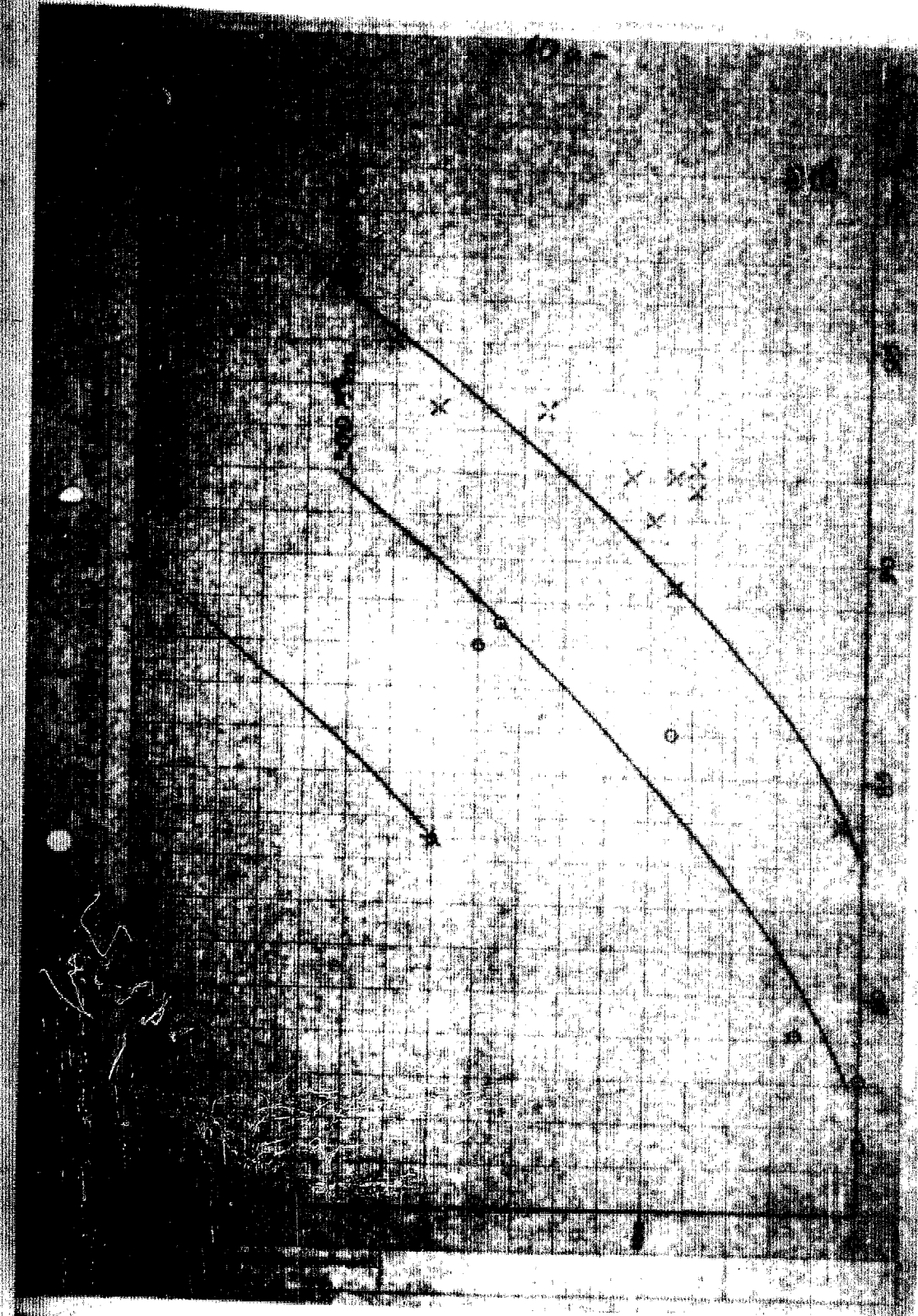


Tabelle II

Vers. Nr.	B VII 1 und B VII 2 ohne Mittelölbildung	B IV und B V mit Mittelölbildung
Ofen	411	411
Datum	18. und 21.10.	18. und 21.10.
Bil. Nr.	21 und 25	21 und 25
Temp. °C	474	474
Reink. Be.	0,9	0,7
E'ng. gas m <sup>3</sup> /kg Rx.	0,6	0,6
Anreibung	1:1	1:1
Kohle : Abschlaum	1:0,8	1:1
Kontakt:	ohne	1,1 % Fe + 30,4 1,7 % Mn 1,5 % Eisenoxyde 0,3 % Hg S
Druck	600	600
Abbau Brz.	75	75
Abbau Anr.Ol bzw. Tetr.Xra.	80	80
Glgewinn % v. R'kohle	60	60
✗ Bensin	1	1
✗ Mittelöl	1	1
✗ Rückstand	1	1
Leistung (Bi + Bit)	0,14	0,14
Vergasung (% v. O 1. Rx.)	14	14
Anreißöl-Bilanz	72	72
✗ Asphalt s.Kh.	34	34
Filterleistung v. Anfall	340	310

Mit diesen Versuchen ist auszusagen, auf welche Weise Reaktion eingeschlagen. Die hier angeführten Ergebnisse entsprechen leider noch nicht den optimalen Bedingungen. So ist beobachtbar, daß ein nicht hydrierend, sondern stark hydrierender Kontakt gewählt wird, der zu besseren Ergebnissen, z.B. zu höherer Filterleistung bei höherer Mittelölbildung, führt.

Von: R.

Beschriftung:

Negativ

\* C

Von: R.

Datum:

Komplett?

Typ: C

Rolle: D

Blatt: 1 von 1 Bl.

Aufnahmen:

Kamera: A

Aufbau: B.

Aufbau: A + B (Tele, Kfz)

Objektiv: 3,5 - 8 mm

\* B

\* M 1:1,4

\* R 1:1,4

Leistung: (B) + (C)

Verglasung: (\* C + C) R 1:1

Anreihung: B100

\* Asphalt: 0,8 mm

Filteleinheit: V. Antiv.

Bei der Anwendung  
die sich hydrolytisch  
hieraus entstehende  
das Konz., die sonst  
auf unlösbarer Art  
zu überprüfen. Aber es  
Vorarbeiten und Verarbeitung  
eine entsprechende

1) 2) 3) 4) 5) 6) 7) 8) 9) 10) 11) 12) 13) 14) 15) 16) 17) 18) 19) 20) 21) 22) 23) 24) 25) 26) 27) 28) 29) 30) 31) 32) 33) 34) 35) 36) 37) 38) 39) 40) 41) 42) 43) 44) 45) 46) 47) 48) 49) 50) 51) 52) 53) 54) 55) 56) 57) 58) 59) 60) 61) 62) 63) 64) 65) 66) 67) 68) 69) 70) 71) 72) 73) 74) 75) 76) 77) 78) 79) 80) 81) 82) 83) 84) 85) 86) 87) 88) 89) 90) 91) 92) 93) 94) 95) 96) 97) 98) 99) 100)

Versuchsanordnung

Versuchsaufbau

Versuchsdurchführung

Normaler 10 Liter Ofen mit  
Übergang aus Abgasrohr  
Übergang zum Kühlschrank.

Die nach eingehaupte Vorrichtungen  
von 1000 cm<sup>3</sup>.

Die Länge des Ofens ist 100 cm.  
Volumen 7,58 Liter. Der Ofen hat eine  
Zahl von 52 Umdrehungen pro Minute.

Ofen 431 von 21.1.1937 (16.4).

Betriebsschema: In Abschluss an einer Vorrichtung für  
zuschlagsfeste Kohle der Bezeichnung "Kohle" (Brikettierstahl) wird die Kohle  
durch Durchströmen eines Kühlschranks auf die Temperatur der Anfangstemperatur  
geführt werden, welche 210°C betragen soll und damit Frischluft zu erhalten.

Versuchsdurchführung

Der Ofen wird durch einen Schlauch an die  
der Schläuche und die Länge des Schlauchs  
geradem Durchmesser ausgestattet.

24.5. Ofen unter Druck 300 at. über  
Da 1000 g verarbeitet auf 8 kg Kohle  
technisch gewaschen, getrocknet und gesiebt  
Mittelöl 200-300°C in Verhältnis von 1:1  
(von vorherigen dem Versuchsgut  
je kg Kohle). Die Temperatur ist  
unverändert.

25.5. Unverändert.

26.5. Unverändert.

27.5. Gas zurück auf 0,5 m<sup>3</sup> je 1000 g  
Hiermit wollte man die Temperatur der  
hydrierung eine Veränderung  
Zeit erreichen möglich.

109 kg Kreiselsand und 1000 g  
(200-300°C) erzielt.

A I 26.5 1. Analyse (kleine Differenz)

157 kg Arbeitsteilung möglich.

1) Fe. 80<sub>4</sub> + 7 mg

A I, 1.

A I, 2.

A I, 3.

A I, 4.

A I, 5.

A I, 6.

A I, 7.

A I, 8.

A I, 9.

A I, 10.

A I, 11.

A I, 12.

A I, 13.

A I, 14.

A I, 15.

A I, 16.

A I, 17.

A I, 18.

A I, 19.

A I, 20.

A I, 21.

A I, 22.

A I, 23.

A I, 24.

A I, 25.

A I, 26.

A I, 27.

A II, 1.

A II, 2.

A II, 3.

A II, 4.

A II, 5.

A II, 6.

A II, 7.

A II, 8.

A II, 9.

A II, 10.

A II, 11.

A II, 12.

A II, 13.

A II, 14.

A II, 15.

A II, 16.

A II, 17.

A II, 18.

A II, 19.

A II, 20.

A II, 21.

A II, 22.

A II, 23.

A II, 24.

A II, 25.

A II, 26.

A II, 27.

A III, 1.

A III, 2.

A III, 3.

A III, 4.

A III, 5.

A III, 6.

A III, 7.

A III, 8.

A III, 9.

A III, 10.

A III, 11.

A III, 12.

A III, 13.

A III, 14.

A III, 15.

A III, 16.

A III, 17.

A III, 18.

A III, 19.

A III, 20.

A III, 21.

A III, 22.

A III, 23.

A III, 24.

A III, 25.

A III, 26.

A III, 27.

99

—  
—  
—

卷之三

卷之三十一

卷之三

10. The following table gives the number of cases of smallpox reported in each State during the year 1802.

19. *Leucosia* *leucostoma* *leucostoma* *leucostoma*

卷之三

10. *Leucosia* (L.) *leucostoma* (L.) *leucostoma* (L.) *leucostoma* (L.)

10. The following table gives the number of hours per week spent by students in various activities.

3. The following table gives the number of hours per week spent by students in various activities.

卷之三

卷之三

卷之三

10. The following table gives the number of cases of smallpox reported in each State during the year 1802.

10. *Leucostoma* *luteum* (L.) Pers. (Fig. 10)

1000-10000 m.s<sup>-1</sup>

卷之三

10. *Leucosia* sp. (Diptera: Syrphidae) was collected from the same area as the *Chrysanthemum* plants.

卷之三

卷之三

10. The following table gives the number of cases of smallpox reported in each State during the year 1802.

卷之三

10. The following table gives the number of cases of smallpox reported in each State during the year 1802.

10. The following table gives the results of the experiments made by the author on the effect of the different factors on the rate of absorption.

10. The following table gives the number of cases of smallpox reported in each State during the year 1802.

10. The following table shows the number of hours worked by 1000 workers in a certain industry.

10. The following table shows the number of hours worked by 1000 workers.

二〇九

卷之三

A VII, 2 11. ANALYSE (K) 100 g

19.7. Universitätsbibliothek, P

20.7. Dorotheenstrasse, 100 g

21.7. Dorotheenstrasse, 100 g

22.7. Dorotheenstrasse, 100 g

23.7. Universitätsbibliothek, P

24.7. Universitätsbibliothek, P

25.7. Universitätsbibliothek, P

26.7. Universitätsbibliothek, P

A VIII 27.7. 12. ANALYSE (K) 100 g

28.7. Dorotheenstrasse, 100 g

29.7. Universitätsbibliothek, 100 g

30.7. Universitätsbibliothek, P

31.7. Universitätsbibliothek, P

32.7. Universitätsbibliothek, P

33.7. Universitätsbibliothek, P

34.7. Universitätsbibliothek, P

35.7. Universitätsbibliothek, P

36.7. Universitätsbibliothek, P

A IX 37.7. 13. ANALYSE (K) 100 g

38.7. Universitätsbibliothek, P

39.7. Universitätsbibliothek, P

40.7. Universitätsbibliothek, P

41.7. Universitätsbibliothek, P

42.7. Universitätsbibliothek, P

43.7. Universitätsbibliothek, P

44.7. Universitätsbibliothek, P

45.7. Universitätsbibliothek, P

46.7. Universitätsbibliothek, P

47.7. Universitätsbibliothek, P

48.7. Universitätsbibliothek, P

49.7. Universitätsbibliothek, P

50.7. Universitätsbibliothek, P

51.7. Universitätsbibliothek, P

52.7. Universitätsbibliothek, P

53.7. Universitätsbibliothek, P

54.7. Universitätsbibliothek, P

55.7. Universitätsbibliothek, P

56.7. Universitätsbibliothek, P

57.7. Universitätsbibliothek, P

58.7. Universitätsbibliothek, P

59.7. Universitätsbibliothek, P

60.7. Universitätsbibliothek, P

61.7. Universitätsbibliothek, P

62.7. Universitätsbibliothek, P

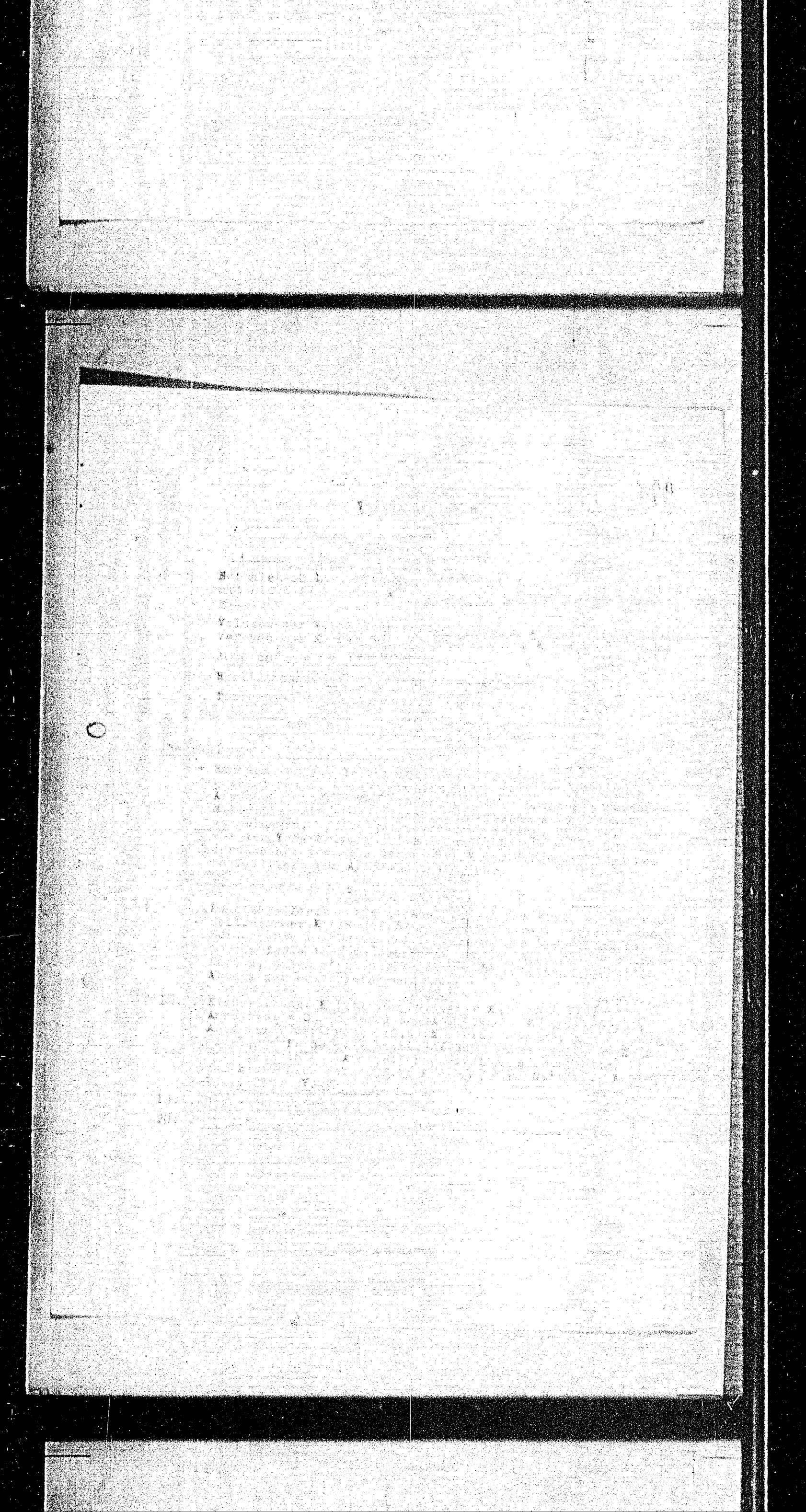
63.7. Universitätsbibliothek, P

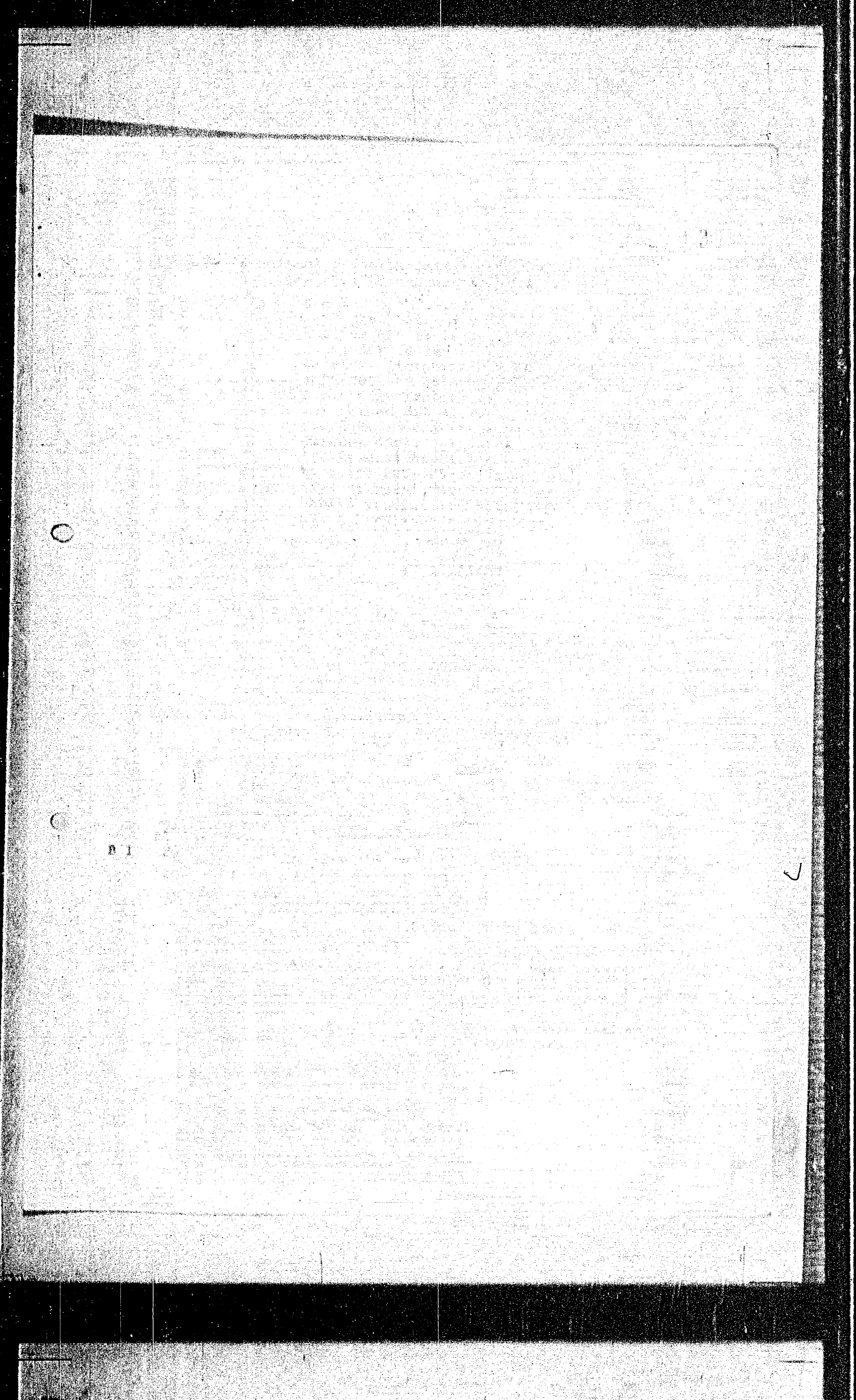
64.7. Universitätsbibliothek, P

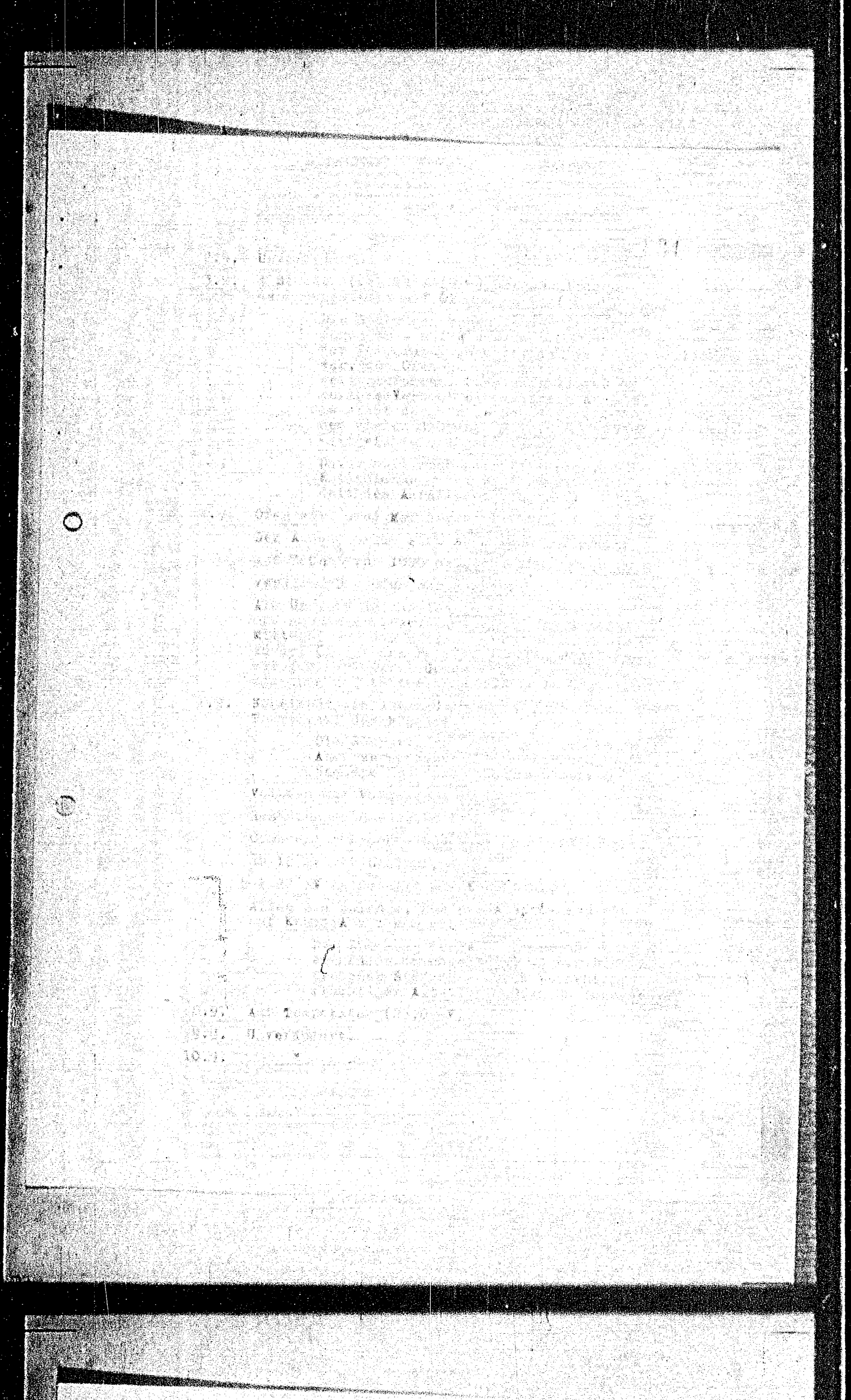
A X

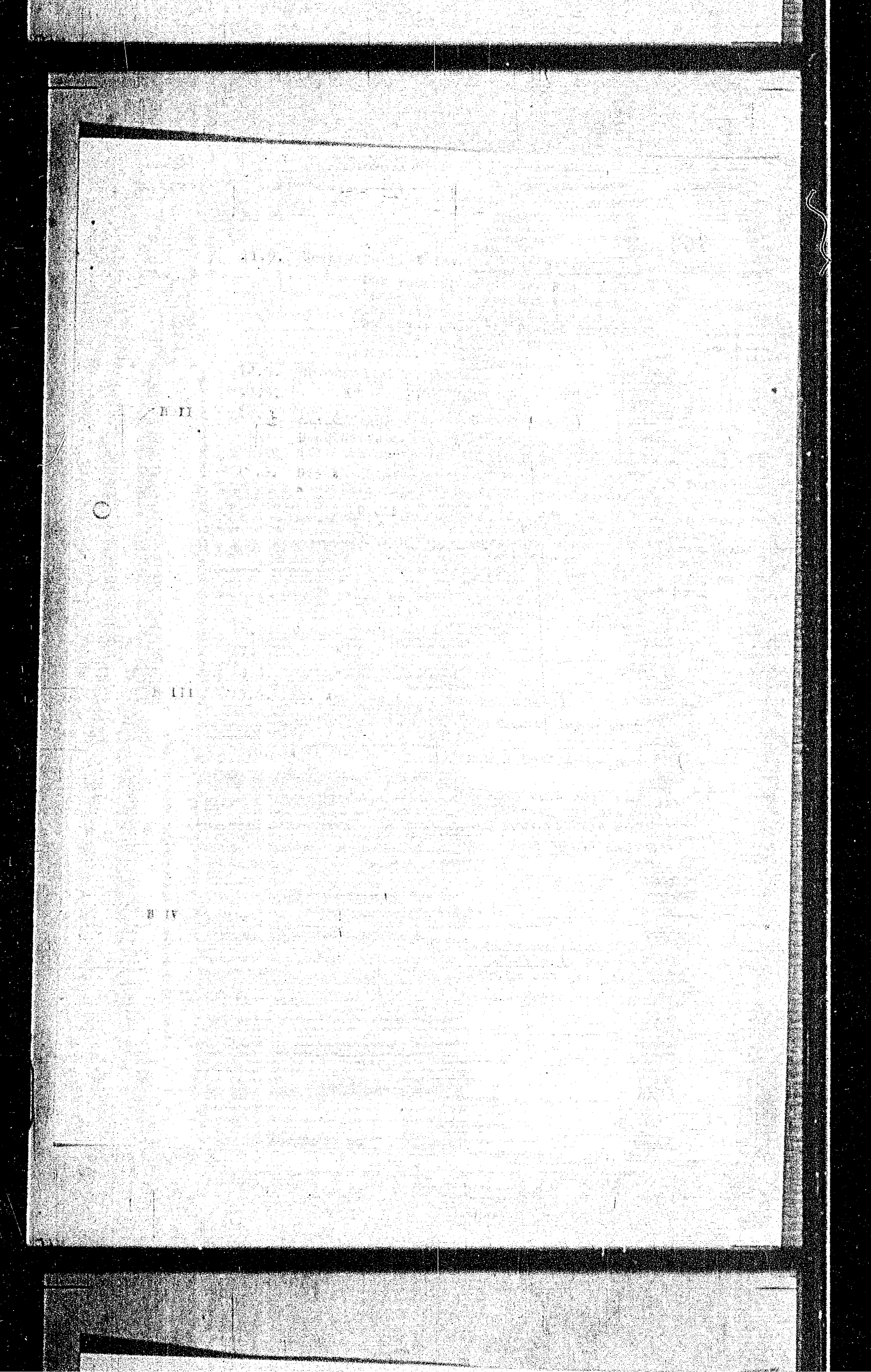
I I

A XIII









25.9. Unverändert.

26.9. "

27.9. "

B V 28.9. 22. Analyse (Kohle mit Wasserstoff gesättigt)

Durchdringung erzielt auf der 4. Ag. Kugelgröße; entsprechend.

Mittleren der Vergleich mit Kugelgröße ist zu erkennen, dass die Zillenmarken nicht durch Anfangskugelgrößen verdeckt werden (d.h. verschwunden sind, wenn ausreichend Analyseöl vorhanden ist). Eine Verzerrung kann jedoch vorkommen.

30.9. Unverändert.

1.10. "

2.10. "

3.10. "

B VI 4.10. 21. Analyse

Die Anreitung der Kohle auf die 4. Ag. Kugelgröße mit Filteröl verringert und die Anreitung verändert.

Der Versuch zeigt keinen Durchgang, da die Filtertiegelschicht abweichen, während sie nicht gleichmäßig nach oben reagiert. Es ist eine Verteilung der Kugelgröße zu erkennen, die eine Annäherung darstellt. Am Ende der 4. Ag. Kugelgröße (65 - 70A Bitumen) ist die Anreitung wiederum erhöht. Die Anreitung ist auf der 4. Ag. Kugelgröße wiederum erhöht, während sie auf der 3. Ag. Kugelgröße abnimmt.

Kohle 1: Anreitteil (= Anreitzeit) auf 110,5 Abschlägen auf 110,5.

5.10. Unverändert.

6.10. "

7.10. "

8.10. "

9.10. Dagestellt auf die 4. Ag. Kugelgröße, um die 4. Ag. Kugelgröße wie 111,5 zu kennzeichnen. (Anreitzeit)

Die Anreitung der 4. Ag. Kugelgröße auf die 4. Ag. Kugelgröße ist zu erkennen. Von der 4. Ag. Kugelgröße ist zu erkennen, dass die 4. Ag. Kugelgröße nicht mit welcher Feinheit auch immer, sondern mit großer Feinheit auf die 4. Ag. Kugelgröße endet. An der 4. Ag. Kugelgröße ist eine Verteilung zu erkennen. Auf die 4. Ag. Kugelgröße ist eine Verteilung zu erkennen. Auf die 4. Ag. Kugelgröße ist eine Verteilung zu erkennen.

834

10.10. 11.

11.10.

12.10.

13.10. Magazin für Chemie, Kommissionen, Ausgaben, Büros

14.10. Universität, Physikalische Abteilung,

15.10.

16.10. " , Polizei- und Justizministerium

17.10. "

B VII,1 18.10. 24. Analyse (Kaliwürze Untersuchung)

19.10. Universität, Physikalische Abteilung

20.10. "

B VII,2 21.10. 25. Analyse (Kaliwürze Untersuchung)

Durch den Temperaturabfall, die Kaliwürze verlor  
Kaliwürze.

vor Verzug am frühen Morgen um 6 Uhr.

22.10. 4. Kaliwürzeuntersuchung, Durch den Temperaturabfall

die Kaliwürze verlor, die Kaliwürze verlor Kaliwürze.

Kaliwürze (ca. 10 kg), 10 kg, 10 kg, 10 kg

die Kaliwürze verlor, die Kaliwürze verlor Kaliwürze.

Variantenliste C

Verdunstungstest

Normales 10 Ltr.-Ofen-System, ein 10 Ltr.-Vorratstrichter mit nicht isolierter Abschaltung, Schlauch und Ofen wurden neu aufgebaut.

Volumen der Vorratsleitung 1 ltr.

Reaktionsvolumen 0,1 ltr.

Ofen abgeschaltet.

Begründung: Es sollte die Verdunstung auf filtrierbarem Antrag geprüft werden.

Hydrierung geprüft werden.

Y = 100% (Vorratstrichter)

15.2. Der Ofen wurde auf Knopfdruck abgeschaltet.

Bedienung des Knopfes erfolgt durch einen Kurzschlusskreis aus einem Kondensator.

16.2. Ofen unter Strom gesetzt, die Temperatur über Drehregler auf 160°C gestellt, Gas aus K. abgestellt.

16.2. Bei 22,0 kg Kohle wird die Temperatur vor RD.

Kontrolle: 160°C

17.2. Temperatur 160°C

17.2. Temperatur 160°C

18.2. Temperatur 160°C

19.2. Temperatur 160°C

1) Standard-K.

2) Baar-Kohle

3) Solvay-U)

20.2. Unverändert, siehe Anmerkung Ergebnis (P 13.2).

21.2. " " " " "

22.2. " " " " "

23.2. Gasanfang mit 0,1 kg je 10 kg Kohle.

Zu schnell ausgeschwemmt werden, so dass die Filtrationszeit sich mit der Verdunstung der Gasmenge verbindet.

24.2. Unverändert, 47 kg Ammoniak eingesetzt (P 13.2).

25.2. " " " " "

0.1 26.2. 22. Analyse (zurück Filterabfuhr)

27.2. Sichtung der Filterabfuhr, kein Abfall, kein Anzeichen.

10 Stunden bearbeitet und filtert.

28.2. Einrichtung abgetrennt.

1.3. Unverändert, 30 kg Ammoniak eingesetzt (P 13.2).

2.3. " 47 kg "

3.3. " 27 kg "

0.2 4.3. 22. Analyse (zurück Filterabfuhr)

5.3. Unverändert.

6.3. "

7.3. "

8.3. "

9.3. Unverändert, 22. Analyse (zurück Filterabfuhr)

aus Brüder-Töpf.

Reaktionen bei 160°C mit 0,1 kg je 10 kg Kohle. Die Filterabfuhr ist eine Stütze, die der Kurzschlusskreis unterbrochen werden kann. Beim Zünden der Filterabfuhr wird eine Blasenbildung erzeugt, die zu einer anderen Reaktion führt.

10.3. Unverändert, 22. Analyse (zurück Filterabfuhr)

wegen Verdunstung des Vorratstrichters, kein Abfall, kein Anzeichen.

11.3. Ofen 4 Std abgeschaltet, Ausgangstemperatur

Mengen abt. 22. Vorratstrichter 0,1 kg je 10 kg Kohle.

Der Ofen arbeitet nicht mehr.

Versuchsreihe D

839

Versuchsanordnung

Normales 10 Ltr.-Ofen-System wie bei den vorherigen Versuchsserien mit nicht isolierten Austrittsrohren 1/2".  
Volumen der (neu eingebauten) Vorwärmer 1160 cm.  
Reaktionsvolumen vor dem Isolierrohr 110 cm.  
(Vorwärmrohr aus Brüder Teer) 0,5 Ltr.

Ofen 451 von 14.3. - 17.3. 1951

Begründung: Nachdem der Versuch im Ofen 451 (III T) verdeckt gezeigt hatte, daß die Saurkohle nach der Hydrierung deutlich schlechter verarbeitet wurde als die anderen Kohlen, so soll jetzt unbedingt noch mit Vorsicht mit Rücksicht auf die Kohle und dann die drei Kohlen zusammenarbeiten um die Unterschiede genau festzustellen.

Versuchsverlauf

- 14.3. Ofen unter Druck 100 at, 3000 kg Kohle  
Ab 11 mV mit Siedehitze P 1010 (1).
- 15.3. Bei 22 mV umgestellt auf Koksfeuer. Koksfeuer  
getränkt mit 1,26 P 80, 1 kg, Durchmesser  
+ Rücklaufmittelöl vom Ofen 451 (III T) + 1,0 kg Benzinkohle  
koll. in Filtert zum Absetzen des Wassers  
zum Brei.
- Abschließende Füllung 1:0,5
- Durchsatz 5,0 kg Kohle/m
- 0,5 m<sup>3</sup> je kg Kohle
- Höchsttemperatur für die Durcharbeitung 250°, 250 mV  
25,0 mV, Abschleifer 30 mV
- Die Aufarbeitung erfolgt durch einen Filtert zum Absetzen des Wassers  
Hydrierung weiterer Kohle ohne Flüssigkeitsförderung
- Bewalzen des Filtertumfanges
- Filtrat in Bezug zu 200°, Wasser in P 80 auf 200-270° und Rücklauf.
- 16.3. Unverändert.
- 17.3. " 100 at, Ausfall des P 1010, Koksfeuer

- 1) Steinkohlenkreol, Ruhrtal 200 kg  
2) Ruhrkohle Auguste-Victoria  
3) Saurkohle.

- 18.3. Unverändert. 1. 200 kg Anwendung (Kunststoff) 838  
 (nur K 401, 402, 403, K 101)
- 19.3. " 20 kg A (K 401, 402, 403, K 101)
- 20.3. Vorwärmen
- 21.3. " 100 kg A (K 401, 402, 403, K 101)
- 22.3. " 30 kg A (K 401, 402, 403, K 101)
- 23.3. " 20 kg A (K 401, 402, 403, K 101)
- D I, 1** 24.3. 200 kg Anwendung (Kunststoff)
- 20 kg Anwendung (Kunststoff)
- D I, 2** 25.3. Unverändert. Die Rautenform ist nicht mehr so gut wie zuvor. Die Verteilung ist schlechter.
- 26.3. Prinzipiell unverändert (Kunststoff)
- Die Filterleistung ist nicht mehr so gut wie zuvor. Die Rautenform ist nicht mehr so gut wie zuvor. Die Verteilung ist schlechter.
- 27.3. 75 kg Anwendung (Kunststoff)
- D I, 2** 28.3. 21. Anlyse (erste Untersuchung)
- Zusätzliche Erkundung der Tonanzahl und Konzentration. Auswertung aus der Zählungsergebnisse auf 01.
- Die Art der Anwendung ist nicht mehr so gut wie zuvor. Die Hydrierung ist nicht mehr so gut wie zuvor. Die Rautenform ist nicht mehr so gut wie zuvor. Die Verteilung ist schlechter.
- Diese Schwierigkeiten sind wahrscheinlich auf die Veränderungen im Reaktor zurückzuführen. Es handelt sich um eine Veränderung der Reaktionsbedingungen. Die Rautenform ist nicht mehr so gut wie zuvor. Die Verteilung ist schlechter.
- Nach der Abänderung unverändert und K 401, 402, 403, K 101 von 28.4.41.
- Alle Bedingungen wie zuvor.
- Das überraschende Ergebnis ist, dass die Leistung der Filtereinheiten bei Rautenform nicht so gut wie zuvor ist. Gegenversuch mit herkömmlicher Rautenform erfordert.
- 30.3. Unverändert.
- 31.3. " 55 kg Anwendung (Kunststoff)
- (K 401, 402, 403, K 101)